



Concessionaria per la progettazione, realizzazione e gestione del collegamento stabile tra la Sicilia e il Continente Organismo di Diritto Pubblico
(Legge n° 1158 del 17 dicembre 1971, modificata dal D.Lgs. n°114 del 24 aprile 2003)



PONTE SULLO STRETTO DI MESSINA



PROGETTO DEFINITIVO

EUROLINK S.C.p.A.

IMPREGILO S.p.A. (MANDATARIA)

SOCIETÀ ITALIANA PER CONDOTTE D'ACQUA S.p.A. (MANDANTE)

COOPERATIVA MURATORI E CEMENTISTI - C.M.C. DI RAVENNA SOC. COOP. A.R.L. (MANDANTE)

SACYR S.A.U. (MANDANTE)

ISHIKAWAJIMA - HARIMA HEAVY INDUSTRIES CO. LTD (MANDANTE)

A.C.I. S.C.P.A. - CONSORZIO STABILE (MANDANTE)

IL PROGETTISTA



Dott. Ing. I. Barilli
Ordine Ingegneri
V.C.O.
n° 122

Dott. Ing. E. Pagani
Ordine Ingegneri Milano
n° 15408



IL CONTRAENTE GENERALE

Project Manager
(Ing. P.P. Marcheselli)

STRETTO DI MESSINA

Direttore Generale e
RUP Validazione
(Ing. G. Fiammenghi)

STRETTO DI MESSINA

Amministratore Delegato
(Dott. P. Ciucci)

Unità Funzionale

COLLEGAMENTI SICILIA

SS1167_F0

Tipo di sistema

INFRASTRUTTURE STRADALI - IMPIANTI TECNOLOGICI

Raggruppamento di opere/attività

ELEMENTI DI CARATTERE GENERALE

Opera - tratto d'opera - parte d'opera

GALLERIA NATURALE – FARO SUPERIORE

Titolo del documento

RELAZIONE DI CALCOLO DIMENSIONAMENTO E VERIFICA CAVI,
INTERRUTTORI E QUADRI LATO MESSINA

CODICE	C	G	0	7	0	0	P	4	R	D	S	S	I	0	0	G	N	F	3	0	0	0	0	2	F0
--------	---	---	---	---	---	---	---	---	---	---	---	---	---	---	---	---	---	---	---	---	---	---	---	---	----

REV	DATA	DESCRIZIONE	REDATTO	VERIFICATO	APPROVATO
F0	20/06/2011	EMISSIONE FINALE	D. RE	G. LUPI	I. BARILLI

INDICE

INDICE	3
1 Introduzione	5
2 Denominazioni ed abbreviazioni utilizzate	6
3 Leggi e norme di riferimento	7
4 Dati e requisiti di base del progetto	8
5 Dimensionamento apparecchiature di cabina	11
6 Dimensionamento linee BT	12
6.1 Calcolo delle correnti d'impiego	12
6.2 Dimensionamento e verifica a sovraccarico dei cavi	13
6.2.1 Generalità	13
6.2.2 Modalità di posa	15
6.2.3 Determinazione della portata	21
6.2.3.1 Cavi isolati in PVC ed EPR (CEI-UNEL 35024/1)	21
6.2.3.2 Cavi interrati (CEI-UNEL 35026)	27
6.2.4 Dimensionamento dei conduttori di neutro	30
6.2.5 Dimensionamento dei conduttori di protezione	31
6.2.6 Calcolo della temperatura dei cavi	32
6.3 Cadute di tensione	33
6.4 Rifasamento	33
6.5 Calcolo dei guasti	34
6.5.1 Modellizzazione delle apparecchiature in rete	35
6.5.1.1 Trasformatori	35
6.5.1.2 Generatori	37
6.5.1.3 Motori asincroni	38
6.5.2 Calcolo delle correnti massime di cortocircuito	40
6.5.3 Calcolo delle correnti minime di cortocircuito	43
6.6 Verifica della protezione a cortocircuito delle condutture	44
6.6.1 Generalità	45
6.6.2 Integrale di Joule	46
6.6.3 Massima lunghezza protetta	47
6.7 Verifica contatti indiretti	48

		Ponte sullo Stretto di Messina PROGETTO DEFINITIVO	
RELACIONE DI CALCOLO DIMENSIONAMENTO E VERIFICA CAVI, INTERRUTTORI E QUADRI LATO MESSINA	<i>Codice documento</i> SS1167_F0.doc	<i>Rev</i> F0	<i>Data</i> 20/06/2011

6.7.1	Sistema di distribuzione TN	48
6.8	Calcoli dimensionali linee BT	49
7	Dimensionamento rete MT	50
7.1	Protezione da sovraccarico.....	50
7.2	Verifica della caduta di tensione	51
7.3	Tenuta termica al corto circuito massimo.....	51
7.4	Analisi e verifiche della rete MT	51
8	Dimensionamento impianti di ventilazione e climatizzazione locali tecnici.....	53
8.1	Ventilazione e caratteristiche del locale batterie.....	53
9	Allegati.....	55

		Ponte sullo Stretto di Messina PROGETTO DEFINITIVO		
RELAZIONE DI CALCOLO DIMENSIONAMENTO E VERIFICA CAVI, INTERRUTTORI E QUADRI LATO MESSINA		Codice documento SS1167_F0.doc	Rev F0	Data 20/06/2011

1 Introduzione

Nella presente relazione vengono illustrati le modalità ed i risultati dei calcoli di dimensionamento degli impianti elettrici di potenza MT e BT afferenti alla cabina Faro Superiore lato Messina.

I criteri alla base della progettazione degli impianti in oggetto si possono così elencare:

- Sicurezza degli operatori, degli utenti e degli impianti
- Semplicità ed economia di manutenzione
- Scelta di apparecchiature improntata a criteri di elevata qualità, semplicità e robustezza, per sostenere le condizioni di lavoro più gravose
- Risparmio energetico
- Affidabilità degli impianti e massima continuità di servizio

Il presente documento, relativamente ai calcoli dimensionali degli impianti di Media Tensione (MT) e di Bassa Tensione (BT), intende evidenziare:

- la normativa tecnica utilizzata per il dimensionamento;
- i criteri di dimensionamento, tenendo conto dei vincoli impiantistici e della normativa vigente;
- i dati di input
- i risultati dei calcoli dimensionali e delle verifiche di calcolo necessarie per la definizione degli impianti MT e BT.

In particolare, sono descritti in generale i principali metodi di calcolo e di verifica, riportando le prescrizioni indicate dalla normativa in uso. Talvolta nei casi specifici, qualora sia necessario, potranno essere introdotte opportune ipotesi semplificative.

I risultati delle verifiche di impianto, ottenute con software commerciale o tramite fogli di calcolo, sono riportati negli allegati, a cui dovrà essere fatto riferimento anche per le sigle e la simbologia adottata.

Per ulteriori dettagli sulle caratteristiche delle apparecchiature scelte, si rimanda agli elaborati grafici relativi ed in particolare agli schemi unifilari dei quadri elettrici.

		Ponte sullo Stretto di Messina PROGETTO DEFINITIVO		
RELAZIONE DI CALCOLO DIMENSIONAMENTO E VERIFICA CAVI, INTERRUTTORI E QUADRI LATO MESSINA		<i>Codice documento</i> SS1167_F0.doc	<i>Rev</i> F0	<i>Data</i> 20/06/2011

2 Denominazioni ed abbreviazioni utilizzate

Vengono introdotte le seguenti abbreviazioni (in ordine alfabetico):

- ac - Corrente alternata
- AD - Azienda distributrice di energia elettrica nel caso specifico sinonimo di ENEL
- AI - AntIncendio
- BT o bt - Bassa Tensione in c.a. (400/230V)
- CA - Continuità assoluta
- cc - Corrente Continua
- CEI - Comitato Elettrotecnico Italiano
- CSA - Capitolato Speciale di Appalto
- DL - Direzione dei Lavori, generale o specifica
- FM - Forza Motrice
- GE - Gruppo Elettrogeno
- IMQ - Istituto Italiano per il Marchio di Qualità
- IMS - Interruttore di Manovra e Sezionatore
- I/O - Input/Output
- IS - Illuminazione di Sicurezza
- ME - Messina
- MT - Media Tensione in c.a.: nel caso specifico sta per 20kV
- PC - Personal Computer
- PLC - Programmable Logic Controller
- RC - Reggio Calabria
- SA - Servizi Ausiliari ordinari
- SE - Servizi ausiliari Essenziali ai fini della sicurezza
- UNEL - Unificazione Elettrotecnica Italiana
- UNI - Ente Nazionale Italiano di Unificazione
- VE - Impianti di ventilazione
- VVF - Vigili del Fuoco
- UPS - Gruppo di Continuità Assoluta

Eventuali altri acronimi potranno essere introdotti solo dopo che siano stati definiti, tra parentesi, accanto alla definizione estesa del proprio significato.

		Ponte sullo Stretto di Messina PROGETTO DEFINITIVO
RELAZIONE DI CALCOLO DIMENSIONAMENTO E VERIFICA CAVI, INTERRUTTORI E QUADRI LATO MESSINA	Codice documento SS1167_F0.doc	Rev F0

3 Leggi e norme di riferimento

Nello sviluppo del progetto definitivo delle opere impiantistiche descritte nel presente documento, oltre ai riferimenti legislativi, alle circolari ed alle norme tecniche indicate nel documento GCG.F.01.02 (Ottobre 2004), sono stati considerati, in particolare, anche i seguenti riferimenti:

- CEI 0-16 - Regola tecnica di riferimento per la connessione di Utenti attivi e passivi alle reti AT ed MT delle imprese distributrici di energia elettrica – Luglio 2008
- Norma CEI 11-1 - “Impianti di produzione, trasporto e distribuzione di energia elettrica. Norme generali”
- Norma CEI 11-17 - “Impianti di produzione, trasmissione e distribuzione di energia elettrica. Linee in cavo”
- CEI 11-20 2000 IVa Ed. Impianti di produzione di energia elettrica e gruppi di continuità collegati a reti I e II categoria.
- CEI 11-25 2001 IIa Ed. (IEC 60909-2001): Correnti di cortocircuito nei sistemi trifasi in corrente alternata. Parte 0: Calcolo delle correnti.
- CEI 11-28 1993 Ia Ed. (IEC 781): Guida d'applicazione per il calcolo delle correnti di cortocircuito nelle reti radiali e bassa tensione.
- CEI 17-5 VIIIa Ed. 2007: Apparecchiature a bassa tensione. Parte 2: Interruttori automatici.
- CEI 23-3/1 Ia Ed. 2004: Interruttori automatici per la protezione dalle sovraccorrenti per impianti domestici e simili.
- CEI 33-5 Ia Ed. 1984: Condensatori statici di rifasamento di tipo autorigenerabile per impianti di energia a corrente alternata con tensione nominale inferiore o uguale a 660V.
- CEI 64-8 Vla Ed. 2007: Impianti elettrici utilizzatori a tensione nominale non superiore a 1000V in corrente alternata e a 1500V in corrente continua.
- IEC 364-5-523: Wiring system. Current-carrying capacities.
- IEC 60364-5-52: Electrical Installations of Buildings - Part 5-52: Selection and Erection of Electrical Equipment - Wiring Systems.
- CEI UNEL 35023 2009: Cavi per energia isolati con gomma o con materiale termoplastico avente grado di isolamento non superiore a 4- Cadute di tensione.
- CEI UNEL 35024/1 1997: Cavi elettrici isolati con materiale elastometrico o termoplastico per tensioni nominali non superiori a 1000 V in corrente alternata e a 1500 V in corrente continua. Portate di corrente in regime permanente per posa in aria.
- CEI UNEL 35024/2 1997: Cavi elettrici ad isolamento minerale per tensioni nominali non

RELACIONE DI CALCOLO
DIMENSIONAMENTO E VERIFICA CAVI,
INTERRUTTORI E QUADRI LATO MESSINA

Codice documento
SS1167_F0.doc

Rev
F0
Data
20/06/2011

superiori a 1000 V in corrente alternata e a 1500 V in corrente continua. Portate di corrente in regime permanente per posa in aria.

- CEI UNEL 35026 2000: Cavi elettrici con materiale elastomerico o termoplastico per tensioni nominali di 1000 V in corrente alternata e 1500 V in corrente continua. Portate di corrente in regime permanente per posa interrata.
- CEI EN 50272: Prescrizioni di sicurezza per batterie di accumulatori e loro installazioni.
- IEC 60287: Electric cables - Calculation of the current rating.

4 Dati e requisiti di base del progetto

I calcoli di progetto saranno eseguiti facendo riferimento alle seguenti condizioni principali:

- Ubicazione e altitudine: Messina - Reggio Calabria <100 s.l.m.
- Destinazione ambienti:
 - gallerie stradali (luogo con maggior rischio in caso di incendio)
 - locali tecnici (locale ordinario)
- Temperature di riferimento:
 - Tmax int.: 40°C
 - Tmin int.: 5°C
 - Test.: 34°C - Uest.: 40%
 - Test.: 3°C - Uest.: 85%
- Dati dimensionali dell'intervento:

Per lo sviluppo progettuale degli impianti sono stati assunti come riferimento i seguenti dati caratteristici:

Lato	Opera	Lunghezza fornice direzione ME (m)	Lunghezza fornice direzione RC (m)
Sicilia	Galleria Faro Superiore	3377,32	3361.49

		Ponte sullo Stretto di Messina PROGETTO DEFINITIVO	
RELACIONE DI CALCOLO DIMENSIONAMENTO E VERIFICA CAVI, INTERRUTTORI E QUADRI LATO MESSINA	<i>Codice documento</i> SS1167_F0.doc	<i>Rev</i> F0	<i>Data</i> 20/06/2011

- Dati rete di alimentazione ENEL:
 - tensione di alimentazione: $20\text{kV} \pm 10\%$
 - corrente di cortocircuito trifase nel punto di consegna MT: 12,5 kA (valore tipico per reti MT a 20 kV)
 - tempo di intervento protezioni: < 1s
- Assorbimenti unitari (W):
 - Apparecchio illuminante SAP 70W: 87 W
 - Apparecchio illuminante SAP 100W: 118 W
 - Apparecchio illuminante SAP 150W: 172 W
 - Apparecchio illuminante SAP 250W: 277 W
 - Apparecchio illuminante SAP 400W: 439 W
 - Apparecchio per tunnel a 40 LED: 95 W
 - Apparecchio per tunnel a 20 LED: 48 W
 - Ventilatore tunnel: 29.68 kW
 - Ventilatore by-pass: 8.33 kW
 - PMV esterno tipo A: 4100 W
 - PMV esterno tipo B: 2800 W
 - PMV esterno tipo C: 1600 W
 - PMV interno tunnel tipo D: 1750 W
 - Cartello SOS+Estintore+idrante: 65 W
 - Cartello via di fuga: 48 W
 - Cartello uscita di sicurezza: 60 W
 - Cartello piazzola di sosta: 30 W
 - Cartello piazzola di sosta con distanza: 35W
 - Indicatore di corsia: 200 W
 - Telecamera fissa: 50 W
 - Telecamera brandeggiabile: 100 W
 - Armadio SOS: 300W
 - Nodo TVCC: 1500 W
 - Armadio radio: 500 W
 - Armadio PLC: 500 W
 - Alimentatori illuminazione di sicurezza: 150 W
 - Centralina CO/OP/NO: 100 W

		Ponte sullo Stretto di Messina PROGETTO DEFINITIVO	
RELAZIONE DI CALCOLO DIMENSIONAMENTO E VERIFICA CAVI, INTERRUTTORI E QUADRI LATO MESSINA	<i>Codice documento</i> SS1167_F0.doc	<i>Rev</i> F0	<i>Data</i> 20/06/2011

- Analizzatore CO/OP: 300 W
 - Analizzatore NOx: 300 W
 - Centralina anemometri: 200 W
 - Centralina controllo traffico: 730 W
 - Centralina controllo vibrazioni ventilatori: 200 W
 - Sensore di luminanza esterna: 35 W
 - Pompa antincendio: 24.4 kW
-
- Caduta di tensione massima:
 - linee principali di distribuzione: <1%
 - linee secondarie di distribuzione: <3%
 - Margine di potenza su apparecchiature 20%
(trasformatori, GE, UPS, ecc):
 - Margine di sicurezza portate cavi e interruttori: 20%
 - Riserva di spazio (o interruttori) sui quadri BT: 20%
 - Riserva di spazio nelle canalizzazioni: 50%
 - Riserva di spazio nelle tubazioni: diametro interno tubazione \geq 1/3 del diametro circoscritto al fascio dei cavi
 - Tipologia conduttori BT:
 - cavi in galleria e nei locali tecnici posati entro canalizzazioni e tubazioni: FG7(O)M1 0.6/1 kV
 - cavi in galleria e nei locali tecnici posati entro canalizzazioni e tubazioni in materiale plastico: NO7G9-K 450/750V
 - cavi relativi a circuiti di sicurezza: FTG10(O)M1 0,6/1 kV CEI 20-45
 - cavi interrati all'aperto posati all'interno di tubazioni in materiale plastico: FG7(O)R 0.6/1 kV
 - cavi relativi a circuiti di sicurezza: FTG10(O)M1 0,6/1 kV CEI 20-45

**RELACIONE DI CALCOLO
DIMENSIONAMENTO E VERIFICA CAVI,
INTERRUTTORI E QUADRI LATO MESSINA**

*Codice documento
SS1167_F0.doc*

*Rev
F0* *Data
20/06/2011*

5 Dimensionamento apparecchiature di cabina

Nel caso specifico, per dimensionamento dell'impianto elettrico di potenza si intende il dimensionamento delle apparecchiature principali di cabina quali i trasformatori, i gruppi elettrogeni ed i gruppi di continuità assoluta (UPS).

La scelta della loro taglia deriva dalla valutazione dei carichi da alimentare che si riassumono nella seguenti tabelle, nella quale i valori si riferiscono alla potenza nominale delle singole apparecchiature:

IMPIANTO	POTENZA INSTALLATA [KW]		ASSORBIMENTO FUNZIONAMENTO NORMALE [KW]		ASSORBIMENTO FUNZIONAMENTO EMERGENZA [KW]					
	GE	CA	GE	CA	GE	CA				
Ventilazione (rifasato)	712	1	386	1	623	1				
Controllo ventilazione		100		100		100				
Illuminazione permanente ordinaria	25		25		25					
Illuminazione permanente di sicurezza		25		25		25				
Illuminazione di rinforzo di ingresso	117		117		117					
Illuminazione di rinforzo di uscita	8		8		8					
Servizi ausiliari ordinari	36		36		36					
Servizi ausiliari di sicurezza		53		53		53				
Impianto antincendio	41	0,3	0	0,3	41	0,3				
TOTALI PARZIALI (kW)	939	179	572	179	850	179				
TOTALI PARZIALI (kVA) CON f.d.p.=0,9	1043	199	636	199	944	199				
TOTALE COMPLESSIVO (kW)	1118		751		1029					
TOTALE COMPLESSIVO (kVA) CON f.d.p.=0,9	1242		834		1143					
TAGLIA TRASFORMATORE E GE (kVA)					1600					
PERCENTUALE RISERVA					39,96%					
TAGLIA UPS (kVA)					250					
PERCENTUALE RISERVA (UPS)					25,77%					

Nota: GE: sezione alimentata in emergenza solo da Gruppo Elettrogeno

CA: sezione alimentata in emergenza da UPS con rincalzo da Gruppo Elettrogeno

Come si evince dalla tabella, ai fini del presente dimensionamento è stato considerato un fattore di

		Ponte sullo Stretto di Messina PROGETTO DEFINITIVO
RELAZIONE DI CALCOLO DIMENSIONAMENTO E VERIFICA CAVI, INTERRUTTORI E QUADRI LATO MESSINA	Codice documento SS1167_F0.doc	Rev F0

potenza cautelativo pari a 0,90 in quanto il carico risulta rifasato sia con condensatori in campo (ad esempio gli apparecchi illuminanti ed i ventilatori booster) sia con quadro di rifasamento automatico in cabina.

Per quanto concerne i dettagli relativi alle potenze assorbite dai vari Impianti (illuminazione, ventilazione e servizi ausiliari) si rinvia agli schemi unifilari dei quadri elettrici di alimentazione.

Ovviamente, in seguito alla definizione delle taglie delle apparecchiature da installare in cabina, sono stati opportunamente dimensionati sia gli spazi tecnici per il loro contenimento che gli impianti di ventilazione/condizionamento idonei al mantenimento di una temperatura inferiore al valore massimo accettabile (tipicamente da 25°C a 40°C).

6 Dimensionamento linee BT

6.1 Calcolo delle correnti d'impiego

Per i carichi o utenze presenti nell'impianto la corrente d'impiego è calcolata dalla formula seguente, sulla base della potenza realmente assorbita:

$$I_b = \frac{P_d}{k_{ca} \cdot V_n \cdot \cos\varphi}$$

nella quale:

- Pd = Potenza effettivamente assorbita dal carico
- Vn = Tensione nominale del sistema
- cos φ = Fattore di potenza
- kca = fattore dipendente dal sistema di collegamento
 - kca = 1 sistema monofase o bifase, due conduttori attivi;
 - kca = 1.73 sistema trifase, tre conduttori attivi.

Se la rete è in corrente continua il fattore di potenza cos φ è pari a 1.

Dal valore massimo (modulo) di Ib vengono calcolate le correnti di fase in notazione vettoriale (parte reale ed immaginaria) con le formule:

		Ponte sullo Stretto di Messina PROGETTO DEFINITIVO	
RELAZIONE DI CALCOLO DIMENSIONAMENTO E VERIFICA CAVI, INTERRUTTORI E QUADRI LATO MESSINA	<i>Codice documento</i> SS1167_F0.doc	<i>Rev</i> F0	<i>Data</i> 20/06/2011

$$\begin{aligned}\dot{I}_1 &= I_b \cdot e^{-j\varphi} = I_b \cdot (\cos\varphi - j\sin\varphi) \\ \dot{I}_2 &= I_b \cdot e^{-j(\varphi-2\pi/3)} = I_b \cdot \left(\cos\left(\varphi - \frac{2\pi}{3}\right) - j\sin\left(\varphi - \frac{2\pi}{3}\right) \right) \\ \dot{I}_3 &= I_b \cdot e^{-j(\varphi-4\pi/3)} = I_b \cdot \left(\cos\left(\varphi - \frac{4\pi}{3}\right) - j\sin\left(\varphi - \frac{4\pi}{3}\right) \right)\end{aligned}$$

Il vettore della tensione V_n è supposto allineato con l'asse dei numeri reali:

$$\dot{V}_n = V_n + j0$$

La potenza di dimensionamento P_d è data dal prodotto:

$$P_d = P_n \cdot \text{coeff}$$

nel quale *coeff* è pari al fattore di utilizzo per utenze terminali oppure al fattore di contemporaneità per utenze di distribuzione.

La potenza P_n , invece, è la potenza nominale del carico per utenze terminali, ovvero, la somma delle P_d delle utenze a valle ($\sum P_d$ a valle) per utenze di distribuzione (somma vettoriale).

La potenza reattiva delle utenze viene calcolata invece secondo la:

$$Q_n = P_n \cdot \tan\varphi$$

per le utenze terminali, mentre per le utenze di distribuzione viene calcolata come somma vettoriale delle potenze reattive nominali a valle ($\sum Q_d$ a valle).

Il fattore di potenza per le utenze di distribuzione viene valutato, di conseguenza, con la:

$$\cos\varphi = \cos\left(\arctan\left(\frac{Q_n}{P_n}\right)\right)$$

6.2 Dimensionamento e verifica a sovraccarico dei cavi

6.2.1 Generalità

Di seguito sono illustrati i criteri di dimensionamento e verifica dei cavi e delle relative protezioni, in relazione alle correnti di sovraccarico.

Il riferimento è la Norma CEI 64-8/4 (par. 433.2), secondo la quale il dispositivo di protezione deve

		Ponte sullo Stretto di Messina PROGETTO DEFINITIVO	
RELACIONE DI CALCOLO DIMENSIONAMENTO E VERIFICA CAVI, INTERRUTTORI E QUADRI LATO MESSINA	<i>Codice documento</i> SS1167_F0.doc	<i>Rev</i> F0	<i>Data</i> 20/06/2011

essere coordinato con la condutture in modo da verificare le condizioni:

$$\begin{aligned} a) \quad & I_b \leq I_n \leq I_z \\ b) \quad & I_f \leq 1.45 \cdot I_z \end{aligned}$$

dove:

- I_b = Corrente di impiego del circuito
- I_n = Corrente nominale del dispositivo di protezione
- I_z = Portata in regime permanente della condutture
- I_f = Corrente di funzionamento del dispositivo di protezione

Affinché sia verificata la condizione a) è necessario dimensionare il cavo in base alla corrente nominale della protezione a monte. Dalla corrente I_b , pertanto, viene determinata la corrente nominale della protezione (seguendo i valori normalizzati) e con questa si procede alla determinazione della sezione.

Il dimensionamento dei cavi rispetta anche i seguenti casi:

- condutture senza protezione derivate da una condutture principale protetta contro i sovraccarichi con dispositivo idoneo ed in grado di garantire la protezione anche delle condutture derivate;
- condutture che alimenta diverse derivazioni singolarmente protette contro i sovraccarichi, quando la somma delle correnti nominali dei dispositivi di protezione delle derivazioni non supera la portata I_z della condutture principale.

L'individuazione della portata si effettua utilizzando le seguenti tabelle di posa assegnate ai cavi:

- CEI 64-8 Tabella 52C (esempi di condutture);
- CEI-UNEL 35024/1 (portata dei cavi isolati in PVC ed EPR);
- CEI-UNEL 35026 (portata dei cavi interrati);

Esse oltre a riportare la corrente ammissibile (portata) in funzione del tipo di isolamento del cavo, del tipo di posa e del numero di conduttori attivi, riportano anche la metodologia di valutazione dei coefficienti di declassamento.

La portata minima del cavo viene calcolata come:

		Ponte sullo Stretto di Messina PROGETTO DEFINITIVO	
RELAZIONE DI CALCOLO DIMENSIONAMENTO E VERIFICA CAVI, INTERRUTTORI E QUADRI LATO MESSINA	<i>Codice documento</i> SS1167_F0.doc	<i>Rev</i> F0	<i>Data</i> 20/06/2011

$$I_{z\min} = \frac{I_n}{k_{tot}}$$

dove il coefficiente k_{tot} ha lo scopo di declassare il cavo e tiene conto dei seguenti fattori:

- tipo di materiale conduttore;
- tipo di isolamento del cavo;
- numero di conduttori in prossimità compresi eventuali paralleli;
- eventuale declassamento deciso dall'utente.

Laddove necessario, saranno posti dei vincoli cautelativi, sui coefficienti di declassamento utilizzati.

La sezione viene scelta in modo che la sua portata (ricavata dalla tabella) sia superiore alla $I_{z\min}$. Gli eventuali paralleli vengono calcolati nell'ipotesi che abbiano tutti la stessa sezione, lunghezza e tipo di posa (vedi norma 64.8 par. 433.3), considerando la portata minima come risultante della somma delle singole portate (declassate per il numero di paralleli dal coefficiente di declassamento per prossimità).

La condizione b) non necessita di verifica in quanto gli interruttori che rispondono alla norma CEI 23.3 hanno un rapporto tra corrente convenzionale di funzionamento I_f e corrente nominale I_n minore di 1.45 ed è costante per tutte le tarature inferiori a 125 A. Per le apparecchiature industriali, invece, le norme CEI 17.5 e IEC 947 stabiliscono che tale rapporto può variare in base alla corrente nominale, ma deve comunque rimanere minore o uguale a 1.45.

Risulta pertanto che, in base a tali normative, la condizione b) sarà sempre verificata.

Le condutture dimensionate con questo criterio sono, pertanto, protette contro le sovraccorrenti.

Nei capitoli che seguono sono specificate le modalità di posa contemplate dalla Norma CEI 64-8, le tabelle ricavate dalle norme di cui sopra e i diversi metodi per la determinazione della portata.

6.2.2 Modalità di posa

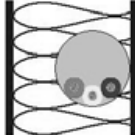
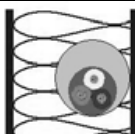
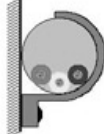
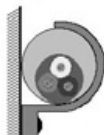
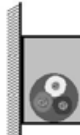
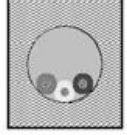
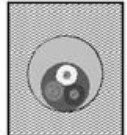
Con riferimento alla norma CEI 64-8/5, le tipologie di installazione previste sono riportate nelle tabella seguente:

ESEMPIO	RIFERIMENTO	DESCRIZIONE
---------	-------------	-------------

**RELACIONE DI CALCOLO
DIMENSIONAMENTO E VERIFICA CAVI,
INTERRUTTORI E QUADRI LATO MESSINA**

Codice documento
SS1167_F0.doc

Rev
F0 *Data*
20/06/2011

ESEMPIO	RIFERIMENTO	DESCRIZIONE
	1	cavi senza guaina in tubi protettivi circolari posati entro muri termicamente isolati
	2	cavi multipolari in tubi protettivi circolari posati entro muri termicamente isolati
	3	cavi senza guaina in tubi protettivi circolari posati su o distanziati da pareti
	3A	cavi multipolari in tubi protettivi circolari posati su o distanziati da pareti
	4	cavi senza guaina in tubi protettivi non circolari posati su pareti
	4A	cavi multipolari in tubi protettivi non circolari posati su pareti
	5	cavi senza guaina in tubi protettivi annegati nella muratura
	5A	cavi multipolari in tubi protettivi annegati nella muratura

**RELACIONE DI CALCOLO
DIMENSIONAMENTO E VERIFICA CAVI,
INTERRUTTORI E QUADRI LATO MESSINA**

Codice documento
SS1167_F0.doc

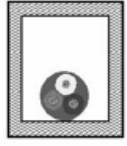
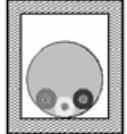
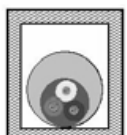
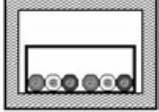
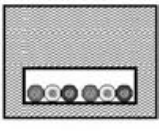
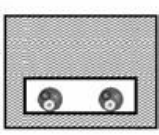
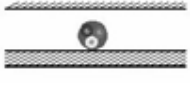
Rev
F0 *Data*
20/06/2011

ESEMPIO	RIFERIMENTO	DESCRIZIONE
	11	cavi multipolari (o unipolari con guaina), con o senza armatura, posati su o distanziati da pareti
	11A	cavi multipolari (o unipolari con guaina) con o senza armatura fissati su soffitti
	12	cavi multipolari (o unipolari con guaina), con o senza armatura, su passerelle non perforate
	13	cavi multipolari (o unipolari con guaina), con o senza armatura, su passerelle perforate con percorso orizzontale o verticale
	14	cavi multipolari (o unipolari con guaina), con o senza armatura, su mensole
	15	cavi multipolari (o unipolari con guaina), con o senza armatura, fissati da collari
	16	cavi multipolari (o unipolari con guaina), con o senza armatura, su passerelle a traversini
	17	cavi unipolari con guaina (o multipolari) sospesi a od incorporati in fili o corde di supporto

**RELACIONE DI CALCOLO
DIMENSIONAMENTO E VERIFICA CAVI,
INTERRUTTORI E QUADRI LATO MESSINA**

Codice documento
SS1167_F0.doc

Rev
F0 *Data*
20/06/2011

ESEMPIO	RIFERIMENTO	DESCRIZIONE
	18	conduttori nudi o cavi senza guaina su isolanti
	21	cavi multipolari (o unipolari con guaina) in cavità di strutture
	22	cavi unipolari senza guaina in tubi protettivi non circolari posati in cavità di strutture
	22A	cavi multipolari (o unipolari con guaina) in tubi protettivi circolari posati in cavità di strutture
	23	cavi unipolari senza guaina in tubi protettivi non circolari posati in cavità di strutture
	24	cavi unipolari senza guaina in tubi protettivi non circolari annegati nella muratura
	24A	cavi multipolari (o unipolari con guaina), in tubi protettivi non circolari annegati nella muratura
	25	cavi multipolari (o unipolari con guaina) posati in: ▪ controsoffitti ▪ pavimenti sopraelevati

**RELAZIONE DI CALCOLO
DIMENSIONAMENTO E VERIFICA CAVI,
INTERRUTTORI E QUADRI LATO MESSINA**

Codice documento
SS1167_F0.doc

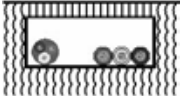
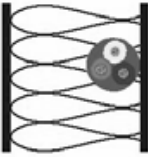
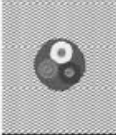
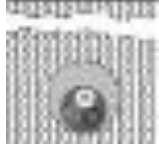
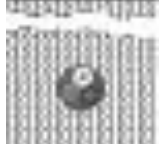
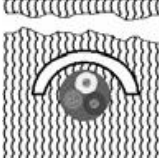
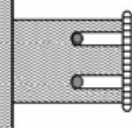
Rev
F0 *Data*
20/06/2011

ESEMPIO	RIFERIMENTO	DESCRIZIONE
	31	cavi senza guaina e cavi multipolari (o unipolari con guaina) in canali posati su parete con percorso orizzontale
	32	cavi senza guaina e cavi multipolari (o unipolari con guaina) in canali posati su parete con percorso verticale
	33	cavi senza guaina posati in canali incassati nel pavimento
	33A	cavi multipolari posati in canali incassati nel pavimento
	34	cavi senza guaina in canali sospesi
	34A	cavi multipolari (o unipolari con guaina) in canali sospesi
	41	cavi senza guaina e cavi multipolari (o cavi unipolari con guaina) in tubi protettivi circolari posati entro cunicoli chiusi, con percorso orizzontale o verticale
	42	cavi senza guaina in tubi protettivi circolari posati entro cunicoli ventilati incassati nel pavimento

**RELACIONE DI CALCOLO
DIMENSIONAMENTO E VERIFICA CAVI,
INTERRUTTORI E QUADRI LATO MESSINA**

Codice documento
SS1167_F0.doc

Rev
F0 Data
20/06/2011

ESEMPIO	RIFERIMENTO	DESCRIZIONE
	43	cavi unipolari con guaina e multipolari posati in cunicoli aperti o ventilati con percorso orizzontale e verticale
	51	cavi multipolari (o cavi unipolari con guaina) posati direttamente entro pareti termicamente isolanti
	52	cavi multipolari (o cavi unipolari con guaina) posati direttamente nella muratura senza protezione meccanica addizionale
	53	cavi multipolari (o cavi unipolari con guaina) posati nella muratura con protezione meccanica addizionale
	61	cavi unipolari con guaina e multipolari in tubi protettivi interrati od in cunicoli interrati
	62	cavi multipolari (o unipolari con guaina) interrati senza protezione meccanica addizionale
	63	cavi multipolari (o unipolari con guaina) interrati con protezione meccanica addizionale
	71	cavi senza guaina posati in elementi scanalati

ESEMPIO	RIFERIMENTO	DESCRIZIONE
	72	cavi senza guaina (o cavi unipolari con guaina o cavi multipolari) posati in canali provvisti di elementi di separazione: ▪ circuiti per cavi per comunicazione e per elaborazione dati
	73	cavi senza guaina in tubi protettivi o cavi unipolari con guaina (o multipolari) posati in stipiti di porte
	74	cavi senza guaina in tubi protettivi o cavi unipolari con guaina (o multipolari) posati in stipiti di finestre
	75	cavi senza guaina, cavi multipolari o cavi unipolari con guaina in canale incassato
	81	cavi multipolari immersi in acqua

Tabella 1 - Esempi di condutture (rif. CEI 64-8 tab.5C)

Le figure riportate sono solo indicative dei metodi di installazione descritti, ma non rappresentano la reale messa in opera.

6.2.3 Determinazione della portata

6.2.3.1 Cavi isolati in PVC ed EPR (CEI-UNEL 35024/1)

Per la determinazione della portata dei cavi in rame isolati in materiale elastomerico o termoplastico si fa riferimento alla tabella CEI-UNEL 35024/1.

La norma non prende in considerazione i cavi con posa interrata, in acqua o i cavi posti all'interno

**RELAZIONE DI CALCOLO
DIMENSIONAMENTO E VERIFICA CAVI,
INTERRUTTORI E QUADRI LATO MESSINA**

Codice documento
SS1167_F0.doc

Rev
F0 *Data*
20/06/2011

di apparecchi elettrici o quadri e cavi per rotabili o aeromobili.

In particolare:

- il coefficiente k_{tot} è ottenuto dal prodotto dei coefficienti k_1 e k_2 ricavati dalle tabelle 3, 4, 5, 6;
- la portata nominale è ricavata dalla tabelle 7 e 8 in relazione al numero della posa (secondo CEI 64-8/5), all'isolante e al numero di conduttori attivi (riferita a 30°C).

k_1 è il coefficiente di correzione relativo alla temperatura ambiente

k_2 è il coefficiente di correzione per i cavi in fascio, in strato o su più strati.

Il coefficiente k_2 si applica ai cavi del fascio o dello strato aventi sezioni simili (rientranti nelle tre sezioni unificate adiacenti) e uniformemente caricati.

Qualora K_2 non sia applicabile, è sostituito dal coefficiente F:

$$F = \frac{1}{\sqrt{n}}$$

dove n è il numero di cavi che compongono il fascio:

n	1	2	3	4	5	6	7	8
F	1	0.71	0.57	0.5	0.44	0.41	0.37	0.35

Tabella 2 - Fattore di correzione per conduttori in fascio F

Temperatura [°C]	PVC	EPR
10	1,22	1,15
15	1.17	1.12
20	1.12	1.08
25	1.06	1.04
30	1.00	1.00
35	0.94	0.96
40	0.87	0.91
45	0.79	0.87
50	0.71	0.82
55	0.61	0.76

**RELACIONE DI CALCOLO
DIMENSIONAMENTO E VERIFICA CAVI,
INTERRUTTORI E QUADRI LATO MESSINA**

Codice documento
SS1167_F0.doc

Rev
F0

Data
20/06/2011

60	0,50	0,71
65	-	0,65
70	-	0,58
75	-	0,50
80	-	0,41

Tabella 3 - Influenza della temperatura k_1

n° di posa CEI 64-8	disposizione	numero di circuiti o di cavi multipolari											
		1	2	3	4	5	6	7	8	9	12	16	20
tutte le altre pose	raggruppati a fascio, annegati	1	0,8	0,7	0,65	0,6	0,57	0,54	0,52	0,5	0,45	0,41	0,38
11/12/2025	singolo strato su muro, pavimento o passerelle non perforate	1	0,85	0,79	0,75	0,73	0,72	0,72	0,71	0,7			
11A	strato a soffitto	0,95	0,81	0,72	0,68	0,66	0,64	0,63	0,62	0,61			
13	strato su passerelle perforate orizzontali o verticali (perforate o non perforate)	1	0,88	0,82	0,77	0,75	0,73	0,73	0,72	0,72			
14-15-16-17	strato su scala posa cavi o graffato ad un sostegno	1	0,87	0,82	0,8	0,8	0,79	0,79	0,78	0,78			

nessuna ulteriore riduzione per più di 9 circuiti o cavi multipolari

Tabella 4 - Circuiti realizzati con cavi in fascio o strato k_2

n° posa CEI 64-8	metodo di installazione	numero di cavi per ogni supporto							
		numero di passerelle		1	2	3	4	6	9
13	passerelle perforate orizzontali	posa ravvicinata	2	1,00	0,87	0,80	0,77	0,73	0,68
			3	1,00	0,86	0,79	0,76	0,71	0,66
		posa distanziata	2	1,00	0,99	0,96	0,92	0,87	
			3	1,00	0,98	0,95	0,91	0,85	
13	passerelle perforate verticali	posa ravvicinata	2	1,00	0,88	0,81	0,76	0,71	0,70
			2	1,00	0,91	0,88	0,87	0,85	
14-15-16-17	scala posa cavi elemento di sostegno	posa ravvicinata	2	1,00	0,86	0,80	0,78	0,76	0,73
			3	1,00	0,85	0,79	0,76	0,73	0,70
		posa distanziata	2	1,00	0,99	0,98	0,97	0,96	
			3	1,00	0,98	0,97	0,96	0,93	

Tabella 5 - Circuiti realizzati con cavi multipolari in strato su più supporti (es. passerelle) k_2

**RELAZIONE DI CALCOLO
DIMENSIONAMENTO E VERIFICA CAVI,
INTERRUTTORI E QUADRI LATO MESSINA**

Codice documento
SS1167_F0.doc

Rev
F0 *Data*
20/06/2011

Per posa distanziata si intendono cavi posizionati:

- ad una distanza almeno doppia del loro diametro in caso di cavi unipolari
- ad una distanza almeno pari al loro diametro in caso di cavi multipolari.

Se i cavi sono installati ad una distanza superiore a quella sopra indicata il fattore correttivo per circuiti in fascio non si applica ($K_2 = 1$).

Nelle pose su passerelle orizzontali o su scala posa cavi, i cavi devono essere posizionati ad una distanza dalla superficie verticale (parete) maggiore o uguale a 20 mm.

n° posa CEI 64-8		numero d circuiti trifasi				utilizzato per
		numero di passerelle	1	2	3	
13	passerelle perforate	2	0,96	0,87	0,81	3 cavi in formazione orizzontale
		3	0,95	0,85	0,78	
13	passerelle perforate	2	0,95	0,84		3 cavi in formazione verticale
14-15-16-17	scala posa cavi o elemento di sostegno	2	0,98	0,93	0,89	3 cavi in formazione orizzontale
		3	0,97	0,90	0,86	
13	passerelle perforate	2	0,97	0,93	0,89	3 cavi in formazione a trefolo
		3	0,96	0,92	0,86	
13	passerelle perforate	2	1,00	0,90	0,86	
14-15-16-17	scala posa cavi o elemento di sostegno	2	0,97	0,95	0,93	
		3	0,96	0,94	0,9	

Tabella 6 - Circuiti realizzati con cavi unipolari in strato su più supporti k_2

Nelle pose su passerelle orizzontali o su scala posa cavi, i cavi devono essere posizionati ad una distanza dalla superficie verticale (parete) maggiore o uguale a 20 mm. Le terne di cavi in formazione a trefolo si intendono disposte ad una distanza maggiore di due volte il diametro del singolo cavo unipolare.

**RELACIONE DI CALCOLO
DIMENSIONAMENTO E VERIFICA CAVI,
INTERRUTTORI E QUADRI LATO MESSINA**

Codice documento
SS1167_F0.doc

Rev
F0 Data
20/06/2011

Metod. di install.	Altri tipi di posa della CEI 64-8	Isol.	n° conduttori caricati	Portata [A]																		
				1	1,5	2,5	4	6	10	16	25	35	50	70	95	120	150	185	240	300		
cavi in tubo incassato in parete isolante	1-51-71-73-74	PVC	-	-	14,5	19,5	26	46	61	80	99	119	151	182	210	240	273	320	-	-		
		EPR	2	-	13,5	18	24	34	42	56	73	89	108	136	164	188	216	245	286	-	-	
cavi in tubo in aria	3-4-5-22-23	PVC	2	13,5	17,5	24	32	41	57	76	101	125	151	192	232	269	309	353	415	-	-	
	24-31-32-33	PVC	3	12	15,5	21	28	36	50	68	89	110	134	171	207	239	275	314	369	-	-	
cavi in aria libera in posizione non a portata di mano	34-41-42-72	EPR	2	17	23	31	42	54	75	100	133	164	198	253	306	354	402	472	555	-	-	
		PVC	3	15	20	28	37	48	66	88	117	144	175	222	269	312	355	417	490	-	-	
cavi in aria libera in posizione non a portata di mano	18	PVC	2	-	19,5	26	35	46	63	85	112	138	168	213	258	289	344	392	461	-	-	
		EPR	2	-	15,5	21	28	36	57	76	101	125	151	192	232	269	309	353	415	-	-	
cavi in aria libera a trifoglio	11-12-21-25	PVC	2	-	24	33	45	58	80	107	142	175	212	270	327	-	-	-	-	-	-	
	43-52-53	EPR	3	-	19,5	26	35	46	63	85	110	137	167	216	264	308	356	409	485	561	656	749
cavi in aria libera in piano a contatto	13-14-15-16-17	PVC	2	-	22	30	40	52	71	96	131	162	196	251	304	352	406	463	546	629	754	
		EPR	3	-	19,5	26	35	46	63	85	114	143	174	225	275	321	372	427	507	587	689	789
cavi in aria libera distanziati su un piano orizzontale(2)	14-15-16	PVC	2	-	27	37	50	64	88	119	161	200	242	310	377	437	504	575	679	783	940	1083
		EPR	3	-	24	33	45	58	80	107	141	176	216	279	342	400	464	533	634	736	868	988
		PVC	2	-	-	-	-	-	-	-	146	181	219	281	341	396	456	521	615	709	852	982
		EPR	3	-	-	-	-	-	-	-	146	181	219	281	341	396	456	521	615	709	852	982
		EPR	2	-	-	-	-	-	-	-	182	226	275	353	430	500	577	661	781	902	1055	1253
cavi in aria libera distanziati su un piano verticale(2)	13-14-15-16	PVC	2	-	-	-	-	-	-	-	130	162	197	254	311	362	419	480	569	659	795	920
		EPR	3	-	-	-	-	-	-	-	161	201	246	318	389	454	527	605	719	833	1008	1169

Tabella 7 - Portata cavi unipolari con e senza guaina con isolamento in PVC o EPR ¹

¹ PVC: mescola termoplastica a base di polivinilcloruro (temperatura massima del conduttore uguale a 70 °C). EPR: mescola elastomerica reticolata a base di gomma etilenpropilenica o similari (temperatura massima del conduttore uguale a 90 °C)

**RELAZIONE DI CALCOLO
DIMENSIONAMENTO E VERIFICA CAVI,
INTERRUTTORI E QUADRI LATO MESSINA**

Codice documento
SS1167_F0.doc

Rev
0
Data
24/03/2011

Metod. di install.	Altri tipi di posa della CEI 64-8	Isol.	n° conduttori caricati	Portata [A]																			
				1	1,5	2,5	4	6	10	16	25	35	50	70	95	120	150	185	240	300	400	500	630
cavo in tubo		PVC	2	-	14	18,5	25	32	43	57	75	92	110	139	167	192	219	248	281	334	-	-	-
incassato in parete isolante	2-51-73-74	EPR	3	-	13	17,5	23	29	39	52	68	83	99	125	150	172	196	223	261	298	-	-	-
cavo in tubo	3A-4A-5A-21	PVC	2	-	18,5	25	33	42	57	76	99	121	145	183	220	253	290	329	386	442	-	-	-
in aria	22A-24A-25		3	12	15	20	27	34	46	62	80	99	118	149	179	206	225	255	287	339	-	-	-
	33A-31-34A-	EPR	2	17	22	30	40	51	69	91	119	146	175	221	265	305	334	384	459	532	-	-	-
cavo in aria libera, distanziato	43-52		3	15	19,5	26	35	44	60	80	105	128	154	194	233	268	300	340	398	455	-	-	-
dalla parete soffitto	13-14-15-16-17	PVC	2	15	22	30	40	51	70	94	119	148	180	232	282	328	379	434	514	593	-	-	-
o su passerella		EPR	3	13,6	18,5	25	34	43	60	80	101	126	153	196	238	276	319	364	430	497	-	-	-
cavo in aria libera, fissato alla parete/soffitto	11-11A-52-53	PVC	2	19	26	36	49	63	86	115	149	185	225	289	352	410	473	542	641	741	-	-	-
		EPR	3	17	23	32	42	54	75	100	127	158	190	246	298	346	399	456	538	621	-	-	-

Tabella 8 - Portata cavi multipolari con e senza guaina con isolamento in PVC o EPR ³

2 I cavi unipolari affiancati che compongono il circuito trifase si considerano distanziati se posati in modo che la distanza tra di essi sia superiore o uguale a due volte il diametro esterno del singolo cavo unipolare.

3 PVC: mescola termoplastica a base di polivinilcloruro (temperatura massima del conduttore uguale a 70 °C). EPR: mescola elastomerica reticolata a base di gomma etilenpropilenica o similari (temperatura massima del conduttore uguale a 90 °C)

		Ponte sullo Stretto di Messina PROGETTO DEFINITIVO
RELAZIONE DI CALCOLO DIMENSIONAMENTO E VERIFICA CAVI, INTERRUTTORI E QUADRI LATO MESSINA	Codice documento SS1167_F0.doc	Rev F0 Data 20/06/2011

6.2.3.2 Cavi interrati (CEI-UNEL 35026)

Per la determinazione della portata dei cavi in rame con isolamento elastomerico o termoplastico si fa riferimento alla tabella CEI-UNEL 35026.

In particolare:

- il coefficiente k_{tot} è ottenuto dal prodotto dei coefficienti k_1 , k_2 , k_3 e k_4 , ricavati dalle tabelle 9, 10, 11, 12.
- la portata nominale è ricavata dalla tabella 13 in relazione al numero della posa (secondo CEI 64-8/5), all'isolante e al numero di conduttori attivi (riferita a d una temperatura del terreno di 20°C).

k_1 è il coefficiente di correzione relativo alla temperatura del terreno

k_2 è il coefficiente di correzione per gruppi di circuiti installati sullo stesso piano

k_3 è il coefficiente di correzione relativo alla profondità di interramento

k_4 è il coefficiente di correzione relativo alla resistività termica del terreno

RELAZIONE DI CALCOLO
DIMENSIONAMENTO E VERIFICA CAVI,
INTERRUTTORI E QUADRI LATO MESSINA

Codice documento
SS1167_F0.doc

Rev
0
Data
24/03/2011

Temperatura terreno [°C]	PVC	EPR
10	1.1	1.07
15	1.05	1.04
20	1	1
25	0.95	0.96
30	0.89	0.93
35	0.84	0.89
40	0.77	0.85
45	0.71	0.8
50	0.63	0.76
55	0.55	0.71
60	0.45	0.65
65	-	0.6
70	-	0.53
75	-	0.46
80	-	0.38

Tabella 9 - Influenza della temperatura del terreno – k₁

**RELAZIONE DI CALCOLO
DIMENSIONAMENTO E VERIFICA CAVI,
INTERRUTTORI E QUADRI LATO MESSINA**

Codice documento
SS1167_F0.doc

Rev
F0 *Data*
20/06/2011

un cavo multipolare per ciascun tubo				
n° circuiti	distanza fra i circuiti [m]			
	a contatto	0.25	0.5	1
2	0.85	0.9	0.95	0.95
3	0.75	0.85	0.9	0.95
4	0.7	0.8	0.85	0.9
5	0.65	0.8	0.85	0.9
6	0.6	0.8	0.8	0.9
un cavo unipolare per ciascun tubo				
n° circuiti	distanza fra i circuiti [m]			
	a contatto	0.25	0.5	1
2	0.8	0.9	0.9	0.95
3	0.7	0.8	0.85	0.9
4	0.65	0.75	0.8	0.9
5	0.6	0.7	0.8	0.9
6	0.6	0.7	0.8	0.9

Tabella 10 - Gruppi di più circuiti installati sullo stesso piano – k₂

profondità di posa [m]	0.5	0.8	1	1.2	1.5
fattore di correzione	1.02	1	0.98	0.96	0.94

Tabella 11 - Influenza della profondità di posa – k₃

cavi unipolari					
resistività del terreno [K m/W]	1	1.2	1.5	2	2.5
fattore di correzione	1.08	1.05	1	0.9	0.82
cavi multipolari					
resistività del terreno [K m/W]	1	1.2	1.5	2	2.5
fattore di correzione	1.06	1.04	1	0.91	0.84

Tabella 12 - Influenza della resistività termica del terreno – k₄

**RELAZIONE DI CALCOLO
DIMENSIONAMENTO E VERIFICA CAVI,
INTERRUTTORI E QUADRI LATO MESSINA**

Codice documento
SS1167_F0.doc

Rev
0
Data
24/03/2011

Metod. di install.	Altri tipi di posa della CEI 64-8	Isol.	n° conduttori caricati	Portata [A]																	
				1,5	2,5	4	6	10	16	25	35	50	70	95	120	150	185	240	300	400	500
cavi unipolari in tubi interrati a contatto (1 cavo per tubo)	PVC	2	22	29	38	47	63	82	105	127	157	191	225	259	284	330	386				
	EPR	2	26	34	44	54	73	95	122	148	182	222	261	301	343	385	450	509	592	666	759
cavi unipolari in tubo interrato	PVC	3	23	31	40	49	67	85	110	133	163	198	233	268	304	340	397	448	519	583	663
	EPR	2	21	27	36	45	61	78	101	123	153	187	222	256	282	328	385				
cavi multipolari in tubo interrato	PVC	3	18	23	30	38	51	66	86	104	129	158	187	216	246	277	325				
	EPR	2	24	32	41	52	70	91	118	144	178	218	258	298	340	383	450	510	585	671	767
cavi multipolari in tubo interrato	PVC	2	19	25	33	41	56	73	94	115	143	175	208	240	273	307	360				
	EPR	2	16	21	28	35	47	61	79	97	120	148	175	202	231	259	304				
		3	19	25	32	41	55	72	93	114	141	174	206	238	272	306	360				

Tabella 13 - Portata cavi unipolari con/senza guaina e cavi multipolari con isolamento in PVC o EPR

6.2.4 Dimensionamento dei conduttori di neutro

La norma CEI 64-8 par. 524.2 e par. 524.3, prevede che la sezione del conduttore di neutro, nel caso di circuiti polifasi, può avere una sezione inferiore a quella dei conduttori di fase se sono

		Ponte sullo Stretto di Messina PROGETTO DEFINITIVO	
RELAZIONE DI CALCOLO DIMENSIONAMENTO E VERIFICA CAVI, INTERRUTTORI E QUADRI LATO MESSINA	<i>Codice documento</i> SS1167_F0.doc	<i>Rev</i> F0	<i>Data</i> 20/06/2011

soddisfatte le seguenti condizioni:

- il conduttore di fase abbia una sezione maggiore di 16 mm^2 ;
- la massima corrente che può percorrere il conduttore di neutro non sia superiore alla portata dello stesso
- la sezione del conduttore di neutro sia almeno uguale a 16 mm^2 se il conduttore è in rame e a 25 mm^2 se il conduttore è in alluminio.

Nel caso in cui si abbiano circuiti monofasi o polifasi e questi ultimi con sezione del conduttore di fase minore di 16 mm^2 (conduttore in rame) e 25 mm^2 (conduttore in allumino), il conduttore di neutro deve avere la stessa sezione del conduttore di fase.

$$\begin{aligned}
S_f < 16 \text{ mm}^2: \quad S_n &= S_f \\
16 \leq S_f \leq 35 \text{ mm}^2: \quad S_n &= 16 \text{ mm}^2 \\
S_f > 35 \text{ mm}^2: \quad S_n &= S_f / 2
\end{aligned}$$

Qualora, in base a esigenze progettuali, si scelga di dimensionare il neutro per la reale corrente circolante, dovranno essere fatte le medesime considerazioni relative ai conduttori di fase.

6.2.5 Dimensionamento dei conduttori di protezione

Le norme CEI 64.8 par. 543.1 prevedono due metodi di dimensionamento dei conduttori di protezione:

- determinazione in relazione alla sezione di fase;
- determinazione mediante calcolo.

Il primo criterio consiste nel determinare la sezione del conduttore di protezione seguendo vincoli analoghi a quelli introdotti per il conduttore di neutro:

$$\begin{aligned}
S_f < 16 \text{ mm}^2: \quad S_{PE} &= S_f \\
16 \leq S_f \leq 35 \text{ mm}^2: \quad S_{PE} &= 16 \text{ mm}^2 \\
S_f > 35 \text{ mm}^2: \quad S_{PE} &= S_f / 2
\end{aligned}$$

Il secondo criterio determina tale valore con l'integrale di Joule, ovvero la sezione del conduttore di protezione non deve essere inferiore al valore determinato con la seguente formula:

		Ponte sullo Stretto di Messina PROGETTO DEFINITIVO	
RELAZIONE DI CALCOLO DIMENSIONAMENTO E VERIFICA CAVI, INTERRUTTORI E QUADRI LATO MESSINA	<i>Codice documento</i> SS1167_F0.doc	<i>Rev</i> 0	<i>Data</i> 24/03/2011

$$S_p = \frac{\sqrt{I^2 \cdot t}}{K}$$

dove:

- S_p è la sezione del conduttore di protezione (mm^2);
- I è il valore efficace della corrente di guasto che può percorrere il conduttore di protezione per un guasto di impedenza trascurabile (A);
- t è il tempo di intervento del dispositivo di protezione (s);
- K è un fattore il cui valore dipende dal materiale del conduttore di protezione, dell'isolamento e di altre parti.

Se il risultato della formula non è una sezione unificata, viene presa una unificata immediatamente superiore.

In entrambi i casi si deve tener conto, per quanto riguarda la sezione minima, del paragrafo 543.1.3.

Esso afferma che la sezione di ogni conduttore di protezione che non faccia parte della condutture di alimentazione non deve essere, in ogni caso, inferiore a:

- 2,5 mm^2 se è prevista una protezione meccanica;
- 4 mm^2 se non è prevista una protezione meccanica;

6.2.6 Calcolo della temperatura dei cavi

La valutazione della temperatura dei cavi si esegue in base alla corrente di impiego e alla corrente nominale tramite le seguenti espressioni:

$$T_{cavo}(I_b) = T_{ambiente} + \left(\alpha_{cavo} \cdot \frac{I_b^2}{I_z^2} \right)$$

$$T_{cavo}(I_n) = T_{ambiente} + \left(\alpha_{cavo} \cdot \frac{I_n^2}{I_z^2} \right)$$

espresso in $^{\circ}\text{C}$.

Esse derivano dalla considerazione che la sovratemperatura del cavo a regime è proporzionale alla potenza in esso dissipata.

Il coefficiente α_{cavo} è vincolato dal tipo di isolamento del cavo e dal tipo di tabella di posa che si sta usando.

		Ponte sullo Stretto di Messina PROGETTO DEFINITIVO	
RELAZIONE DI CALCOLO DIMENSIONAMENTO E VERIFICA CAVI, INTERRUTTORI E QUADRI LATO MESSINA	<i>Codice documento</i> SS1167_F0.doc	<i>Rev</i> F0	<i>Data</i> 20/06/2011

6.3 Cadute di tensione

La caduta di tensione in una linea percorsa dalla corrente I_b è rappresentata dalla formula seguente:

$$\Delta V = k_{cdt} \cdot I_b \cdot \sqrt{(R_L \cdot L_c)^2 + (X_L \cdot L_c)^2}$$

dove

- R_L = resistenza alla temperatura di funzionamento (per unità di lunghezza);
- X_L = reattanza della linea (per unità di lunghezza);
- k_{cdt} = coefficiente pari a 2 per i sistemi monofase e 1.73 per i sistemi monofase.

I parametri R_L e X_L per i cavi sono ricavati dalla tabella 35023 in funzione della tipologia (unipolare/multipolare) ed alla sezione dei conduttori (espressi in unità di lunghezza).

Il calcolo può essere anche essere semplificato secondo la seguente formula seguente:

$$cdt(I_b) = k_{cdt} \cdot I_b \cdot L_c \cdot (R_L \cdot \cos \varphi + X_L \cdot \sin \varphi)$$

Nei calcoli di verifica, il carico è ipotizzato concentrato a fondo della linea per le utenze singole e distribuito lungo la linea per le utenze multiple alimentate da dorsali.

La caduta di tensione da monte a valle (totale) di una utenza è determinata come somma vettoriale delle cadute di tensione, riferite ad un solo conduttore.

Nel caso in cui siano presenti trasformatori, il calcolo della caduta di tensione tiene conto della caduta interna e della presenza di eventuali prese di regolazione del rapporto spire.

La caduta di tensione percentuale è riferita alla tensione nominale dell'utenza in esame.

La verifica prevede il confronto tra il valore massimo calcolato nelle tre fasi e il limiti prestabiliti dalla Norma CEI 64-8 (par. 525).

6.4 Rifasamento

		Ponte sullo Stretto di Messina PROGETTO DEFINITIVO		
RELAZIONE DI CALCOLO DIMENSIONAMENTO E VERIFICA CAVI, INTERRUTTORI E QUADRI LATO MESSINA		<i>Codice documento</i> SS1167_F0.doc	<i>Rev</i> 0	<i>Data</i> 24/03/2011

Dato un carico che assorbe la potenza attiva P_n e la potenza reattiva Q , per diminuire φ e quindi aumentare $\cos \varphi$ senza variare P_n (cioè per passare a $\Theta < \varphi$), si deve introdurre una potenza Q_{rif} di segno opposto a quello di Q , tale che:

$$Q_{rif} = P_n \cdot (\tan \varphi - \tan \Theta)$$

nella quale Θ è l'angolo corrispondente al fattore di potenza a cui si vuole rifasare. Tale valore oscilla tra 0.8 e 0.9 a seconda delle esigenze progettuali.

Il rifasamento può essere eseguito in due modalità:

- distribuito;
- centralizzato.

Tale scelta va valutata al fine di ottimizzare i costi ed i risultati finali, quindi le batterie di condensatori potranno essere inseriti localmente in parallelo ad un carico terminale, oppure centralizzato per rifasare un determinato nodo della rete.

Se la rete dispone di trasformatori, possono essere inserite anche batterie di rifasamento a valle degli stessi per compensare l'energia reattiva assorbita a vuoto dalla macchina.

La corrente nominale della batteria di condensatori viene calcolata tramite la:

$$I_{nc} = \frac{Q_{rif}}{k_{ca} \cdot V_n}$$

Le correnti nominali e di taratura delle protezioni devono tenere conto (CEI 33-5) che ogni batteria di condensatori può sopportare costantemente un sovraccarico del 30% dovuto alle armoniche; inoltre deve essere ammessa una tolleranza del +15% sul valore reale della capacità dei condensatori. Pertanto la corrente nominale dell'interruttore deve essere almeno di $I_{tarth}=1.53 I_{nc}$.

Infine la taratura della protezione magnetica non dovrà essere inferiore a $I_{tarmag}= 10 I_{nc}$

6.5 Calcolo dei guasti

Le tipologie di guasto considerate, sulla base della modellizzazione delle apparecchiature che compongono la rete, sono le seguenti:

- guasto trifase (simmetrico);
- guasto bifase (disimmetrico);
- guasto fase terra (disimmetrico);

		Ponte sullo Stretto di Messina PROGETTO DEFINITIVO		
RELAZIONE DI CALCOLO DIMENSIONAMENTO E VERIFICA CAVI, INTERRUTTORI E QUADRI LATO MESSINA		<i>Codice documento</i> SS1167_F0.doc	<i>Rev</i> F0	<i>Data</i> 20/06/2011

- guasto fase neutro (disimmetrico).

Per i diversi casi, i risultati del calcolo riguardano le correnti di cortocircuito minime e massime immediatamente a valle della protezione dell'utenza (inizio linea) e a valle dell'utenza (fondo linea).

I parametri alle sequenze di ogni utenza vengono inizializzati da quelli corrispondenti della utenza a monte e, a loro volta, inizializzano i parametri della linea a valle.

Nel seguito è riportato il metodo di calcolo utilizzato, con particolare riferimento a quanto indicato nella norma CEI 11-25. Qualora si ritenga necessario, nei casi specifici, sono talvolta introdotte alcune approssimazioni, sotto opportune ipotesi, per mezzo di formule semplificate.

6.5.1 Modellizzazione delle apparecchiature in rete

6.5.1.1 Trasformatori

Le caratteristiche dei trasformatori in rete sono ricavate a partire dai seguenti dati di targa:

- Potenza nominale Pn (in kVA);
- Perdite di cortocircuito Pcc (in W);
- Tensione di cortocircuito vcc (in %)
- Rapporto tra la corrente di inserzione e la corrente nominale Iir/Irt;
- Rapporto tra la impedenza alla sequenza omopolare e quella di corto circuito;
- Tipo di collegamento;
- Tensione nominale del primario V1 (in kV);
- Tensione nominale del secondario V02 (in V).

Impedenza di cortocircuito del trasformatore espressa in mΩ:

$$Z_{cct} = \frac{v_{cc}}{100} \cdot \frac{V_{02}^2}{P_n}$$

Resistenza di cortocircuito del trasformatore espressa in mΩ:

		Ponte sullo Stretto di Messina PROGETTO DEFINITIVO
RELAZIONE DI CALCOLO DIMENSIONAMENTO E VERIFICA CAVI, INTERRUTTORI E QUADRI LATO MESSINA	<i>Codice documento</i> SS1167_F0.doc	<i>Rev</i> 0 <i>Data</i> 24/03/2011

$$R_{cct} = \frac{P_{cc}}{1000} \cdot \frac{V_{02}^2}{P_n^2}$$

Reattanza di cortocircuito del trasformatore espressa in mΩ:

$$X_{cct} = \sqrt{Z_{cct}^2 - R_{cct}^2}$$

L'impedenza a vuoto omopolare del trasformatore viene ricavata dal rapporto con l'impedenza di cortocircuito dello stesso:

$$Z_{vot} = Z_{cct} \cdot \left(\frac{Z_{vot}}{Z_{cct}} \right)$$

dove il rapporto Z_{vot}/Z_{cct} vale usualmente 10-20.

In uscita al trasformatore si otterranno pertanto i parametri alla sequenza diretta, in mΩ:

$$Z_d = |\dot{Z}_{cct}| = \sqrt{R_d^2 + X_d^2}$$

nella quale:

$$\begin{aligned} R_d &= R_{cct} \\ X_d &= X_{cct} \end{aligned}$$

I parametri alla sequenza omopolare dipendono invece dal tipo di collegamento del trasformatore in quanto, in base ad esso, abbiamo un diverso circuito equivalente.

Pertanto, se il trasformatore è collegato triangolo/stella (Dy), si ha:

$$R_{ot} = R_{cct} \cdot \frac{\left(\frac{Z_{vot}}{Z_{cct}} \right)}{1 + \left(\frac{Z_{vot}}{Z_{cct}} \right)}$$

$$X_{ot} = X_{cct} \cdot \frac{\left(\frac{Z_{vot}}{Z_{cct}} \right)}{1 + \left(\frac{Z_{vot}}{Z_{cct}} \right)}$$

		Ponte sullo Stretto di Messina PROGETTO DEFINITIVO	
RELAZIONE DI CALCOLO DIMENSIONAMENTO E VERIFICA CAVI, INTERRUTTORI E QUADRI LATO MESSINA	<i>Codice documento</i> SS1167_F0.doc	<i>Rev</i> F0	<i>Data</i> 20/06/2011

$$Z_{ot} = Z_{cct} \cdot \frac{\left(\frac{Z_{vot}}{Z_{cct}} \right)}{1 + \left(\frac{Z_{vot}}{Z_{cct}} \right)}$$

Diversamente, se il trasformatore è collegato stella/stella (Yy) si ha:

$$R_{ot} = R_{cct} \cdot \left(\frac{Z_{vot}}{Z_{cct}} \right)$$

$$X_{ot} = X_{cct} \cdot \left(\frac{Z_{vot}}{Z_{cct}} \right)$$

$$Z_{ot} = Z_{cct} \cdot \left(\frac{Z_{vot}}{Z_{cct}} \right)$$

Fattore di correzione per trasformatori, CEI 11-25 (3.3.3)

Per i trasformatori a due avvolgimenti, con e senza variazione sotto carico, si deve introdurre un fattore di correzione di impedenza K_T tale che:

$$\begin{aligned} Z_{cctK} &= K_T \cdot Z_{cct} \\ Z_{otK} &= K_T \cdot Z_{ot} \\ K_T &= 0,95 \cdot \frac{c_{\max}}{1 + 0,6 \cdot x_T} \end{aligned}$$

dove la reattanza relativa del trasformatore è calcolata con la formula seguente:

$$x_T = \frac{X_{cct}}{\sqrt{V_{02}^2 / P_n}}$$

Tale fattore deve essere applicato sia alla impedenza diretta che a quelle omopolari e non va applicato nel caso di autotrasformatori.

6.5.1.2 Generatori

Le caratteristiche dei generatori in rete sono ricavate a partire dai seguenti dati di targa:

		Ponte sullo Stretto di Messina PROGETTO DEFINITIVO	
RELAZIONE DI CALCOLO DIMENSIONAMENTO E VERIFICA CAVI, INTERRUTTORI E QUADRI LATO MESSINA	<i>Codice documento</i> SS1167_F0.doc	<i>Rev</i> 0	<i>Data</i> 24/03/2011

- potenza nominale P_n (in kVA);
- reattanza sincrona percentuale x_S ;
- reattanza subtransitoria percentuale x'' ;
- rapporto tra l'impedenza omopolare e l'impedenza sincrona Z_{og}/Z_S .

L'impedenza subtransitoria si calcola con la formula:

$$X'' = \frac{x''}{100} \cdot \frac{V_{02}^2}{P_n}$$

dalla quale si ricavano le componenti alla sequenza diretta:

$$\begin{aligned} R_d &= 0 \\ X_d &= X'' \end{aligned}$$

La componente resistiva si trascura rispetto alla componente reattiva del generatore.

L'impedenza sincrona si calcola con la formula:

$$X_S = \frac{x_S}{100} \cdot \frac{V_{02}^2}{P_n}$$

Dalla quale, tramite il rapporto Z_{og}/Z_S , si ricavano le componenti omopolari:

$$\begin{aligned} R_0 &= 0 \\ X_0 &= \frac{Z_{og}}{Z_S} \cdot X_S \end{aligned}$$

6.5.1.3 Motori asincroni

Le caratteristiche dei motori asincroni in rete sono ricavate a partire dai seguenti dati di targa:

- Urm tensione nominale del motore [V] (concatenata per motori trifasi, di fase per motori monofasi collegati fase neutro o fase fase);
- Irm corrente nominale del motore [A];
- Srm potenza elettrica apparente nominale [kVA];
- P numero di coppie polari;

**RELACIONE DI CALCOLO
DIMENSIONAMENTO E VERIFICA CAVI,
INTERRUTTORI E QUADRI LATO MESSINA**

Codice documento
SS1167_F0.doc

Rev
F0

Data
20/06/2011

- I_{lr}/I_{rm} rapporto tra la corrente a motore bloccato (di c.c.) e la corrente nominale del motore;
- Fattore di potenza allo spunto.
- Possibilità di avviamento stella/triangolo per i motori trifasi, per cui si diminuisce I_{lr}/I_{rm} di 3.

L'impedenza del motore si calcola con la formula:

$$Z_M = \frac{1}{I_{lr}/I_{rm}} \cdot \frac{U_{rm}^2}{S_{rm}}$$

Per i motori asincroni si considera la corrente di interruzione i_b tenendo conto del tempo di ritardo di default pari a 0.02s. per calcolare i coefficienti m e μ .

Il coefficiente m si calcola secondo la seguente tabella:

$\mu = 0.84 + 0.26 \cdot e^{-0.26(I_{lr}/I_{rm})}$	$t_{\min} = 0.02 s$
$\mu = 0.71 + 0.51 \cdot e^{-0.30(I_{lr}/I_{rm})}$	$t_{\min} = 0.05 s$
$\mu = 0.62 + 0.72 \cdot e^{-0.32(I_{lr}/I_{rm})}$	$t_{\min} = 0.10 s$
$\mu = 0.56 + 0.94 \cdot e^{-0.38(I_{lr}/I_{rm})}$	$t_{\min} \geq 0.25 s$

se $I_{lr}/I_{rm} \leq 2$ allora $\mu = 1$.

Per il coefficiente q si deve prendere la potenza attiva meccanica espressa in MW e dividerla per il numero di coppie polari P al fine di ottenere la variabile m :

$$m = \frac{S_{rm} \cdot \cos \varphi \cdot \eta}{1000 \cdot P}$$

con $\cos \varphi$ fattore di potenza e η rendimento del motore.

Quindi:

$q = 1.03 + 0.12 \cdot \ln m$	$t_{\min} = 0.02 s$
$q = 0.79 + 0.12 \cdot \ln m$	$t_{\min} = 0.05 s$
$q = 0.57 + 0.12 \cdot \ln m$	$t_{\min} = 0.10 s$
$q = 0.26 + 0.10 \cdot \ln m$	$t_{\min} \geq 0.25 s$

Se $q > 1$ si pone $q=1$.

Si divide Z_M per i coefficienti μ e q per ottenere l'impedenza equivalente vista al momento del guasto:

$$Z_{Mib} = \frac{Z_M}{\mu \cdot q}$$

Da cui, a seconda della tensione e della potenza del motore, si possono avere:

$X_M = 0.995 \cdot Z_{Mib}$ $R_M = 0.10 \cdot X_M$	per motori a media tensione con potenza P_{rm} per coppie di poli ≥ 1 MW
$X_M = 0.989 \cdot Z_{Mib}$ $R_M = 0.15 \cdot X_M$	per motori a media tensione con potenza P_{rm} per coppie di poli < 1 MW
$X_M = 0.922 \cdot Z_{Mib}$ $R_M = 0.42 \cdot X_M$	per motori a bassa tensione

Per le componenti alle sequenze si considerano le sole componenti dirette mentre quelle omopolari non vengono considerate, in quanto il contributo ai guasti lo danno solo i motori trifasi. Essi contribuiscono ai guasti trifasi e a quelli bifasi nelle utenze trifasi e bifasi.

$$R_d = R_M$$

$$X_d = X_M$$

6.5.2 Calcolo delle correnti massime di cortocircuito

Le condizioni di calcolo sono le seguenti:

- tensione di alimentazione nominale valutata con fattore di tensione Cmax (CEI 11-25 tab.1);
- impedenza di guasto minima, calcolata alla temperatura di 20°C.

La resistenza diretta, del conduttore di fase e di quello di protezione, viene riportata a 20 °C, partendo dalla resistenza a 80 °C, data dalle tabelle UNEL 35023-70, per cui esprimendola in mΩ risulta:

$$R_{dcavo} = \frac{R_{cavo}}{1000} \cdot \frac{L_{cavo}}{1000} \cdot \left(\frac{1}{1 + (60 \cdot 0.004)} \right)$$

Nota poi dalle stesse tabelle la reattanza a 50 Hz, se f è la frequenza d'esercizio, risulta:

		Ponte sullo Stretto di Messina PROGETTO DEFINITIVO	
RELACIONE DI CALCOLO DIMENSIONAMENTO E VERIFICA CAVI, INTERRUTTORI E QUADRI LATO MESSINA	<i>Codice documento</i> SS1167_F0.doc	<i>Rev</i> F0	<i>Data</i> 20/06/2011

$$X_{dcavo} = \frac{X_{cavo}}{1000} \cdot \frac{L_{cavo}}{1000} \cdot \frac{f}{50}$$

L'impedenza di guasto minima a fine utenza è ricavata dalla somma dei parametri diretti di cui sopra con quelli relativi all'utenza a monte.

Per le utenze in condotto in sbarre, le componenti della sequenza diretta sono:

$$R_{dsbarra} = \frac{R_{sbarra}}{1000} \cdot \frac{L_{sbarra}}{1000}$$

La reattanza è invece:

$$X_{dsbarra} = \frac{X_{sbarra}}{1000} \cdot \frac{L_{sbarra}}{1000} \cdot \frac{f}{50}$$

Per le utenze con impedenza nota, le componenti della sequenza diretta sono i valori stessi di resistenza e reattanza dell'impedenza.

Per quanto riguarda i parametri alla sequenza omopolare, occorre distinguere tra conduttore di neutro e conduttore di protezione.

Per il conduttore di neutro si ottengono da quelli diretti tramite le:

$$\begin{aligned} R_{0cavoneutro} &= R_{dcavo} + 3 \cdot R_{dcavoneutro} \\ X_{0cavoneutro} &= 3 \cdot X_{dcavo} \end{aligned}$$

Per il conduttore di protezione, invece, si ottiene:

$$\begin{aligned} R_{0cavope} &= R_{dcavo} + 3 \cdot R_{dcavope} \\ X_{0cavope} &= 3 \cdot X_{dcavo} \end{aligned}$$

dove le resistenze $R_{dcavoneutro}$ e $R_{dcavope}$ vengono calcolate come la R_{dcavo} .

Per le utenze in condotto in sbarre, le componenti della sequenza omopolare sono distinte tra conduttore di neutro e conduttore di protezione.

Per il conduttore di neutro si ha:

		Ponte sullo Stretto di Messina PROGETTO DEFINITIVO
RELACIONE DI CALCOLO DIMENSIONAMENTO E VERIFICA CAVI, INTERRUTTORI E QUADRI LATO MESSINA	<i>Codice documento</i> SS1167_F0.doc	<i>Rev</i> 0 <i>Data</i> 24/03/2011

$$R_{0sbarraNeutro} = R_{dsbarra} + 3 \cdot R_{dsbarraNeutro}$$

$$X_{0sbarraNeutro} = 3 \cdot X_{dsbarra}$$

Per il conduttore di protezione viene utilizzato il parametro di reattanza dell'anello di guasto fornito dai costruttori:

$$R_{0sbarraPE} = R_{dsbarra} + 3 \cdot R_{dsbarraPE}$$

$$X_{0sbarraPE} = 2 \cdot X_{anello_guasto}$$

I parametri di ogni utenza vengono sommati con i parametri, alla stessa sequenza, della utenza a monte, espressi in $\text{m}\Omega$:

$$R_d = R_{dcavo} + R_{dmonte}$$

$$X_d = X_{dcavo} + X_{dmonte}$$

$$R_{0Neutro} = R_{0cavoneutro} + R_{0montoneutro}$$

$$X_{0Neutro} = X_{0cavoneutro} + X_{0montoneutro}$$

$$R_{0PE} = R_{0cavope} + R_{0montope}$$

$$X_{0PE} = X_{0cavope} + X_{0montope}$$

Per le utenze in condotto in sbarre basta sostituire *sbarra* a *cavo*.

Ai valori totali vengono sommate anche le impedenze della fornitura.

Noti questi parametri vengono calcolate le impedenze (in $\text{m}\Omega$) di guasto trifase:

$$Z_{k\min} = \sqrt{R_d^2 + X_d^2}$$

Fase neutro (se il neutro è distribuito):

$$Z_{k1Neutromin} = \frac{1}{3} \cdot \sqrt{(2 \cdot R_d + R_{0Neutro})^2 + (2 \cdot X_d + X_{0Neutro})^2}$$

Fase terra:

$$Z_{k1PE\min} = \frac{1}{3} \cdot \sqrt{(2 \cdot R_d + R_{0PE})^2 + (2 \cdot X_d + X_{0PE})^2}$$

Da queste si ricavano le correnti di cortocircuito trifase I_{kmax} , fase neutro $I_{k1Neutromax}$, fase terra

		Ponte sullo Stretto di Messina PROGETTO DEFINITIVO	
RELAZIONE DI CALCOLO DIMENSIONAMENTO E VERIFICA CAVI, INTERRUTTORI E QUADRI LATO MESSINA	<i>Codice documento</i> SS1167_F0.doc	<i>Rev</i> F0	<i>Data</i> 20/06/2011

$I_{k1PEmax}$ e bifase I_{k2max} espresse in kA:

$$I_{k\max} = \frac{V_n}{\sqrt{3} \cdot Z_{k\min}}$$

$$I_{k1Neutromax} = \frac{V_n}{\sqrt{3} \cdot Z_{k1Neutromin}}$$

$$I_{k1PEmax} = \frac{V_n}{\sqrt{3} \cdot Z_{k1PEmin}}$$

$$I_{k2max} = \frac{V_n}{2 \cdot Z_{k\min}}$$

Infine dai valori delle correnti massime di guasto si ricavano i valori di cresta delle correnti (CEI 11-25 par. 9.1.1.):

$$I_p = \kappa \cdot \sqrt{2} \cdot I_{k\max}$$

$$I_{p1Neutro} = \kappa \cdot \sqrt{2} \cdot I_{k1Neutromax}$$

$$I_{p1PE} = \kappa \cdot \sqrt{2} \cdot I_{k1PEmax}$$

$$I_{p2} = \kappa \cdot \sqrt{2} \cdot I_{k2max}$$

dove:

$$\kappa \approx 1.02 + 0.98 \cdot e^{-\frac{R_d}{X_d}}$$

6.5.3 Calcolo delle correnti minime di cortocircuito

Il calcolo delle correnti di cortocircuito minime viene condotto come descritto nella norma CEI 11.25 par 2.5.

La tensione nominale viene moltiplicata per il fattore di tensione c_{min} di cui alla tab. 1 della norma CEI 11-25.

Per la temperatura dei conduttori ci si riferisce al rapporto Cenelec R064-003, per cui vengono

determinate le resistenze alla temperatura limite dell'isolante in servizio ordinario dal cavo. Essa viene indicata dalla norma CEI 64-8/4 par 434.3 nella quale sono riportate in relazione al tipo di isolamento del cavo, precisamente:

- | | |
|--------------------------------|--------------|
| ▪ isolamento in PVC | Tmax = 70°C |
| ▪ isolamento in G | Tmax = 85°C |
| ▪ isolamento in G5/G7 | Tmax = 90°C |
| ▪ isolamento serie L rivestito | Tmax = 70°C |
| ▪ isolamento serie L nudo | Tmax = 105°C |
| ▪ isolamento serie H rivestito | Tmax = 70°C |
| ▪ isolamento serie H nudo | Tmax = 105°C |

Da queste è possibile calcolare le resistenze alla sequenza diretta e omopolare alla temperatura relativa all'isolamento del cavo:

$$R_{d\ max} = R_d \cdot (1 + 0.004 \cdot (T_{max} - 20))$$

$$R_{0Neutro} = R_{0Neutro} \cdot (1 + 0.004 \cdot (T_{max} - 20))$$

$$R_{0PE} = R_{0PE} \cdot (1 + 0.004 \cdot (T_{max} - 20))$$

Queste, sommate alle resistenze a monte, determinano le resistenze minime.

Valutate le impedanze mediante le stesse espressioni delle impedanze di guasto massime, si possono calcolare le correnti di cortocircuito trifase I_{k1min} e fase terra , espresse in kA:

$$I_{k\ min} = \frac{0.95 \cdot V_n}{\sqrt{3} \cdot Z_{k\ max}}$$

$$I_{k1Neutr\omin} = \frac{0.95 \cdot V_n}{\sqrt{3} \cdot Z_{k1Neutr\omax}}$$

$$I_{k1PE\min} = \frac{0.95 \cdot V_n}{\sqrt{3} \cdot Z_{k1PE\max}}$$

$$I_{k2\min} = \frac{0.95 \cdot V_n}{2 \cdot Z_{k\max}}$$

6.6 Verifica della protezione a cortocircuito delle condutture

		Ponte sullo Stretto di Messina PROGETTO DEFINITIVO	
RELAZIONE DI CALCOLO DIMENSIONAMENTO E VERIFICA CAVI, INTERRUTTORI E QUADRI LATO MESSINA	<i>Codice documento</i> SS1167_F0.doc	<i>Rev</i> F0	<i>Data</i> 20/06/2011

6.6.1 Generalità

Secondo la norma 64-8 par.434.3 "Caratteristiche dei dispositivi di protezione contro i cortocircuiti.", le caratteristiche delle apparecchiature di protezione contro i cortocircuiti devono soddisfare a due condizioni:

- il potere di interruzione non deve essere inferiore alla corrente di cortocircuito presunta nel punto di installazione (a meno di protezioni adeguate a monte);
- la caratteristica di intervento deve essere tale da impedire che la temperatura del cavo non oltrepassi, in condizioni di guasto in un punto qualsiasi, la massima consentita.

La prima condizione viene considerata in fase di scelta delle protezioni. La seconda invece può essere tradotta nella relazione:

$$I^2 \cdot t \leq K^2 S^2$$

dove:

- I: corrente di corto circuito [A] espressa in valore efficace
- t: durata del corto circuito
- S: sezione del conduttore [mm^2]
- K: coefficiente che dipende dal tipo di cavo e dall'isolamento (descritto nei paragrafi successivi)

Pertanto, l'energia specifica sopportabile dal cavo deve essere maggiore o uguale a quella lasciata passare dalla protezione.

La norma CEI al par. 533.3 "Scelta dei dispositivi di protezioni contro i cortocircuiti" prevede pertanto un confronto tra le correnti di guasto minima (a fondo linea) e massima (inizio linea) con i punti di intersezione tra le curve. Le condizioni sono pertanto:

- Le intersezioni sono due:
 - $I_{ccmin} \geq I_{inters\ min}$ (quest'ultima riportata nella norma come Ia);
 - $I_{ccmax} \leq I_{inters\ max}$ (quest'ultima riportata nella norma come Ib).
- L'intersezione è unica o la protezione è costituita da un fusibile:
 - $I_{ccmin} \geq I_{inters\ min}$.
- L'intersezione è unica e la protezione comprende un magnetotermico:
 - $I_{cc\ max} \leq I_{inters\ max}$.

		Ponte sullo Stretto di Messina PROGETTO DEFINITIVO		
RELAZIONE DI CALCOLO DIMENSIONAMENTO E VERIFICA CAVI, INTERRUTTORI E QUADRI LATO MESSINA		<i>Codice documento</i> SS1167_F0.doc	<i>Rev</i> 0	<i>Data</i> 24/03/2011

Sono pertanto verificate le relazioni in corrispondenza del guasto, calcolato, minimo e massimo.

6.6.2 Integrale di Joule

La verifica a corto circuito, come riportato nel paragrafo precedente, fa riferimento al calcolo dell'integrale di Joule:

$$I^2 \cdot t = K^2 \cdot S^2$$

La costante K viene data dalla norma 64-8/4 (par. 434.3), per i conduttori di fase e neutro e, dal paragrafo 64-8/5 (par. 543.1), per i conduttori di protezione in funzione al materiale conduttore e al materiale isolante. Per i cavi ad isolamento minerale le norme attualmente sono allo studio, i paragrafi sopracitati riportano però nella parte commento dei valori prudenziali.

I valori di K riportati dalla norma sono per i conduttori di fase (par. 434.3):

Cavo in rame e isolato in PVC:	K = 115
Cavo in rame e isolato in gomma G:	K = 135
Cavo in rame e isolato in gomma etilenpropilenica G5-G7:	K = 143
Cavo in rame serie L rivestito in materiale termoplastico:	K = 115
Cavo in rame serie L nudo:	K = 200
Cavo in rame serie H rivestito in materiale termoplastico:	K = 115
Cavo in rame serie H nudo:	K = 200
Cavo in alluminio e isolato in PVC:	K = 74
Cavo in alluminio e isolato in G, G5-G7:	K = 87

I valori di K per i conduttori di protezione unipolari (par. 543.1) tab. 54B:

Cavo in rame e isolato in PVC:	K = 143
Cavo in rame e isolato in gomma G:	K = 166
Cavo in rame e isolato in gomma G5-G7:	K = 176
Cavo in rame serie L rivestito in materiale termoplastico:	K = 143
Cavo in rame serie L nudo:	K = 228
Cavo in rame serie H rivestito in materiale termoplastico:	K = 143

		Ponte sullo Stretto di Messina PROGETTO DEFINITIVO	
RELACIONE DI CALCOLO DIMENSIONAMENTO E VERIFICA CAVI, INTERRUTTORI E QUADRI LATO MESSINA	<i>Codice documento</i> SS1167_F0.doc	<i>Rev</i> F0	<i>Data</i> 20/06/2011

Cavo in rame serie H nudo:	K = 228
Cavo in alluminio e isolato in PVC:	K = 95
Cavo in alluminio e isolato in gomma G:	K = 110
Cavo in alluminio e isolato in gomma G5-G7:	K = 116

I valori di K per i conduttori di protezione in cavi multipolari (par. 543.1) tab. 54C:

Cavo in rame e isolato in PVC:	K = 115
Cavo in rame e isolato in gomma G:	K = 135
Cavo in rame e isolato in gomma G5-G7:	K = 143
Cavo in rame serie L rivestito in materiale termoplastico:	K = 115
Cavo in rame serie L nudo:	K = 228
Cavo in rame serie H rivestito in materiale termoplastico:	K = 115
Cavo in rame serie H nudo:	K = 228
Cavo in alluminio e isolato in PVC:	K = 76
Cavo in alluminio e isolato in gomma G:	K = 89
Cavo in alluminio e isolato in gomma G5-G7:	K = 94

6.6.3 Massima lunghezza protetta

Il calcolo della massima lunghezza protetta è eseguito mediante il criterio proposto dalla norma CEI 64-8 al paragrafo 533.3, secondo cui la corrente di cortocircuito presunta è calcolata come:

$$I_{cto} = \frac{0.8 \cdot U}{1.5 \cdot \rho \cdot (1+m) \cdot \frac{L_{max\ prot}}{S_f}}$$

partendo da essa e nota la taratura magnetica della protezione è possibile calcolare la massima lunghezza del cavo protetta in base ad essa.

Pertanto:

$$L_{max\ prot} = \frac{0.8 \cdot U}{1.5 \cdot \rho \cdot (1+m) \cdot \frac{I_{cto}}{S_f}}$$

		Ponte sullo Stretto di Messina PROGETTO DEFINITIVO	
RELAZIONE DI CALCOLO DIMENSIONAMENTO E VERIFICA CAVI, INTERRUTTORI E QUADRI LATO MESSINA	<i>Codice documento</i> SS1167_F0.doc	<i>Rev</i> 0	<i>Data</i> 24/03/2011

Dove:

- U : è la tensione concatenata per i neutro non distribuito e di fase per neutro distribuito;
- ρ : è la resistività a 20°C del conduttore;
- m : rapporto tra sezione del conduttore di fase e di neutro (se composti dello stesso materiale);
- I_{mag} : taratura della magnetica.

Viene tenuto conto, inoltre, dei fattori di riduzione (per la reattanza):

- 0.9 per sezioni di 120 mm²;
- 0.85 per sezioni di 150 mm²;
- 0.8 per sezioni di 185 mm²;
- 0.75 per sezioni di 240 mm²;

Per ulteriori dettagli si veda norma CEI 64-8 par.533.3 sezione commenti.

6.7 Verifica contatti indiretti

La verifica della protezione contro i contatti indiretti è eseguita secondo i criteri descritti dalla Norma CEI 64-8 e di seguito riportati, relativamente ai diversi sistemi di distribuzione.

Per assicurare la protezione contro i contatti indiretti mediante interruzione automatica del circuito è necessario adottare i seguenti accorgimenti:

- Collegamento a terra di tutte le masse metalliche;
- Collegamento al collettore di terra dell'edificio dei conduttori di protezione, delle masse estranee (ad esempio: le delle tubazioni metalliche entranti nel fabbricato) tramite collegamenti equipotenziali principali e supplementari.

6.7.1 Sistema di distribuzione TN

La protezione contro i contatti indiretti, in un sistema TN, deve essere garantita mediante una o più delle seguenti misure:

- Tempestivo intervento delle protezioni di massima corrente degli interruttori preposti alla protezione delle linee e, laddove ciò non risultasse possibile, tramite protezioni di tipo

differenziale

- Utilizzo di componenti di classe II
- Realizzazione di separazione elettrica con l'uso di trasformatore di isolamento

Nel primo caso, affinché sia verificata la protezione contro i contatti indiretti, è necessario che in ogni punto dell'impianto sia rispettata la condizione:

$$I_a \leq \frac{U_0}{Z_g}$$

dove:

- U_0 è la tensione di fase (stellata)
- Z_g è l'impedenza dell'anello di guasto
- I_a è la corrente di intervento entro i tempi previsti dalla Norma

I tempi di intervento (dipendenti dalla tensione nominale), sono indicati nella tabella seguente (rif. CEI 64-8/4 tab.41A):

$U_0[V]$	Tempi di interruzione [s]
120	0.8
230	0.4
400	0.2
>400	0.1

I dati in tabella sono validi per circuiti terminali protetti da dispositivi con corrente nominale non superiore a 32 A.

Tempi di interruzione convenzionali non superiori a 5 s sono ammessi negli altri casi.

Se il dispositivo di protezione è equipaggiato con una protezione differenziale, la corrente utilizzata per la verifica è la soglia di intervento nominale del dispositivo differenziale.

6.8 Calcoli dimensionali linee BT

I calcoli e le verifiche delle linee BT sono stati condotti con software dedicato AMPERE PROFESSIONAL® (versione 2009 - 7.3.5.), che tiene conto dei vincoli e dei procedimenti sopra indicati.

		Ponte sullo Stretto di Messina PROGETTO DEFINITIVO		
RELAZIONE DI CALCOLO DIMENSIONAMENTO E VERIFICA CAVI, INTERRUTTORI E QUADRI LATO MESSINA		<i>Codice documento</i> SS1167_F0.doc	<i>Rev</i> 0	<i>Data</i> 24/03/2011

Il software si caratterizza per le seguenti funzioni principali:

- simulazione e dimensionamento reti BT
- dimensionamento cavi BT secondo norme CEI 64-8
- dimensionamento condotti sbarre
- determinazione della potenza dissipata dalle reti
- equilibratura dei carichi monofase
- verifica linee e protezioni
- tarature e coordinamento delle protezioni
- verifica termica dei quadri elettrici

I report di calcolo delle linee BT sono riportati nell'Allegato 1

7 Dimensionamento rete MT

7.1 Protezione da sovraccarico

Per il calcolo della sezione dei conduttori delle linee si utilizzerà il seguente procedimento:

- determinazione della corrente di impiego I_b dei circuiti a partire dalle potenze assorbite da ciascuna utenza e tenendo conto dei relativi fattori di utilizzo e di contemporaneità.
- scelta della sezione del cavo in maniera tale che risulti:

$$I_b \leq I_z$$

dove:

I_b = corrente di impiego della linea;

I_z = portata della conduttura.

- determinazione della corrente di taratura della soglia di sovraccarico della protezione di massima corrente di media tensione a protezione della linea in cavo, inferiore alla I_z ;

Nella determinazione della portata I_z dei cavi in regime permanente si considerano gli opportuni coefficienti di riduzione relativi al cambiamento delle condizioni di riferimento nella posa, utilizzando la seguente espressione:

$$I_z = I_0 \cdot k_1 \cdot k_2 \cdot k_3$$

dove con I_0 si indica la portata di conduttori unipolari interrati direttamente.

		Ponte sullo Stretto di Messina PROGETTO DEFINITIVO	
RELAZIONE DI CALCOLO DIMENSIONAMENTO E VERIFICA CAVI, INTERRUTTORI E QUADRI LATO MESSINA	<i>Codice documento</i> SS1167_F0.doc	<i>Rev</i> F0	<i>Data</i> 20/06/2011

k_1 = coefficiente che tiene conto della temperatura ambientale per posa interrata;

k_2 = coefficiente che tiene conto della profondità di posa;

k_3 = coefficiente che tiene conto delle condizioni di posa (più cavi o tubi affiancati).

La portata viene calcolata in base alla norma IEC 60287 per le seguenti condizioni:

- temperatura del terreno: 20°C - K1=1;
- profondità di posa: >0,60 m (resistività termica del terreno: 1 K*m/W) - K2= 1;
- una sola terna di cavi entro tubo interrato - K3 = 0,82.

7.2 Verifica della caduta di tensione

La verifica della caduta di tensione viene basata su un calcolo di load flow. Tale verifica consente di:

- valutare se la caduta di tensione eccede il limite fissato tra i dati di partenza in condizioni normali ed in condizioni di emergenza.

7.3 Tenuta termica al corto circuito massimo

Sulla base di un calcolo della corrente di corto circuito trifase massima (eseguito secondo la IEC 60909-2001) si determinano:

- la corrente massima di corto circuito che interessa il tratto di cavo;
- l'energia massima K^2S^2 tollerabile dal cavo, determinando il tempo massimo "tmax" entro il quale la protezione deve intervenire per non superarla in corrispondenza alla massima corrente di corto circuito sopra calcolata.

dove:

- K = coefficiente di dispersione del calore, dipendente dal tipo di cavo (per cavi in rame isolati con gomma etilenpropilenica e propilene reticolato, vale 143)
- S = sezione del conduttore in mm²
- I = corrente massima di guasto in A
- t = durata del guasto in s

7.4 Analisi e verifiche della rete MT

L'analisi e le verifiche della rete MT sono stati condotti con software dedicato NEPLAN® (versione. 5.4.3). Con tale software sono possibili i seguenti studi:

		Ponte sullo Stretto di Messina PROGETTO DEFINITIVO
RELAZIONE DI CALCOLO DIMENSIONAMENTO E VERIFICA CAVI, INTERRUTTORI E QUADRI LATO MESSINA	Codice documento SS1167_F0.doc	Rev 0 Data 24/03/2011

- load-flow su reti simmetriche ed asimmetriche
- load-flow con profili di carico
- correnti di corto circuito (secondo IEC 60909)
- armoniche
- selettività e coordinamento delle protezioni di massima corrente
- coordinamento protezioni distanziometriche
- verifica portata cavi
- verifica TA
- affidabilità delle reti
- stabilità transitoria
- transitori elettromagnetici
- ottimizzazione posizione batterie di rifasamento su reti MT

I report di calcolo e verifica delle reti MT sono riportati nell'Allegato 2.

		Ponte sullo Stretto di Messina PROGETTO DEFINITIVO	
RELAZIONE DI CALCOLO DIMENSIONAMENTO E VERIFICA CAVI, INTERRUTTORI E QUADRI LATO MESSINA	<i>Codice documento</i> SS1167_F0.doc	<i>Rev</i> F0	<i>Data</i> 20/06/2011

8 Dimensionamento impianti di ventilazione e climatizzazione locali tecnici

La stima del fabbisogno di potenza per il raffreddamento estivo e il riscaldamento invernale dei locali tecnici è stata effettuata in funzione delle temperature limiti ammissibili all'interno dei locali stessi, considerando la tipologia dell'involucro edilizio, le condizioni esterne estive ed invernali, gli apporti di potenza da parte di apparecchiature ed ausiliari contenuti, l'eventuale presenza di persone ed altri dati desunti dalla letteratura esistente in materia.

Quando risulti necessario raffreddare l'ambiente, la potenza sarà smaltita tramite ventilazione naturale e/o meccanica (qualora la temperatura ambiente possa superare di qualche grado la temperatura esterna massima) ovvero sarà smaltita tramite condizionatore (nel caso la temperatura ambiente debba essere mantenuta più bassa).

Quando risulti necessario riscaldare l'ambiente, la potenza sarà invece erogata da una pompa di calore o termoconvettore elettrico.

I calcoli effettuati per il dimensionamento dei ventilatori e delle macchine di condizionamento dei locali tecnici sono riassunti nell'allegato 3, organizzato con schede suddivise per locale, di cui si fornisce una breve spiegazione.

Nella prima parte di ciascuna scheda, "Dati iniziali", sono indicati i parametri termo-igrometrici di riferimento utilizzati per il calcolo (parametri esterni della località di installazione e parametri interni che si vogliono garantire), nonché le caratteristiche geometriche del locale.

Nella parte successiva, viene riportato il calcolo della potenza termica massima da smaltire nel periodo estivo (agli apporti interni dovuti alle perdite per effetto joule delle apparecchiature elettriche e/o elettroniche installate, si sommano gli eventuali apporti estivi delle strutture).

In modo analogo viene calcolata la potenza termica massima da garantire nel periodo invernale affinché la temperatura dell'ambiente non scenda sotto il valore prefissato (in questo caso, gli apporti interni devono essere sottratti alla potenza termica richiesta).

Infine, si riporta il calcolo della portata di ventilazione necessaria per garantire le prestazioni sopra indicate e i dati del relativo impianto ovvero le caratteristiche del sistema di condizionamento / riscaldamento.

8.1 Ventilazione e caratteristiche del locale batterie

Nei locali in cui sono presenti delle batterie sussiste il pericolo di esplosione dovuto all'emissione

		Ponte sullo Stretto di Messina PROGETTO DEFINITIVO		
RELAZIONE DI CALCOLO DIMENSIONAMENTO E VERIFICA CAVI, INTERRUTTORI E QUADRI LATO MESSINA		<i>Codice documento</i> SS1167_F0.doc	<i>Rev</i> 0	<i>Data</i> 24/03/2011

nell'ambiente di idrogeno, che si sprigiona a seguito dell'elettrolisi dell'acqua.

Vanno pertanto previste opportune aperture per la ventilazione, in modo da diluirne la concentrazione nei locali stessi.

Di seguito si descrivono le verifiche in accordo alla Norma EN 50272, in relazione a:

- portata d'aria di ventilazione necessaria in un locale
- superficie delle aperture di ventilazione che garantiscono la portata d'aria necessaria

La portata d'aria Q necessaria per questo scopo può essere calcolata con la seguente formula:

$$Q = 0.05 \cdot n \cdot I_{gas} \cdot C_{rt} / 1000 \quad [m^3 / h]$$

dove:

- 0.05 = coefficiente che tiene conto dell'usuale quantità di idrogeno prodotta nel processo di elettrolisi (0.42 l/h per ogni Ah), la necessaria percentuale di diluizione (<30%) e un coefficiente di sicurezza pari a 5;
- n = numero di elementi;
- Igas = corrente che produce gas [mA/Ah];
- Crt = capacità nominale della batteria [Ah].

L'area necessaria per le aperture di ventilazione è quindi:

$$S = \frac{Q}{v} \quad [m^2]$$

dove:

- Q = flusso d'aria [m³/s]
- v = velocità dell'aria per ventilazione naturale [m/s] = 0.1 m/s

Nelle immediate vicinanze di una batteria in carica, la norma EN 50272 prevede l'esistenza di una zona pericolosa che deve essere classificata secondo quanto previsto dalla Norma EN 60079-10, come zona 1.

Si definisce la distanza d, variabile con le caratteristiche delle batterie e rappresentativa di un'area attorno alle sorgenti presenti, che è calcolata con la formula seguente:

$$d = 28.8 \cdot \sqrt[3]{I_{gas}} \cdot \sqrt[3]{C_{rt}} \quad [m]$$

		Ponte sullo Stretto di Messina PROGETTO DEFINITIVO
RELAZIONE DI CALCOLO DIMENSIONAMENTO E VERIFICA CAVI, INTERRUTTORI E QUADRI LATO MESSINA	Codice documento SS1167_F0.doc	Rev F0

per batterie monoblocco con N celle per monoblocco, la distanza va moltiplicata per il coefficiente $\sqrt[3]{N}$

9 Allegati

Gli allegati sono organizzati nei seguenti documenti:

- Allegato 1: Calcoli linee BT
- Allegato 2: Dimensionamento rete di media tensione (MT)
- Allegato 3: Dimensionamento ventilazione e condizionamento locali tecnici

Allegato 1

Calcoli linee BT

Nel presente documento, per l'opera in oggetto, sono riportati i risultati di calcolo relativi ai seguenti quadri elettici di bassa tensione:

- Q_BT
- Q_CA
- Q_IL
- Q_SA
- Q_IE
- Q_VE
- Q_CV
- Q_AI
- Q_BP

Per le diverse utenze derivate dai suddetti quadri elettrici, sono riportati i seguenti dati:

- caratteristiche elettriche dell'utenza (P, I, V, $\cos \varphi$, etc.);
- caratteristiche delle condutture elettriche di alimentazione.

Inoltre, per ogni utenza, sono riportati i risultati delle principali verifiche elettriche (cadute di tensione, sovraccarico, corto circuito, coordinamento con dispositivi di protezione, etc.).

Q_BT

Sigla utenza	Pn [kW]	Coef.	Pd [kW]	Carichi	Qn [kVAr]	Qrif [kVAr]	Cos φ	Vn [V]	Sistema	Cond. att.	Ib [A]	In [A]	Iz [A]
+CABINA.Q_BT													
BT0	0	1	0	1	0	n.d.	0,9	400	TN-S	3	0	0	16,8
BT1	0	1	0	1	-50	n.d.	0	400	TN-S	3	72,2	170	187,2
BT2	150,974	1	150,974	1	73,12	n.d.	0,9	400	TN-S	3	253,1	400	404,7
BT3	36,034	1	36,034	1	21,367	n.d.	0,86	400	TN-S	3	65,2	128	133,2
BT4	712	1	712	1	344,837	n.d.	0,9	400	TN-S	3	1141,9	1600	1764
BT5	712	1	712	1	344,837	n.d.	0,9	400	TN-S	3	1141,9	1600	1764
BT6	182,239	1	182,239	1	112,873	n.d.	0,85	400	TN-S	3	326,2	360	404,7
BT7	0	1	0	1	0	n.d.	0,9	400	TN-S	3	0	360	404,7
BT8	0	1	0	1	0	n.d.	0,9	400	TN-S	3	0	400	199,2
BT9	0	1	0	1	0	n.d.	0,9	400	TN-S	3	0	400	144,9
COM	992,246	1	992,246	1	459,093	n.d.	0,98	400	TN-S	3	1609,7	1803,6	279
IGE	0	1	0	1	0	n.d.	0,9	400	TN-S	3	0	2500	2606,8
IGTR1	992,246	1	992,246	1	459,093	n.d.	0,98	400	TN-S	3	1609,7	1803,6	1039,8
IGTR2	0	1	0	1	0	n.d.	0,9	400	TN-S	3	0	2424,9	1039,8

Legenda

Pn: potenza nominale dei carichi a valle dell'utenza.

Pd: potenza di dimensionamento dell'utenza.

Qn: potenza rettiva dei carichi a valle dell'utenza

Qrif: potenza rettiva nominale di rifasamento locale di un'utenza terminale

Sigla utenza	Formazione	Designazione	Isol.	Mat.	Lc	Prx.	T	k	Iz [A]	Izn [A]	K2S2(F) [A^2s]	Cdt %	CdtIn %
+CABINA.Q_BT													
IGE	3x(14x240)+7x240+7G240	FG7M1 0.6/1 kV	EPR	RAME	25	5	30	0,38	2607	1544	2,309E+11	0,09	0,7
BT1	3x(1x120)+16G70	FG7M1 0.6/1 kV	EPR	RAME	10	5	30	0,6	187	0	2,945E+08	0,06	0,51
BT2	3x(2x150)+1x150+1G150	FG7M1 0.6/1 kV	EPR	RAME	20	5	30	0,57	405	213	1,840E+09	0,32	0,8
BT3	3x(2x150)+1x35+1G35	FG7M1 0.6/1 kV	EPR	RAME	20	5	30	0,6	133	86	1,002E+08	0,34	0,91
BT4	3x(1x70)+1x35+1G35	FG7M1 0.6/1 kV	EPR	RAME	20	5	30	0,45	1764	1019	7,538E+10	0,25	0,68
BT5	3x(8x240)+4x240+4G240	FG7M1 0.6/1 kV	EPR	RAME	20	5	30	0,45	1764	1019	7,538E+10	0,25	0,68
BT6	3x(8x240)+4x240+4G240	FG7M1 0.6/1 kV	EPR	RAME	10	5	30	0,57	405	213	1,840E+09	0,24	0,6
BT7	3x(2x150)+1x150+1G150	FG7M1 0.6/1 kV	EPR	RAME	10	5	30	0,57	405	213	1,840E+09	0	0

Legenda

Lc: lunghezza cavo [m]
 Prx.: numero circuiti in prossimità

T: temperatura ambiente [°C]

Cdt %: caduta di tensione alla corrente Ib

CdtIn %: caduta di tensione alla corrente In

-[C]: il Conduttore dell'utenza è comune ad altre utenze

[C]: il Conduttore dell'utenza è comune ad altre utenze (neutri separati)

C: utilizza il Conduttore di un'altra utenza

-[PE]: il PE dell'utenza è comune ad altre utenze

PE: utilizza il PE di un'altra utenza

Sigla utenza	Coord. Ib<In<Iz	PdI	K ² S ² >I ² t	Sg. mag.< I magmax	Contatti ind.
+CABINA.Q_BT					
IGTR1	1609,7 <=1803,6 A (Ib < In) 0 <= 2424,9 A (Ib < In)	65>=39,38 kA 65>=0 kA	Verificato Verificato	13.500<29.594 A Prot. contatti indiretti	Verificato Verificato
IGTR2	1609,7 <=1803,6 A (Ib < In) 0 <= 2500 <=2606,8 A		Verificato Verificato		Verificato Verificato
COM					
IGE					
BT1	72,2 <=170 <=187,2 A 253,1 <=400 <=404,7 A	50>=39,38 kA 50>=39,38 kA	Verificato Verificato	850<21.824 A 4.000<22.114 A	Verificato Verificato
BT2	65,2 <=128 <=133,2 A	50>=39,38 kA	Verificato	640<9.007 A	Verificato
BT3	1141,9 <=1600 <=1764 A	50>=39,38 kA	Verificato	9.600<28.487 A	Verificato
BT4	1141,9 <=1600 <=1764 A	50>=39,38 kA	Verificato	9.600<28.487 A	Verificato
BT5	326,2 <=360 <=404,7 A	50>=39,38 kA	Verificato	3.600<27.061 A	Verificato
BT6					
BT7	0<=360 <=404,7 A	50>=39,38 kA	Verificato	Prot. contatti indiretti	Verificato
BT8	0 <=400 A (Ib < In)	50>=39,38 kA	Verificato	4.000<29.594 A	Verificato
BT9	0 <=400 A (Ib < In)	50>=39,38 kA	Verificato	4.000<29.594 A	Verificato
BT0	0 <=2250 A (Ib < In)	65>=37,37 kA	Verificato	13.500<28.798 A	Verificato

Legenda

PdI: potere di interruzione o di corto circuito della protezione

I magmax: corrente magnetica massima pari alla corrente di guasto minima
K²S²>I²t: verifica a cortocircuito della linea

Q_ CA

Sigla utenza	Pn [kW]	Coef.	Pd [kW]	Carichi	Qn [kVAr]	Qrif [kVAr]	Cos φ	Vn [V]	Sistema	Cond. att.	Ib [A]	In [A]	Iz [A]
+CABINA.Q_CA													
IGCA_2	0	1	0	1	0	n.d.	0,9	400	TN-S	3	0	400	123,2
IGCA_1	178,594	1	178,594	1	111,433	n.d.	0,848	400	TN-S	3	320,6	396,9	123,2
CA1	25,601	1	25,601	1	12,399	n.d.	0,9	400	TN-S	3	44,5	96	105
CA2	52,992	1	52,992	1	39,167	n.d.	0,804	400	TN-S	3	108,6	128	133,2
CA3	100	1	100	1	59,866	n.d.	0,858	400	TN-S	3	168,2	225	250,2
CA4	0	1	0	1	0	n.d.	0,9	400	TN-S	3	0	160	108
CA5	0	1	0	1	0	n.d.	0,9	400	TN-S	3	0	160	39,6

Legenda

Pn: potenza nominale dei carichi a valle dell'utenza.

Pd: potenza di dimensionamento dell'utenza.

Qn: potenza rettiva dei carichi a valle dell'utenza

Qrif: potenza rettiva nominale di rifasamento locale di un'utenza terminale

Sigla utenza	Formazione	Designazione	Isol.	Mat.	Lc	Prx.	T	k	Iz [A]	Izn [A]	K2S2(F) [A^2s]	Cdt %	CdtIn%
+CABINA.Q_CA													
CA1	4x(1x50)+1G50	FG7M1 0.6/1 kV	EPR	RAME	15	5	30	0,6	105	105	5,112E+07	0,54	1,11
CA2	3x(1x70)+1x35+1G35	FG7M1 0.6/1 kV	EPR	RAME	15	5	30	0,6	133	86	1,002E+08	0,7	1,1
CA3	3x(1x185)+1x95+1G95	FG7M1 0.6/1 kV	EPR	RAME	10	5	30	0,6	250	161	6,999E+08	0,51	0,93

Legenda

Lc: lunghezza cavo [m]

Prx.: numero circuiti in prossimità

T: temperatura ambiente [°C]

Cdt %: caduta di tensione alla corrente Ib

CdtIn %: caduta di tensione alla corrente In

-[C]: il Conduttore dell'utenza è comune ad altre utenze

-[C1]: il Conduttore dell'utenza è comune ad altre utenze (neutri separati)

C1: utilizza il Conduttore di un'altra utenza

-[PE]: il PE dell'utenza è comune ad altre utenze

PE1: utilizza il PE di un'altra utenza

Sigla utenza	Coord. Ib<In<Iz	PdI	K ² S ² >I ² t	Sg. mag.< I magmax	Contatti ind.
+CABINA.Q_CA					
IGCA_2	0<=400 A (Ib < In)			Verificato	Verificato
IGCA_1	320,6<=396,9 A (Ib < In)			Verificato	Verificato
CA1	44,5<=96<=105 A	36>=32,13 kA		Verificato	960<9,407 A
CA2	108,6<=128<=133,2 A	36>=32,13 kA		Verificato	1.280<8.987 A
CA3	168,2<=225<=250,2 A	36>=32,13 kA		Verificato	1.125<15.975 A
CA4	0<=160 A (Ib < In)	36>=32,13 kA		Verificato	800<22.114 A
CA5	0<=160 A (Ib < In)	36>=32,13 kA		Verificato	800<22.114 A

Legenda

PdI: potere di interruzione o di corto circuito della protezione

I magmax: corrente magnetica massima pari alla corrente di guasto minima

K²S²>I²t: verifica a cortocircuito della linea

Q_ IL

Sigla utenza	Pn [kW]	Coef.	Pd [kW]	Carichi	Qn [kVAR]	Qrif [kVAR]	Cos φ	Vn [V]	Sistema	Cond. att.	Ib [A]	In [A]	Iz [A]
+CABINA.Q_IL													
IGN_IL	150,974	1	150,974	1	73,12	n.d.	0,9	400	TN-S	3	253,1	400	39,6
IGN_ME	21,552	1	21,552	1	10,438	n.d.	0,9	400	TN-S	3	36,2	256	39,6
IGN_RC	129,421	1	129,421	1	62,682	n.d.	0,9	400	TN-S	3	216,9	400	39,6
ILN_ME1	13,425	1	13,425	1	6,502	n.d.	0,9	400	TN-S	3	23,2	160	135,2
ILN_ME2	8,128	1	8,128	1	3,937	n.d.	0,9	400	TN-S	3	13	96	105
ILN_RC1	12,177	1	12,177	1	5,897	n.d.	0,9	400	TN-S	3	21,3	160	135,2
ILN_RC2	76,228	1	76,228	1	36,919	n.d.	0,9	400	TN-S	3	127,4	160	187,2
ILN_RC3	41,016	1	41,016	1	19,865	n.d.	0,9	400	TN-S	3	68,1	160	161,4
PO1/ME	1,335	1	1,335	1	0,646	n.d.	0,9	400	TN-S	3	2,3	6	41
PO2/ME	1,094	1	1,094	1	0,53	n.d.	0,9	400	TN-S	3	2,1	6	41
PO3/ME	1,382	1	1,382	1	0,669	n.d.	0,9	400	TN-S	3	2,5	6	41
PO4/ME	0,855	1	0,855	1	0,414	n.d.	0,9	400	TN-S	3	1,4	6	41
PO5/ME	1,43	1	1,43	1	0,692	n.d.	0,9	400	TN-S	3	2,5	6	41
PO6/ME	1,094	1	1,094	1	0,53	n.d.	0,9	400	TN-S	3	2,1	6	41
PO7/ME	1,383	1	1,383	1	0,67	n.d.	0,9	400	TN-S	3	2,3	6	31,3
PO8/ME	0,95	1	0,95	1	0,46	n.d.	0,9	400	TN-S	3	1,8	6	31,3
PO9/ME	0,95	1	0,95	1	0,46	n.d.	0,9	400	TN-S	3	1,8	6	23,3
PO10/ME	0,95	1	0,95	1	0,46	n.d.	0,9	400	TN-S	3	1,8	6	23,3
PO11/ME	0,95	1	0,95	1	0,46	n.d.	0,9	400	TN-S	3	1,8	6	18,2
PO12/ME	0,855	1	0,855	1	0,414	n.d.	0,9	400	TN-S	3	1,4	6	18,2
PO13/ME	0,2	1	0,2	1	0,097	n.d.	0,9	231	TN-S	2 (L1-N)	1	6	26,4
PO14/ME	0	1	0	1	0	n.d.	0,9	400	TN-S	3	0	6	26,4
ILN_ME2/1	8,128	1	8,128	1	3,937	n.d.	0,9	400	TN-S	3	13	32	41,1
PO1/RC	0,95	1	0,95	1	0,46	n.d.	0,9	400	TN-S	3	1,8	6	18,2
PO2/RC	1,383	1	1,383	1	0,67	n.d.	0,9	400	TN-S	3	2,3	6	18,2
PO3/RC	0,95	1	0,95	1	0,46	n.d.	0,9	400	TN-S	3	1,8	6	23,3
PO4/RC	1,094	1	1,094	1	0,53	n.d.	0,9	400	TN-S	3	2,1	6	23,3
PO5/RC	0,855	1	0,855	1	0,414	n.d.	0,9	400	TN-S	3	1,4	6	31,3
PO6/RC	0,95	1	0,95	1	0,46	n.d.	0,9	400	TN-S	3	1,8	6	31,3

Sigla utenza	Pn [kW]	Coef.	Pd [kW]	Carichi	Qn [kVAr]	Qrif [kVAr]	Cos φ	Vn [V]	Sistema	Cond. att.	Ib [A]	In [A]	Iz [A]
PO7/RC	0,95	1	0,95	1	0,46	n.d.	0,9	400	TN-S	3	1,8	6	31,3
PO8/RC	0,999	1	0,999	1	0,484	n.d.	0,9	400	TN-S	3	1,6	6	31,3
PO9/RC	0,95	1	0,95	1	0,46	n.d.	0,9	400	TN-S	3	1,8	6	41
PO10/RC	0,95	1	0,95	1	0,46	n.d.	0,9	400	TN-S	3	1,8	6	41
PO11/RC	0,855	1	0,855	1	0,414	n.d.	0,9	400	TN-S	3	1,4	6	41
PO12/RC	1,094	1	1,094	1	0,53	n.d.	0,9	400	TN-S	3	2,1	6	41
PO13/RC	0,2	1	0,2	1	0,097	n.d.	0,9	231	TN-S	2 (L1-N)	1	6	26,4
PO14/RC	0	1	0	1	0	n.d.	0,9	400	TN-S	3	0	6	26,4
ILN_RC2/1	76,228	1	76,228	1	36,919	n.d.	0,9	400	TN-S	3	127,4	160	41,1
ILN_RC3/1	41,016	1	41,016	1	19,865	n.d.	0,9	400	TN-S	3	68,1	127	41,1
PO1/1/ME	0,48	1	0,48	1	0,232	n.d.	0,9	400	TN-S	3	0,9	6	77,8
PO1/2/ME	0,855	1	0,855	1	0,414	n.d.	0,9	400	TN-S	3	1,4	6	77,8
PO2/1/ME	1,094	1	1,094	1	0,53	n.d.	0,9	400	TN-S	3	2,1	6	77,8
PO3/1/ME	0,432	1	0,432	1	0,209	n.d.	0,9	400	TN-S	3	0,7	6	77,8
PO3/2/ME	0,95	1	0,95	1	0,46	n.d.	0,9	400	TN-S	3	1,8	6	77,8
PO4/1/ME	0,855	1	0,855	1	0,414	n.d.	0,9	400	TN-S	3	1,4	6	77,8
PO5/1/ME	0,48	1	0,48	1	0,232	n.d.	0,9	400	TN-S	3	0,9	6	77,8
PO5/2/ME	0,95	1	0,95	1	0,46	n.d.	0,9	400	TN-S	3	1,8	6	77,8
PO6/1/ME	1,094	1	1,094	1	0,53	n.d.	0,9	400	TN-S	3	2,1	6	77,8
PO7/1/ME	0,528	1	0,528	1	0,256	n.d.	0,9	400	TN-S	3	0,9	6	58,3
PO7/2/ME	0,855	1	0,855	1	0,414	n.d.	0,9	400	TN-S	3	1,4	6	58,3
PO8/1/ME	0,95	1	0,95	1	0,46	n.d.	0,9	400	TN-S	3	1,8	6	58,3
PO9/1/ME	0,95	1	0,95	1	0,46	n.d.	0,9	400	TN-S	3	1,8	6	42
PO10/1/ME	0,95	1	0,95	1	0,46	n.d.	0,9	400	TN-S	3	1,8	6	42
PO11/1/ME	0,95	1	0,95	1	0,46	n.d.	0,9	400	TN-S	3	1,8	6	32,7
PO12/1/ME	0,855	1	0,855	1	0,414	n.d.	0,9	400	TN-S	3	1,4	6	32,7
RU1/ME	4,064	1	4,064	1	1,968	n.d.	0,9	400	TN-S	3	6,5	16	30,7
RU2/ME	4,064	1	4,064	1	1,968	n.d.	0,9	400	TN-S	3	6,5	16	30,7
PO1/1/RC	0,95	1	0,95	1	0,46	n.d.	0,9	400	TN-S	3	1,8	6	32,7
PO2/1/RC	0,528	1	0,528	1	0,256	n.d.	0,9	400	TN-S	3	0,9	6	32,7

Sigla utenza	Pn [kW]	Pd [kW]	Coef.	Carichi	Qn [kVAr]	Qrif [kVAr]	Cos φ	Vn [V]	Sistema	Cond. att.	Ib [A]	In [A]	Iz [A]
PO2/2/RC	0,835	1	0,855	1	0,414	n.d.	0,9	400	TN-S	3	1,4	6	32,7
PO3/1/RC	0,95	1	0,95	1	0,46	n.d.	0,9	400	TN-S	3	1,8	6	42
PO4/1/RC	1,094	1	1,094	1	0,53	n.d.	0,9	400	TN-S	3	2,1	6	42
PO5/1/RC	0,855	1	0,855	1	0,414	n.d.	0,9	400	TN-S	3	1,4	6	58,3
PO6/1/RC	0,95	1	0,95	1	0,46	n.d.	0,9	400	TN-S	3	1,8	6	58,3
PO7/1/RC	0,95	1	0,95	1	0,46	n.d.	0,9	400	TN-S	3	1,8	6	58,3
PO8/1/RC	0,999	1	0,999	1	0,484	n.d.	0,9	400	TN-S	3	1,6	6	58,3
PO9/1/RC	0,95	1	0,95	1	0,46	n.d.	0,9	400	TN-S	3	1,8	6	77,8
PO10/1/RC	0,95	1	0,95	1	0,46	n.d.	0,9	400	TN-S	3	1,8	6	77,8
PO11/1/RC	0,855	1	0,855	1	0,414	n.d.	0,9	400	TN-S	3	1,4	6	77,8
PO12/1/RC	1,094	1	1,094	1	0,53	n.d.	0,9	400	TN-S	3	2,1	6	77,8
RI1/RC	38,494	1	38,494	1	18,643	n.d.	0,9	400	TN-S	3	63,5	100	121,1
RI2/RC	19,279	1	19,279	1	9,337	n.d.	0,9	400	TN-S	3	32	63	83,7
RI3/RC	18,455	1	18,455	1	8,938	n.d.	0,9	400	TN-S	3	31,9	63	83,7
RI4/RC	20,669	1	20,669	1	10,01	n.d.	0,9	400	TN-S	3	33,9	63	83,7
RI5/RC	10,366	1	10,366	1	5,021	n.d.	0,9	400	TN-S	3	17,2	32	55,8
RI6/RC	9,981	1	9,981	1	4,834	n.d.	0,9	400	TN-S	3	17,1	32	55,8
IGCA_1L	25,601	1	25,601	1	12,399	n.d.	0,9	400	TN-S	3	44,5	96	39,6
PO1-L1/N	0,38	1	0,38	1	0,184	n.d.	0,9	231	TN-S	2 (L1-N)	1,8	6	38,9
PO1-L2/N	0,285	1	0,285	1	0,138	n.d.	0,9	231	TN-S	2 (L2-N)	1,4	6	38,9
PO1-L3/N	0,285	1	0,285	1	0,138	n.d.	0,9	231	TN-S	2 (L3-N)	1,4	6	38,9
PO2/1-L1/N	0,192	1	0,192	1	0,093	n.d.	0,9	231	TN-S	2 (L1-N)	0,9	6	38,9
PO2/1-L2/N	0,192	1	0,192	1	0,093	n.d.	0,9	231	TN-S	2 (L2-N)	0,9	6	38,9
PO2/1L3/N	0,144	1	0,144	1	0,07	n.d.	0,9	231	TN-S	2 (L3-N)	0,7	6	38,9
PO2/2-L1/N	0,285	1	0,285	1	0,138	n.d.	0,9	231	TN-S	2 (L1-N)	1,4	6	38,9
PO2/2-L2/N	0,285	1	0,285	1	0,138	n.d.	0,9	231	TN-S	2 (L2-N)	1,4	6	38,9
PO2/2-L3/N	0,285	1	0,285	1	0,138	n.d.	0,9	231	TN-S	2 (L3-N)	1,4	6	38,9
PO3-L1/N	0,38	1	0,38	1	0,184	n.d.	0,9	231	TN-S	2 (L1-N)	1,8	6	38,9
PO3-L2/N	0,285	1	0,285	1	0,138	n.d.	0,9	231	TN-S	2 (L2-N)	1,4	6	38,9
PO3-L3/N	0,285	1	0,285	1	0,138	n.d.	0,9	231	TN-S	2 (L3-N)	1,4	6	38,9

Sigla utenza	Pn [kW]	Pd [kW]	Coef.	Carichi	Qn [kVAR]	Qrif [kVAR]	Cos φ	Vn [V]	Sistema	Cond. att.	Ib [A]	In [A]	Iz [A]
PO4-L1/N	0,428	1	0,428	1	0,207	n.d.	0,9	231	TN-S	2 (L1-N)	2,1	6	38,9
PO4-L2/N	0,333	1	0,333	1	0,161	n.d.	0,9	231	TN-S	2 (L2-N)	1,6	6	38,9
PO4-L3/N	0,333	1	0,333	1	0,161	n.d.	0,9	231	TN-S	2 (L3-N)	1,6	6	38,9
PO5-L1/N	0,285	1	0,285	1	0,138	n.d.	0,9	231	TN-S	2 (L1-N)	1,4	6	38,9
PO5-L2/N	0,285	1	0,285	1	0,138	n.d.	0,9	231	TN-S	2 (L2-N)	1,4	6	38,9
PO5-L3/N	0,285	1	0,285	1	0,138	n.d.	0,9	231	TN-S	2 (L3-N)	1,4	6	38,9
PO6-L1/N	0,38	1	0,38	1	0,184	n.d.	0,9	231	TN-S	2 (L1-N)	1,8	6	38,9
PO6-L2/N	0,285	1	0,285	1	0,138	n.d.	0,9	231	TN-S	2 (L2-N)	1,4	6	38,9
PO6-L3/N	0,285	1	0,285	1	0,138	n.d.	0,9	231	TN-S	2 (L3-N)	1,4	6	38,9
PO7-L1/N	0,285	1	0,285	1	0,138	n.d.	0,9	231	TN-S	2 (L1-N)	1,4	6	38,9
PO7-L2/N	0,285	1	0,285	1	0,138	n.d.	0,9	231	TN-S	2 (L2-N)	1,4	6	38,9
PO7-L3/N	0,38	1	0,38	1	0,184	n.d.	0,9	231	TN-S	2 (L3-N)	1,8	6	38,9
PO8-L1/N	0,333	1	0,333	1	0,161	n.d.	0,9	231	TN-S	2 (L1-N)	1,6	6	38,9
PO8-L2/N	0,333	1	0,333	1	0,161	n.d.	0,9	231	TN-S	2 (L2-N)	1,6	6	38,9
PO8-L3/N	0,333	1	0,333	1	0,161	n.d.	0,9	231	TN-S	2 (L3-N)	1,6	6	38,9
PO9-L1/N	0,285	1	0,285	1	0,138	n.d.	0,9	231	TN-S	2 (L1-N)	1,4	6	38,9
PO9-L2/N	0,38	1	0,38	1	0,184	n.d.	0,9	231	TN-S	2 (L2-N)	1,8	6	38,9
PO9-L3/N	0,285	1	0,285	1	0,138	n.d.	0,9	231	TN-S	2 (L3-N)	1,4	6	38,9
PO10-L1/N	0,38	1	0,38	1	0,184	n.d.	0,9	231	TN-S	2 (L1-N)	1,8	6	38,9
PO10-L2/N	0,285	1	0,285	1	0,138	n.d.	0,9	231	TN-S	2 (L2-N)	1,4	6	38,9
PO10-L3/N	0,285	1	0,285	1	0,138	n.d.	0,9	231	TN-S	2 (L3-N)	1,4	6	38,9
PO11-L1/N	0,285	1	0,285	1	0,138	n.d.	0,9	231	TN-S	2 (L1-N)	1,4	6	38,9
PO11-L2/N	0,285	1	0,285	1	0,138	n.d.	0,9	231	TN-S	2 (L2-N)	1,4	6	38,9
PO11-L3/N	0,285	1	0,285	1	0,138	n.d.	0,9	231	TN-S	2 (L3-N)	1,4	6	38,9
PO12-L1/N	0,333	1	0,333	1	0,161	n.d.	0,9	231	TN-S	2 (L1-N)	1,6	6	38,9
PO12-L2/N	0,428	1	0,428	1	0,207	n.d.	0,9	231	TN-S	2 (L2-N)	2,1	6	38,9
PO12-L3/N	0,333	1	0,333	1	0,161	n.d.	0,9	231	TN-S	2 (L3-N)	1,6	6	38,9
IGCA_ME	13,425	1	6,502	n.d.	0,9	400	TN-S	3		23,2	84	39,6	
IGCA_RC	12,177	1	5,897	n.d.	0,9	400	TN-S	3		21,3	84	39,6	
PE1/ME	1,335	1	0,646	n.d.	0,9	400	TN-S	3		2,3	6	41	

Sigla utenza	Pn [kW]	Coef.	Pd [kW]	Carichi	Qn [kVAr]	Qrif [kVAr]	Cos φ	Vn [V]	Sistema	Cond. att.	Ib [A]	In [A]	Iz [A]
PE2/ME	1,094	1	1,094	1	0,53	n.d.	0,9	400	TN-S	3	2,1	6	41
PE3/ME	1,382	1	1,382	1	0,669	n.d.	0,9	400	TN-S	3	2,5	6	41
PE4/ME	0,855	1	0,855	1	0,414	n.d.	0,9	400	TN-S	3	1,4	6	41
PE5/ME	1,43	1	1,43	1	0,692	n.d.	0,9	400	TN-S	3	2,5	6	41
PE6/ME	1,094	1	1,094	1	0,53	n.d.	0,9	400	TN-S	3	2,1	6	41
PE7/ME	1,383	1	1,383	1	0,67	n.d.	0,9	400	TN-S	3	2,3	6	31,3
PE8/ME	0,95	1	0,95	1	0,46	n.d.	0,9	400	TN-S	3	1,8	6	31,3
PE9/ME	0,95	1	0,95	1	0,46	n.d.	0,9	400	TN-S	3	1,8	6	23,3
PE10/ME	0,95	1	0,95	1	0,46	n.d.	0,9	400	TN-S	3	1,8	6	23,3
PE11/ME	0,95	1	0,95	1	0,46	n.d.	0,9	400	TN-S	3	1,8	6	18,2
PE12/ME	0,855	1	0,855	1	0,414	n.d.	0,9	400	TN-S	3	1,4	6	18,2
PE13/ME	0,2	1	0,2	1	0,097	n.d.	0,9	231	TN-S	2 (L1-N)	1	6	26,4
PE14/ME	0	1	0	1	0	n.d.	0,9	400	TN-S	3	0	6	26,4
PE1/RC	0,95	1	0,95	1	0,46	n.d.	0,9	400	TN-S	3	1,8	6	18,2
PE2/RC	1,383	1	1,383	1	0,67	n.d.	0,9	400	TN-S	3	2,3	6	18,2
PE3/RC	0,95	1	0,95	1	0,46	n.d.	0,9	400	TN-S	3	1,8	6	23,3
PE4/RC	1,094	1	1,094	1	0,53	n.d.	0,9	400	TN-S	3	2,1	6	23,3
PE5/RC	0,855	1	0,855	1	0,414	n.d.	0,9	400	TN-S	3	1,4	6	31,3
PE6/RC	0,95	1	0,95	1	0,46	n.d.	0,9	400	TN-S	3	1,8	6	31,3
PE7/RC	0,95	1	0,95	1	0,46	n.d.	0,9	400	TN-S	3	1,8	6	31,3
PE8/RC	0,999	1	0,999	1	0,484	n.d.	0,9	400	TN-S	3	1,6	6	31,3
PE9/RC	0,95	1	0,95	1	0,46	n.d.	0,9	400	TN-S	3	1,8	6	41
PE10/RC	0,95	1	0,95	1	0,46	n.d.	0,9	400	TN-S	3	1,8	6	41
PE11/RC	0,855	1	0,855	1	0,414	n.d.	0,9	400	TN-S	3	1,4	6	41
PE12/RC	1,094	1	1,094	1	0,53	n.d.	0,9	400	TN-S	3	2,1	6	41
PE13/RC	0,2	1	0,2	1	0,097	n.d.	0,9	231	TN-S	2 (L1-N)	1	6	26,4
PE14/RC	0	1	0	1	0	n.d.	0,9	400	TN-S	3	0	6	26,4
PE1/1/ME	0,48	1	0,48	1	0,232	n.d.	0,9	400	TN-S	3	0,9	6	77,8
PE1/2/ME	0,855	1	0,855	1	0,414	n.d.	0,9	400	TN-S	3	1,4	6	77,8
PE2/1/ME	1,094	1	1,094	1	0,53	n.d.	0,9	400	TN-S	3	2,1	6	77,8

Sigla utenza	Pn [kW]	Coef.	Pd [kW]	Carichi	Qn [kVAr]	Qrif [kVAr]	Cos φ	Vn [V]	Sistema	Cond. att.	Ib [A]	In [A]	Iz [A]
PE3/1/ME	0,432	1	0,432	1	0,209	n.d.	0,9	400	TN-S	3	0,7	6	77,8
PE3/2/ME	0,95	1	0,95	1	0,46	n.d.	0,9	400	TN-S	3	1,8	6	77,8
PE4/1/ME	0,855	1	0,855	1	0,414	n.d.	0,9	400	TN-S	3	1,4	6	77,8
PE5/1/ME	0,48	1	0,48	1	0,232	n.d.	0,9	400	TN-S	3	0,9	6	77,8
PE5/2/ME	0,95	1	0,95	1	0,46	n.d.	0,9	400	TN-S	3	1,8	6	77,8
PE6/1/ME	1,094	1	1,094	1	0,53	n.d.	0,9	400	TN-S	3	2,1	6	77,8
PE7/1/ME	0,528	1	0,528	1	0,256	n.d.	0,9	400	TN-S	3	0,9	6	58,3
PE7/2/ME	0,855	1	0,855	1	0,414	n.d.	0,9	400	TN-S	3	1,4	6	58,3
PE8/1/ME	0,95	1	0,95	1	0,46	n.d.	0,9	400	TN-S	3	1,8	6	58,3
PE9/1/ME	0,95	1	0,95	1	0,46	n.d.	0,9	400	TN-S	3	1,8	6	42
PE10/1/ME	0,95	1	0,95	1	0,46	n.d.	0,9	400	TN-S	3	1,8	6	42
PE11/1/ME	0,95	1	0,95	1	0,46	n.d.	0,9	400	TN-S	3	1,8	6	32,7
PE12/1/ME	0,855	1	0,855	1	0,414	n.d.	0,9	400	TN-S	3	1,4	6	32,7
PE1/1/RC	0,95	1	0,95	1	0,46	n.d.	0,9	400	TN-S	3	1,8	6	32,7
PE2/1/RC	0,528	1	0,528	1	0,256	n.d.	0,9	400	TN-S	3	0,9	6	32,7
PE2/2/RC	0,855	1	0,855	1	0,414	n.d.	0,9	400	TN-S	3	1,4	6	32,7
PE3/1/RC	0,95	1	0,95	1	0,46	n.d.	0,9	400	TN-S	3	1,8	6	42
PE4/1/RC	1,094	1	1,094	1	0,53	n.d.	0,9	400	TN-S	3	2,1	6	42
PE5/1/RC	0,855	1	0,855	1	0,414	n.d.	0,9	400	TN-S	3	1,4	6	58,3
PE6/1/RC	0,95	1	0,95	1	0,46	n.d.	0,9	400	TN-S	3	1,8	6	58,3
PE7/1/RC	0,95	1	0,95	1	0,46	n.d.	0,9	400	TN-S	3	1,8	6	58,3
PE8/1/RC	0,999	1	0,999	1	0,484	n.d.	0,9	400	TN-S	3	1,6	6	58,3
PE9/1/RC	0,95	1	0,95	1	0,46	n.d.	0,9	400	TN-S	3	1,8	6	77,8
PE10/1/RC	0,95	1	0,95	1	0,46	n.d.	0,9	400	TN-S	3	1,8	6	77,8
PE11/1/RC	0,855	1	0,855	1	0,414	n.d.	0,9	400	TN-S	3	1,4	6	77,8
PE12/1/RC	1,094	1	1,094	1	0,53	n.d.	0,9	400	TN-S	3	2,1	6	77,8

Legenda
 Pn: potenza nominale dei carichi a valle dell'utenza.
 Pd: potenza di dimensionamento dell'utenza.
 Qn: potenza rettiva dei carichi a valle dell'utenza
 Qrif: potenza rettiva nominale di rifasamento locale di un'utenza terminale

Sigla utenza	Formazione	Designazione	Isol.	Mat.	Lc	Prx.	T	k	Iz [A]	Izn [A]	K2S2(F) [A^2s]	Cdt %	CdtIn %
+CABINA.Q_IL													
ILN_ME2	3x(1x50)+1x25+1G25	FGTM1 0.6/1 kV	EPR	RAME	20	5	30	0,6	105	70	5,112E+07	0,38	1,19
ILN_RC2	3x(1x120)+1x70+1G70	FGTM1 0.6/1 kV	EPR	RAME	20	5	30	0,6	187	133	2,945E+08	0,59	1,13
ILN_RC3	3x(1x95)+1x50+1G50	FGTM1 0.6/1 kV	EPR	RAME	20	5	30	0,6	161	105	1,846E+08	0,49	1,19
PO1/ME	4x16	FGTOM1 0.6/1 kV	EPR	RAME	1675	8	30	0,57	41	41	5,235E+06	2,87	7,63
PO2/ME	4x16	FGTOM1 0.6/1 kV	EPR	RAME	1690	8	30	0,57	41	41	5,235E+06	2,93	8,45
PO3/ME	4x16	FGTOM1 0.6/1 kV	EPR	RAME	1370	8	30	0,57	41	41	5,235E+06	2,74	6,79
PO4/ME	4x16	FGTOM1 0.6/1 kV	EPR	RAME	1385	8	30	0,57	41	41	5,235E+06	1,49	5,92
PO5/ME	4x16	FGTOM1 0.6/1 kV	EPR	RAME	1085	8	30	0,57	41	41	5,235E+06	2,28	5,44
PO6/ME	4x16	FGTOM1 0.6/1 kV	EPR	RAME	1100	8	30	0,57	41	41	5,235E+06	1,94	5,77
PO7/ME	4x10	FGTOM1 0.6/1 kV	EPR	RAME	790	8	30	0,57	31	31	2,045E+06	2,18	5,86
PO8/ME	4x10	FGTOM1 0.6/1 kV	EPR	RAME	805	8	30	0,57	31	31	2,045E+06	2,09	6,65
PO9/ME	4x6	FGTOM1 0.6/1 kV	EPR	RAME	480	8	30	0,57	23	23	7,362E+05	2,09	6,79
PO10/ME	4x6	FGTOM1 0.6/1 kV	EPR	RAME	495	8	30	0,57	23	23	7,362E+05	2,19	6,98
PO11/ME	4x4	FGTOM1 0.6/1 kV	EPR	RAME	195	8	30	0,57	18	18	3,272E+05	1,42	4,43
PO12/RC	4x4	FGTOM1 0.6/1 kV	EPR	RAME	210	8	30	0,57	18	18	3,272E+05	1,03	3,92
PO1/RC	4x4	FGTOM1 0.6/1 kV	EPR	RAME	150	8	30	0,57	18	18	3,272E+05	1,17	3,59
PO2/RC	4x4	FGTOM1 0.6/1 kV	EPR	RAME	135	8	30	0,57	18	18	3,272E+05	1,11	3,01
PO3/RC	4x6	FGTOM1 0.6/1 kV	EPR	RAME	435	8	30	0,57	23	23	7,362E+05	1,97	6,22
PO4/RC	4x6	FGTOM1 0.6/1 kV	EPR	RAME	420	8	30	0,57	23	23	7,362E+05	2,07	5,92
PO5/RC	4x10	FGTOM1 0.6/1 kV	EPR	RAME	735	8	30	0,57	31	31	2,045E+06	1,29	5,07
PO6/RC	4x10	FGTOM1 0.6/1 kV	EPR	RAME	720	8	30	0,57	31	31	2,045E+06	1,91	6,03
PO7/RC	4x10	FGTOM1 0.6/1 kV	EPR	RAME	1040	8	30	0,57	31	31	2,045E+06	2,53	8,37
PO8/RC	4x10	FGTOM1 0.6/1 kV	EPR	RAME	1025	8	30	0,57	31	31	2,045E+06	1,91	6,77
PO9/RC	4x16	FGTOM1 0.6/1 kV	EPR	RAME	1290	8	30	0,57	41	41	5,235E+06	2,08	6,76
PO10/RC	4x16	FGTOM1 0.6/1 kV	EPR	RAME	1275	8	30	0,57	41	41	5,235E+06	2,11	6,69
PO11/RC	4x(1x16)	FGTOM1 0.6/1 kV	EPR	RAME	1595	8	30	0,57	41	41	5,235E+06	1,66	6,71
PO12/RC	4x(1x16)	FGTOM1 0.6/1 kV	EPR	RAME	1580	8	30	0,57	41	41	5,235E+06	2,71	7,95
PO1/1/ME	4x16	FGTOM1 0.6/1 kV	EPR	RAME	300	8	20	0,78	78	78	5,235E+06	2,98	9,01
PO1/2/ME	4x16	FGTOM1 0.6/1 kV	EPR	RAME	300	8	20	0,78	78	78	5,235E+06	3	8,73

Sigla utenza	Formazione	Designazione	Isol.	Mat.	Lc	Prx.	T	k	Iz [A]	Izn [A]	K2S2(F) [A²s]	Cdt %	CdtIn%
PO2/1/ME	4x16	FGTOM1 0,6/1 kV	EPR	RAME	300	8	20	0,78	78	78	5,235E+06	3,17	9,8
PO3/1/ME	4x16	FGTOM1 0,6/1 kV	EPR	RAME	315	8	20	0,78	78	78	5,235E+06	2,81	7,95
PO3/2/ME	4x16	FGTOM1 0,6/1 kV	EPR	RAME	315	8	20	0,78	78	78	5,235E+06	2,98	8,24
PO4/1/ME	4x16	FGTOM1 0,6/1 kV	EPR	RAME	315	8	20	0,78	78	78	5,235E+06	1,63	7,09
PO5/1/ME	4x16	FGTOM1 0,6/1 kV	EPR	RAME	310	8	20	0,78	78	78	5,235E+06	2,35	6,87
PO6/1/ME	4x16	FGTOM1 0,6/1 kV	EPR	RAME	310	8	20	0,78	78	78	5,235E+06	2,52	6,87
PO7/1/ME	4x10	FGTOM1 0,6/1 kV	EPR	RAME	300	8	20	0,78	58	58	2,045E+06	2,35	8,03
PO7/2/ME	4x10	FGTOM1 0,6/1 kV	EPR	RAME	300	8	20	0,78	58	58	2,045E+06	2,39	7,6
PO8/1/ME	4x10	FGTOM1 0,6/1 kV	EPR	RAME	300	8	20	0,78	58	58	2,045E+06	2,45	8,83
PO9/1/ME	4x6	FGTOM1 0,6/1 kV	EPR	RAME	330	8	20	0,78	42	42	7,362E+05	2,8	10,9
PO10/1/ME	4x6	FGTOM1 0,6/1 kV	EPR	RAME	330	8	20	0,78	42	42	7,362E+05	2,91	11,09
PO11/1/ME	4x4	FGTOM1 0,6/1 kV	EPR	RAME	305	8	20	0,78	33	33	3,272E+05	2,35	10,12
PO12/1/ME	4x4	FGTOM1 0,6/1 kV	EPR	RAME	305	8	20	0,78	33	33	3,272E+05	1,59	8,48
RU1/ME	4x10	FGTOM1 0,6/1 kV	EPR	RAME	265	8	30	0,56	31	31	2,045E+06	2,04	5,3
RU2/ME	4x10	FGTOM1 0,6/1 kV	EPR	RAME	280	8	30	0,56	31	31	2,045E+06	2,13	5,54
PO1/1/RC	4x4	FGTOM1 0,6/1 kV	EPR	RAME	300	8	20	0,78	33	33	3,272E+05	2,07	9,18
PO2/1/RC	4x4	FGTOM1 0,6/1 kV	EPR	RAME	355	8	20	0,78	33	33	3,272E+05	1,66	9,64
PO2/2/RC	4x4	FGTOM1 0,6/1 kV	EPR	RAME	300	8	20	0,78	33	33	3,272E+05	1,65	7,48
PO3/1/RC	4x6	FGTOM1 0,6/1 kV	EPR	RAME	325	8	20	0,78	42	42	7,362E+05	2,66	10,28
PO4/1/RC	4x6	FGTOM1 0,6/1 kV	EPR	RAME	325	8	20	0,78	42	42	7,362E+05	2,83	9,88
PO5/1/RC	4x10	FGTOM1 0,6/1 kV	EPR	RAME	310	8	20	0,78	58	58	2,045E+06	1,52	6,87
PO6/1/RC	4x10	FGTOM1 0,6/1 kV	EPR	RAME	310	8	20	0,78	58	58	2,045E+06	2,28	8,28
PO7/1/RC	4x10	FGTOM1 0,6/1 kV	EPR	RAME	300	8	20	0,78	58	58	2,045E+06	2,88	10,55
PO8/1/RC	4x10	FGTOM1 0,6/1 kV	EPR	RAME	300	8	20	0,78	58	58	2,045E+06	2,15	8,51
PO9/1/RC	4x16	FGTOM1 0,6/1 kV	EPR	RAME	350	8	20	0,78	78	78	5,235E+06	2,38	8,38
PO10/1/RC	4x16	FGTOM1 0,6/1 kV	EPR	RAME	350	8	20	0,78	78	78	5,235E+06	2,4	8,31
PO11/1/RC	4x(1x16)	FGTOM1 0,6/1 kV	EPR	RAME	335	8	20	0,78	78	78	5,235E+06	1,83	7,94
PO12/1/RC	4x(1x16)	FGTOM1 0,6/1 kV	EPR	RAME	335	8	20	0,78	78	78	5,235E+06	3,01	9,46
R11/RC	3x(1x95)+1x50	FGTOM1 0,6/1 kV	EPR	RAME	775	8	30	0,56	121	84	1,846E+08	3,21	10,58

Sigla utenza	Formazione	Designazione	Isol.	Mat.	Lc	Prx.	T	k	Iz [A]	Izn [A]	K2S2(F) [A²s]	Cdt %	CdtIn%
R12/RC	3x(1x50)+1x25	FGTM1 0.6/1 kV	EPR	RAME	775	8	30	0,56	84	56	5,112E+07	3,15	12,27
R13/RC	3x(1x50)+1x25	FGTM1 0.6/1 kV	EPR	RAME	775	8	30	0,56	84	56	5,112E+07	3,26	12,42
R14/RC	3x(1x50)+1x25	FGTM1 0.6/1 kV	EPR	RAME	790	8	30	0,56	84	56	5,112E+07	3,13	11,87
R15/RC	3x(1x25)+1x16	FGTM1 0.6/1 kV	EPR	RAME	790	8	30	0,56	56	43	1,278E+07	3,35	12,38
R16/RC	3x(1x25)+1x16	FGTM1 0.6/1 kV	EPR	RAME	790	8	30	0,56	56	43	1,278E+07	3,39	12,49
P01-L1/N	2x2.5	FGTM1 0.6/1 kV	EPR	RAME	1	1	20	1,08	39	39	1,278E+05	2,11	6,61
P01-L2/N	2x2.5	FGTM1 0.6/1 kV	EPR	RAME	1	1	20	1,08	39	39	1,278E+05	1,33	6,61
P01-L3/N	2x2.5	FGTM1 0.6/1 kV	EPR	RAME	1	1	20	1,08	39	39	1,278E+05	1,01	6,61
P02-1-L1/N	2x2.5	FGTM1 0.6/1 kV	EPR	RAME	1	1	20	1,08	39	39	1,278E+05	1,58	6,69
P02-1-L2/N	2x2.5	FGTM1 0.6/1 kV	EPR	RAME	1	1	20	1,08	39	39	1,278E+05	1,69	6,69
P02-1L3/N	2x2.5	FGTM1 0.6/1 kV	EPR	RAME	1	1	20	1,08	39	39	1,278E+05	1,11	6,69
P02-2-L1/N	2x2.5	FGTM1 0.6/1 kV	EPR	RAME	1	1	20	1,08	39	39	1,278E+05	1,67	5,44
P02-2-L2/N	2x2.5	FGTM1 0.6/1 kV	EPR	RAME	1	1	20	1,08	39	39	1,278E+05	1,69	5,44
P02-2-L3/N	2x2.5	FGTM1 0.6/1 kV	EPR	RAME	1	1	20	1,08	39	39	1,278E+05	1,43	5,44
P03-1-L1/N	2x2.5	FGTM1 0.6/1 kV	EPR	RAME	1	1	20	1,08	39	39	1,278E+05	2,7	8,57
P03-1-L2/N	2x2.5	FGTM1 0.6/1 kV	EPR	RAME	1	1	20	1,08	39	39	1,278E+05	1,67	8,57
P03-1-L3/N	2x2.5	FGTM1 0.6/1 kV	EPR	RAME	1	1	20	1,08	39	39	1,278E+05	1,26	8,57
P04-1-L1/N	2x2.5	FGTM1 0.6/1 kV	EPR	RAME	1	1	20	1,08	39	39	1,278E+05	2,88	8,22
P04-1-L2/N	2x2.5	FGTM1 0.6/1 kV	EPR	RAME	1	1	20	1,08	39	39	1,278E+05	1,87	8,22
P04-1-L3/N	2x2.5	FGTM1 0.6/1 kV	EPR	RAME	1	1	20	1,08	39	39	1,278E+05	1,47	8,22
P05-1-L1/N	2x2.5	FGTM1 0.6/1 kV	EPR	RAME	1	1	20	1,08	39	39	1,278E+05	1,55	6,11
P05-1-L2/N	2x2.5	FGTM1 0.6/1 kV	EPR	RAME	1	1	20	1,08	39	39	1,278E+05	1,51	6,11
P05-1-L3/N	2x2.5	FGTM1 0.6/1 kV	EPR	RAME	1	1	20	1,08	39	39	1,278E+05	1,47	6,11
P06-1-L1/N	2x2.5	FGTM1 0.6/1 kV	EPR	RAME	1	1	20	1,08	39	39	1,278E+05	2,32	7,31
P06-1-L2/N	2x2.5	FGTM1 0.6/1 kV	EPR	RAME	1	1	20	1,08	39	39	1,278E+05	1,44	7,31
P06-1-L3/N	2x2.5	FGTM1 0.6/1 kV	EPR	RAME	1	1	20	1,08	39	39	1,278E+05	1,1	7,31
P07-1-L1/N	2x2.5	FGTM1 0.6/1 kV	EPR	RAME	1	1	20	1,08	39	39	1,278E+05	1,89	9,58
P07-1-L2/N	2x2.5	FGTM1 0.6/1 kV	EPR	RAME	1	1	20	1,08	39	39	1,278E+05	1,42	9,58
P07-1-L3/N	2x2.5	FGTM1 0.6/1 kV	EPR	RAME	1	1	20	1,08	39	39	1,278E+05	2,92	9,58
P08-1-L1/N	2x2.5	FGTM1 0.6/1 kV	EPR	RAME	1	1	20	1,08	39	39	1,278E+05	2,19	7,75

Sigla utenza	Formazione	Designazione	Isol.	Mat.	Lc	Prx.	T	k	Iz [A]	Izn [A]	K2S2(F) [A²s]	Cdt %	CdtIn%
P08-L2/N	2x2.5	FGTOM1 0.6/1 kV	EPR	RAME	1	1	20	1,08	39	39	1,278E+05	2,14	7,75
P08-L3/N	2x2.5	FGTOM1 0.6/1 kV	EPR	RAME	1	1	20	1,08	39	39	1,278E+05	2,11	7,75
P09-L1/N	2x2.5	FGTOM1 0.6/1 kV	EPR	RAME	1	1	20	1,08	39	39	1,278E+05	1,25	7,78
P09-L2/N	2x2.5	FGTOM1 0.6/1 kV	EPR	RAME	1	1	20	1,08	39	39	1,278E+05	2,42	7,78
P09-L3/N	2x2.5	FGTOM1 0.6/1 kV	EPR	RAME	1	1	20	1,08	39	39	1,278E+05	1,49	7,78
P010-L1/N	2x2.5	FGTOM1 0.6/1 kV	EPR	RAME	1	1	20	1,08	39	39	1,278E+05	2,44	7,71
P010-L2/N	2x2.5	FGTOM1 0.6/1 kV	EPR	RAME	1	1	20	1,08	39	39	1,278E+05	1,51	7,71
P010-L3/N	2x2.5	FGTOM1 0.6/1 kV	EPR	RAME	1	1	20	1,08	39	39	1,278E+05	1,16	7,71
P011-L1/N	2x2.5	FGTOM1 0.6/1 kV	EPR	RAME	1	1	20	1,08	39	39	1,278E+05	1,86	7,47
P011-L2/N	2x2.5	FGTOM1 0.6/1 kV	EPR	RAME	1	1	20	1,08	39	39	1,278E+05	1,81	7,47
P011-L3/N	2x2.5	FGTOM1 0.6/1 kV	EPR	RAME	1	1	20	1,08	39	39	1,278E+05	1,78	7,47
P012-L1/N	2x2.5	FGTOM1 0.6/1 kV	EPR	RAME	1	1	20	1,08	39	39	1,278E+05	1,67	8,88
P012-L2/N	2x2.5	FGTOM1 0.6/1 kV	EPR	RAME	1	1	20	1,08	39	39	1,278E+05	3,05	8,88
P012-L3/N	2x2.5	FGTOM1 0.6/1 kV	EPR	RAME	1	1	20	1,08	39	39	1,278E+05	1,96	8,88
PE1/ME	4x16	FGTOM1 0.6/1 kV	EPR	RAME	1675	8	30	0,57	41	41	5,235E+06	3,06	7,94
PE2/ME	4x16	FGTOM1 0.6/1 kV	EPR	RAME	1690	8	30	0,57	41	41	5,235E+06	3,15	8,76
PE3/ME	4x16	FGTOM1 0.6/1 kV	EPR	RAME	1370	8	30	0,57	41	41	5,235E+06	2,96	7,1
PE4/ME	4x16	FGTOM1 0.6/1 kV	EPR	RAME	1385	8	30	0,57	41	41	5,235E+06	1,71	6,24
PE5/ME	4x16	FGTOM1 0.6/1 kV	EPR	RAME	1085	8	30	0,57	41	41	5,235E+06	2,5	5,75
PE6/ME	4x16	FGTOM1 0.6/1 kV	EPR	RAME	1100	8	30	0,57	41	41	5,235E+06	2,15	6,08
PE7/ME	4x10	FGTOM1 0.6/1 kV	EPR	RAME	790	8	30	0,57	31	31	2,045E+06	2,38	6,17
PE8/ME	4x10	FGTOM1 0.6/1 kV	EPR	RAME	805	8	30	0,57	31	31	2,045E+06	2,31	6,96
PE9/ME	4x6	FGTOM1 0.6/1 kV	EPR	RAME	480	8	30	0,57	23	23	7,362E+05	2,29	7,1
PE10/ME	4x6	FGTOM1 0.6/1 kV	EPR	RAME	495	8	30	0,57	23	23	7,362E+05	2,41	7,29
PE11/ME	4x4	FGTOM1 0.6/1 kV	EPR	RAME	195	8	30	0,57	18	18	3,272E+05	1,64	4,74
PE12/ME	4x4	FGTOM1 0.6/1 kV	EPR	RAME	210	8	30	0,57	18	18	3,272E+05	1,25	4,24
PE1/RC	4x4	FGTOM1 0.6/1 kV	EPR	RAME	150	8	30	0,57	18	18	3,272E+05	1,39	3,9
PE2/RC	4x4	FGTOM1 0.6/1 kV	EPR	RAME	135	8	30	0,57	18	18	3,272E+05	1,31	3,32
PE3/RC	4x6	FGTOM1 0.6/1 kV	EPR	RAME	435	8	30	0,57	23	23	7,362E+05	2,19	6,54
PE4/RC	4x6	FGTOM1 0.6/1 kV	EPR	RAME	420	8	30	0,57	23	23	7,362E+05	2,29	6,23

Sigla utenza	Formazione	Designazione	Isol.	Mat.	Lc	Prx.	T	k	Iz [A]	Izn [A]	K2S2(F) [A²s]	Cdt %	CdtIn%
PE5/RC	4x10	FG70M1 0.6/1 kV	EPR	RAME	735	8	30	0,57	31	31	2,045E+06	1,51	5,38
PE6/RC	4x10	FG70M1 0.6/1 kV	EPR	RAME	720	8	30	0,57	31	31	2,045E+06	2,13	6,34
PE7/RC	4x10	FG70M1 0.6/1 kV	EPR	RAME	1040	8	30	0,57	31	31	2,045E+06	2,75	8,69
PE8/RC	4x10	FG70M1 0.6/1 kV	EPR	RAME	1025	8	30	0,57	31	31	2,045E+06	2,13	7,08
PE9/RC	4x16	FG70M1 0.6/1 kV	EPR	RAME	1290	8	30	0,57	41	41	5,235E+06	2,28	7,08
PE10/RC	4x16	FG70M1 0.6/1 kV	EPR	RAME	1275	8	30	0,57	41	41	5,235E+06	2,33	7,01
PE11/RC	4x16	FG70M1 0.6/1 kV	EPR	RAME	1595	8	30	0,57	41	41	5,235E+06	1,88	7,02
PE12/RC	4x16	FG70M1 0.6/1 kV	EPR	RAME	1580	8	30	0,57	41	41	5,235E+06	2,91	8,26
PE13/ME	4x16	FTG100M1 0.6/1 kV	EPR	RAME	300	8	20	0,78	78	78	5,235E+06	3,18	9,32
PE14/2/ME	4x16	FTG100M1 0.6/1 kV	EPR	RAME	300	8	20	0,78	78	78	5,235E+06	3,2	9,05
PE2/1/ME	4x16	FTG100M1 0.6/1 kV	EPR	RAME	300	8	20	0,78	78	78	5,235E+06	3,39	10,12
PE3/1/ME	4x16	FTG100M1 0.6/1 kV	EPR	RAME	315	8	20	0,78	78	78	5,235E+06	3,03	8,26
PE3/2/ME	4x16	FTG100M1 0.6/1 kV	EPR	RAME	315	8	20	0,78	78	78	5,235E+06	3,2	8,55
PE4/1/ME	4x16	FTG100M1 0.6/1 kV	EPR	RAME	315	8	20	0,78	78	78	5,235E+06	1,85	7,4
PE5/1/ME	4x16	FTG100M1 0.6/1 kV	EPR	RAME	310	8	20	0,78	78	78	5,235E+06	2,57	7,18
PE6/2/ME	4x16	FTG100M1 0.6/1 kV	EPR	RAME	310	8	20	0,78	78	78	5,235E+06	2,74	7,18
PE6/1/ME	4x16	FTG100M1 0.6/1 kV	EPR	RAME	310	8	20	0,78	78	78	5,235E+06	2,42	7,48
PE7/1/ME	4x10	FTG100M1 0.6/1 kV	EPR	RAME	300	8	20	0,78	58	58	2,045E+06	2,55	8,34
PE7/2/ME	4x10	FTG100M1 0.6/1 kV	EPR	RAME	300	8	20	0,78	58	58	2,045E+06	2,59	7,91
PE8/1/ME	4x10	FTG100M1 0.6/1 kV	EPR	RAME	300	8	20	0,78	58	58	2,045E+06	2,67	9,14
PE9/1/ME	4x6	FTG100M1 0.6/1 kV	EPR	RAME	330	8	20	0,78	42	42	7,362E+05	3	11,21
PE10/1/ME	4x6	FTG100M1 0.6/1 kV	EPR	RAME	330	8	20	0,78	42	42	7,362E+05	3,13	11,4
PE11/1/ME	4x4	FTG100M1 0.6/1 kV	EPR	RAME	305	8	20	0,78	33	33	3,272E+05	2,57	10,43
PE12/1/ME	4x4	FTG100M1 0.6/1 kV	EPR	RAME	305	8	20	0,78	33	33	3,272E+05	1,81	8,79
PE13/RC	4x4	FTG100M1 0.6/1 kV	EPR	RAME	355	8	20	0,78	33	33	3,272E+05	1,85	9,95
PE2/2/RC	4x4	FTG100M1 0.6/1 kV	EPR	RAME	300	8	20	0,78	33	33	3,272E+05	1,86	7,8
PE3/1/RC	4x6	FTG100M1 0.6/1 kV	EPR	RAME	325	8	20	0,78	42	42	7,362E+05	2,88	10,59
PE4/1/RC	4x6	FTG100M1 0.6/1 kV	EPR	RAME	325	8	20	0,78	42	42	7,362E+05	3,06	10,19
PE5/1/RC	4x10	FTG100M1 0.6/1 kV	EPR	RAME	310	8	20	0,78	58	58	2,045E+06	1,74	7,18

Sigla utenza	Formazione	Designazione	Isol.	Mat.	Lc	Prx.	T	k	Iz [A]	Izn [A]	K2S2(F) [A^2s]	Cdt %	CdtIn%
PEG/L/RC	4x10	FTG100M1 0,6/1 kV	EPR	RAME	310	8	20	0,78	58	58	2,045E+06	2,5	8,59
PE7/L/RC	4x10	FTG100M1 0,6/1 kV	EPR	RAME	300	8	20	0,78	58	58	2,045E+06	3,1	10,86
PE8/L/RC	4x10	FTG100M1 0,6/1 kV	EPR	RAME	300	8	20	0,78	58	58	2,045E+06	2,37	8,82
PE9/L/RC	4x16	FTG100M1 0,6/1 kV	EPR	RAME	350	8	20	0,78	78	78	5,235E+06	2,57	8,69
PE10/L/RC	4x16	FTG100M1 0,6/1 kV	EPR	RAME	350	8	20	0,78	78	78	5,235E+06	2,62	8,62
PE11/L/RC	4x16	FTG100M1 0,6/1 kV	EPR	RAME	335	8	20	0,78	78	78	5,235E+06	2,05	8,25
PE12/L/RC	4x16	FTG100M1 0,6/1 kV	EPR	RAME	335	8	20	0,78	78	78	5,235E+06	3,21	9,77

Legenda

Lc: lunghezza cavo [m]

Prx.: numero circuiti in prossimità

T: temperatura ambiente [°C]

Cdt %: caduta di tensione alla corrente Ib

CdtIn %: caduta di tensione alla corrente In

-[C]: il Conduttore dell'utenza è comune ad altre utenze

[C]: il Conduttore dell'utenza è comune ad altre utenze (neutri separati)

Ci: utilizza il Conduttore di un'altra utenza

-[PE]: il PE dell'utenza è comune ad altre utenze

PEi: utilizza il PE di un'altra utenza

Sigla utenza	Coord. Ib<In<Iz	PdI	K ² S ² >I ² t	Sg. mag.<I magmax	Contatti ind.
+CABINA.Q_ IL					
IGN_IL	253,1<=400 A (Ib < In)			Verificato	Verificato
IGN_ME	36,2<=255 A (Ib < In)			Verificato	Verificato
IGN_RC	216,9<=400 A (Ib < In)			Verificato	Verificato
ILN_ME1	23,2<=160 A (Ib < In)	50>=32,13 kA	Verificato	800<22,114 A	Verificato
ILN_ME2	13<-96<=105 A	50>=32,13 kA	Verificato	480<5,835 A	Verificato
ILN_RC1	21,3<=160 A (Ib < In)	50>=32,13 kA	Verificato	800<22,114 A	Verificato
ILN_RC2	127,4<=160 <=187,2 A	50>=32,13 kA	Verificato	800<10,732 A	Verificato
ILN_RC3	68,1<=160 <=161,4 A	50>=32,13 kA	Verificato	800<9,194 A	Verificato
PO1/ME	2,3<=6<=41 A	40>=32,13 kA	Verificato	30<42 A	Verificato
PO2/ME	2,1<=6<=41 A	40>=32,13 kA	Verificato	30<42 A	Verificato
PO3/ME	2,5<=6<=41 A	40>=32,13 kA	Verificato	30<52 A	Verificato
PO4/ME	1,4<=6<=41 A	40>=32,13 kA	Verificato	30<51 A	Verificato
PO5/ME	2,5<=6<=41 A	40>=32,13 kA	Verificato	30<66 A	Verificato
PO6/ME	2,1<=6<=41 A	40>=32,13 kA	Verificato	30<65 A	Verificato
PO7/ME	2,3<=6<=31,3 A	40>=32,13 kA	Verificato	30<57 A	Verificato
PO8/ME	1,8<=6<=31,3 A	40>=32,13 kA	Verificato	30<56 A	Verificato
PO9/ME	1,8<=6<=23,3 A	40>=32,13 kA	Verificato	30<54 A	Verificato
PO10/ME	1,8<=6<=23,3 A	40>=32,13 kA	Verificato	30<53 A	Verificato
PO11/ME	1,8<=6<=18,2 A	40>=32,13 kA	Verificato	30<89 A	Verificato
PO12/ME	1,4<=6<=18,2 A	40>=32,13 kA	Verificato	30<83 A	Verificato
PO13/ME	1<=6 A (Ib < In)	80>=26,87 kA	Verificato	30<22,108 A	Verificato
PO14/ME	0<=6 A (Ib < In)	40>=32,13 kA	Verificato	30<22,114 A	Verificato
ILN_ME2/1	13<=32 A (Ib < In)		Verificato		Verificato
PO1/RC	1,8<=6<=18,2 A	40>=32,13 kA	Verificato	30<116 A	Verificato
PO2/RC	2,3<=6<=18,2 A	40>=32,13 kA	Verificato	30<128 A	Verificato
PO3/RC	1,8<=6<=23,3 A	40>=32,13 kA	Verificato	30<60 A	Verificato
PO4/RC	2,1<=6<=23,3 A	40>=32,13 kA	Verificato	30<62 A	Verificato
PO5/RC	1,4<=6<=31,3 A	40>=32,13 kA	Verificato	30<61 A	Verificato
PO6/RC	1,8<=6<=31,3 A	40>=32,13 kA	Verificato	30<62 A	Verificato

Sigla utenza	Coord. Ib<In<Iz	PdI	K²S²>I²t	Sg. mag.<I magmax	Contatti ind.
PO7/RC	1,8<=6<=31,3 A	40>=32,-13 kA	Verificato	30<43 A	Verificato
PO8/RC	1,6<=6<=31,3 A	40>=32,-13 kA	Verificato	30<44 A	Verificato
PO9/RC	1,8<=6<=41 A	40>=32,-13 kA	Verificato	30<55 A	Verificato
PO10/RC	1,8<=6<=41 A	40>=32,-13 kA	Verificato	30<56 A	Verificato
PO11/RC	1,4<=6<=41 A	40>=32,-13 kA	Verificato	30<45 A	Verificato
PO12/RC	2,1<=6<=41 A	40>=32,-13 kA	Verificato	30<45 A	Verificato
PO13/RC	1<=6 A (Ib < In)	80>=26,37 kA	Verificato	30<22,108 A	Verificato
PO14/RC	0<=6 A (Ib < In)	40>=32,-13 kA	Verificato	30<22,114 A	Verificato
ILN_RC2/1	127,4<=160 A (Ib < In)		Verificato		Verificato
ILN_RC3/1	68,1<=127 A (Ib < In)		Verificato		Verificato
PO1/1/ME	0,9<=6<=77,8 A		Verificato		Verificato
PO1/2/ME	1,4<=6<=77,8 A		Verificato		Verificato
PO2/1/ME	2,1<=6<=77,8 A		Verificato		Verificato
PO3/1/ME	0,7<=6<=77,8 A		Verificato		Verificato
PO3/2/ME	1,8<=6<=77,8 A		Verificato		Verificato
PO4/1/ME	1,4<=6<=77,8 A		Verificato		Verificato
PO5/1/ME	0,9<=6<=77,8 A		Verificato		Verificato
PO5/2/ME	1,8<=6<=77,8 A		Verificato		Verificato
PO6/1/ME	2,1<=6<=77,8 A		Verificato		Verificato
PO7/1/ME	0,9<=6<=58,3 A		Verificato		Verificato
PO7/2/ME	1,4<=6<=58,3 A		Verificato		Verificato
PO8/1/ME	1,8<=6<=58,3 A		Verificato		Verificato
PO9/1/ME	1,8<=6<=42 A		Verificato		Verificato
PO10/1/ME	1,8<=6<=42 A		Verificato		Verificato
PO11/1/ME	1,8<=6<=32,7 A		Verificato		Verificato
PO12/1/ME	1,4<=6<=32,7 A		Verificato		Verificato
RUI/ME	6,5<=16<=30,7 A	25>=17,97 kA	Verificato	80<165 A	Verificato
RU2/ME	6,5<=16<=30,7 A	25>=17,97 kA	Verificato	80<156 A	Verificato
PO1/1/RC	1,8<=6<=32,7 A		Verificato		Verificato
PO2/1/RC	0,9<=6<=32,7 A		Verificato		Verificato

Sigla utenza	Coord. Ib<In<Iz	PdI	K²S²>I²t	Sg. mag.<I magmax	Contatti ind.
PO2/2/RC	1,4<=6<=32,7 A			Verificato	Verificato
PO3/1/RC	1,8<=6<=42 A			Verificato	Verificato
PO4/1/RC	2,1<=6<=42 A			Verificato	Verificato
PO5/1/RC	1,4<=6<=58,3 A			Verificato	Verificato
PO6/1/RC	1,8<=6<=58,3 A			Verificato	Verificato
PO7/1/RC	1,8<=6<=58,3 A			Verificato	Verificato
PO8/1/RC	1,6<=6<=58,3 A			Verificato	Verificato
PO9/1/RC	1,8<=6<=77,8 A			Verificato	Verificato
PO10/1/RC	1,8<=6<=77,8 A			Verificato	Verificato
PO11/1/RC	1,4<=6<=77,8 A			Verificato	Verificato
PO12/1/RC	2,1<=6<=77,8 A			Verificato	Verificato
RI1/RC	63,5<=100<=121,1 A	36>=23,13 kA		Verificato	Prot. contatti indiretti
RI2/RC	32<=63<=83,7 A	30>=23,13 kA		Verificato	Prot. contatti indiretti
RI3/RC	31,9<=63<=83,7 A	30>=23,13 kA		Verificato	Prot. contatti indiretti
RI4/RC	33,9<=63<=83,7 A	30>=22,07 kA		Verificato	Prot. contatti indiretti
RI5/RC	17,2<=32<=55,8 A	40>=22,07 kA		Verificato	Prot. contatti indiretti
RI6/RC	17,1<=32<=55,8 A	40>=22,07 kA		Verificato	Prot. contatti indiretti
IGCA_1L	44,5<=96 A (Ib < In)			Verificato	Verificato
PO1-L1/N	1,8<=6<=38,9 A			Verificato	Verificato
PO1-L2/N	1,4<=6<=38,9 A			Verificato	Verificato
PO1-3/N	1,4<=6<=38,9 A			Verificato	Verificato
PO2/1-L1/N	0,9<=6<=38,9 A			Verificato	Verificato
PO2/1-L2/N	0,9<=6<=38,9 A			Verificato	Verificato
PO2/1L3/N	0,7<=6<=38,9 A			Verificato	Verificato
PO2/2-L1/N	1,4<=6<=38,9 A			Verificato	Verificato
PO2/2-L2/N	1,4<=6<=38,9 A			Verificato	Verificato
PO2/2-L3/N	1,4<=6<=38,9 A			Verificato	Verificato
PO3-L1/N	1,8<=6<=38,9 A			Verificato	Verificato
PO3-L2/N	1,4<=6<=38,9 A			Verificato	Verificato
PO3-L3/N	1,4<=6<=38,9 A			Verificato	Verificato

Sigla utenza	Coord. Ib<In<Iz	PdI	K²S²>I²t	Sg. mag.<I magmax	Contatti ind.
PO4-L1/N		2,1<=6<=38,9 A		Verificato	Verificato
PO4-L2/N		1,6<=6<=38,9 A		Verificato	Verificato
PO4-L3/N		1,6<=6<=38,9 A		Verificato	Verificato
PO5-L1/N		1,4<=6<=38,9 A		Verificato	Verificato
PO5-L2/N		1,4<=6<=38,9 A		Verificato	Verificato
PO5-L3/N		1,4<=6<=38,9 A		Verificato	Verificato
PO6-L1/N		1,8<=6<=38,9 A		Verificato	Verificato
PO6-L2/N		1,4<=6<=38,9 A		Verificato	Verificato
PO6-L3/N		1,4<=6<=38,9 A		Verificato	Verificato
PO7-L1/N		1,4<=6<=38,9 A		Verificato	Verificato
PO7-L2/N		1,4<=6<=38,9 A		Verificato	Verificato
PO7-L3/N		1,8<=6<=38,9 A		Verificato	Verificato
PO8-L1/N		1,6<=6<=38,9 A		Verificato	Verificato
PO8-L2/N		1,6<=6<=38,9 A		Verificato	Verificato
PO8-L3/N		1,6<=6<=38,9 A		Verificato	Verificato
PO9-L1/N		1,4<=6<=38,9 A		Verificato	Verificato
PO9-L2/N		1,8<=6<=38,9 A		Verificato	Verificato
PO9-L3/N		1,4<=6<=38,9 A		Verificato	Verificato
PO10-L1/N		1,8<=6<=38,9 A		Verificato	Verificato
PO10-L2/N		1,4<=6<=38,9 A		Verificato	Verificato
PO10-L3/N		1,4<=6<=38,9 A		Verificato	Verificato
PO11-L1/N		1,4<=6<=38,9 A		Verificato	Verificato
PO11-L2/N		1,4<=6<=38,9 A		Verificato	Verificato
PO11-L3/N		1,4<=6<=38,9 A		Verificato	Verificato
PO12-L1/N		1,6<=6<=38,9 A		Verificato	Verificato
PO12-L2/N		2,1<=6<=38,9 A		Verificato	Verificato
PO12-L3/N		1,6<=6<=38,9 A		Verificato	Verificato
IGCA_ME		23,2<=84 A (Ib < In)		Verificato	Verificato
IGCA_RC		21,3<=84 A (Ib < In)		Verificato	Verificato
PE1/ME		2,3<=6<=41 A	25>=20,55 kA	Verificato	Verificato
				30<42 A	

Sigla utenza	Coord. Ib<In<Iz	PdI	K²S²>I²t	Sg. mag.<I magmax	Contatti ind.
PE2/ME		2,1<=6<=41 A	25>=20,55 kA	Verificato	30<42 A Verificato
PE3/ME		2,5<=6<=41 A	25>=20,55 kA	Verificato	30<52 A Verificato
PE4/ME		1,4<=6<=41 A	25>=20,55 kA	Verificato	30<51 A Verificato
PE5/ME		2,5<=6<=41 A	25>=20,55 kA	Verificato	30<65 A Verificato
PE6/ME		2,1<=6<=41 A	25>=20,55 kA	Verificato	30<64 A Verificato
PE7/ME		2,3<=6<=31,3 A	25>=20,55 kA	Verificato	30<57 A Verificato
PE8/ME		1,8<=6<=31,3 A	25>=20,55 kA	Verificato	30<56 A Verificato
PE9/ME		1,8<=6<=23,3 A	25>=20,55 kA	Verificato	30<54 A Verificato
PE10/ME		1,8<=6<=23,3 A	25>=20,55 kA	Verificato	30<52 A Verificato
PE11/ME		1,8<=6<=18,2 A	25>=20,55 kA	Verificato	30<38 A Verificato
PE12/ME		1,4<=6<=18,2 A	25>=20,55 kA	Verificato	30<32 A Verificato
PE13/ME		1<=6 A (Ib < In)	25>=13,43 kA	Verificato	30<9,405 A Verificato
PE14/ME		0<=6 A (Ib < In)	25>=20,55 kA	Verificato	30<9,407 A Verificato
PE1/RC		1,8<=6<=18,2 A	25>=20,55 kA	Verificato	30<115 A Verificato
PE2/RC		2,3<=6<=18,2 A	25>=20,55 kA	Verificato	30<127 A Verificato
PE3/RC		1,8<=6<=23,3 A	25>=20,55 kA	Verificato	30<60 A Verificato
PE4/RC		2,1<=6<=23,3 A	25>=20,55 kA	Verificato	30<62 A Verificato
PE5/RC		1,4<=6<=31,3 A	25>=20,55 kA	Verificato	30<61 A Verificato
PE6/RC		1,8<=6<=31,3 A	25>=20,55 kA	Verificato	30<62 A Verificato
PE7/RC		1,8<=6<=31,3 A	25>=20,55 kA	Verificato	30<43 A Verificato
PE8/RC		1,6<=6<=31,3 A	25>=20,55 kA	Verificato	30<44 A Verificato
PE9/RC		1,8<=6<=41 A	25>=20,55 kA	Verificato	30<55 A Verificato
PE10/RC		1,8<=6<=41 A	25>=20,55 kA	Verificato	30<56 A Verificato
PE11/RC		1,4<=6<=41 A	25>=20,55 kA	Verificato	30<44 A Verificato
PE12/RC		2,1<=6<=41 A	25>=20,55 kA	Verificato	30<45 A Verificato
PE13/RC		1<=6 A (Ib < In)	50>=13,43 kA	Verificato	30<9,405 A Verificato
PE14/RC		0<=6 A (Ib < In)	25>=20,55 kA	Verificato	30<9,407 A Verificato
PE1/1/ME		0,9<=6<=77,8 A		Verificato	Verificato
PE1/2/ME		1,4<=6<=77,8 A		Verificato	Verificato
PE2/1/ME		2,1<=6<=77,8 A		Verificato	Verificato

Sigla utenza	Coord. Ib<In<Iz	PdI	K²S²>I²t	Sg. mag.<I magmax	Contatti ind.
PE3/1/ME		0,7<=6<=77,8 A		Verificato	Verificato
PE3/2/ME		1,8<=6<=77,8 A		Verificato	Verificato
PE4/1/ME		1,4<=6<=77,8 A		Verificato	Verificato
PE5/1/ME		0,9<=6<=77,8 A		Verificato	Verificato
PE5/2/ME		1,8<=6<=77,8 A		Verificato	Verificato
PE6/1/ME		2,1<=6<=77,8 A		Verificato	Verificato
PE7/1/ME		0,9<=6<=58,3 A		Verificato	Verificato
PE7/2/ME		1,4<=6<=58,3 A		Verificato	Verificato
PE8/1/ME		1,8<=6<=58,3 A		Verificato	Verificato
PE9/1/ME		1,8<=6<=42 A		Verificato	Verificato
PE10/1/ME		1,8<=6<=42 A		Verificato	Verificato
PE11/1/ME		1,8<=6<=32,7 A		Verificato	Verificato
PE12/1/ME		1,4<=6<=32,7 A		Verificato	Verificato
PE1/1/RC		1,8<=6<=32,7 A		Verificato	Verificato
PE2/1/RC		0,9<=6<=32,7 A		Verificato	Verificato
PE2/2/RC		1,4<=6<=32,7 A		Verificato	Verificato
PE3/1/RC		1,8<=6<=42 A		Verificato	Verificato
PE4/1/RC		2,1<=6<=42 A		Verificato	Verificato
PE5/1/RC		1,4<=6<=58,3 A		Verificato	Verificato
PE6/1/RC		1,8<=6<=58,3 A		Verificato	Verificato
PE7/1/RC		1,8<=6<=58,3 A		Verificato	Verificato
PE8/1/RC		1,6<=6<=58,3 A		Verificato	Verificato
PE9/1/RC		1,8<=6<=77,8 A		Verificato	Verificato
PE10/1/RC		1,8<=6<=77,8 A		Verificato	Verificato
PE11/1/RC		1,4<=6<=77,8 A		Verificato	Verificato
PE12/1/RC		2,1<=6<=77,8 A		Verificato	Verificato

Legenda
PdI: potere di interruzione o di corto circuito della protezione
I magmax: corrente magnetica massima pari alla corrente di guasto minima
K²S²>I²t: verifica a cortocircuito della linea

Q_ SA

Sigla utenza	Formazione	Designazione	Isol.	Mat.	Lc	Prx.	T	k	Iz [A]	Izn [A]	K2S2(F) [A^2s]	Cdt %	CdtIn%
+CABINA.Q_SA													
SAN_1	5G4	FGTOM1 0.6/1 kV	EPR	RAME	25	5	30	0,6	21	21	3,272E+05	0,39	1,79
SAN_2	5G4	FGTOM1 0.6/1 kV	EPR	RAME	20	5	30	0,6	21	21	3,272E+05	0,38	1,62
SAN_3	5G4	FGTOM1 0.6/1 kV	EPR	RAME	10	5	30	0,6	21	21	3,272E+05	0,36	1,26
SAN_4	5G4	FGTOM1 0.6/1 kV	EPR	RAME	15	5	30	0,6	21	21	3,272E+05	0,37	1,44
SAN_5	5G4	FGTOM1 0.6/1 kV	EPR	RAME	20	5	30	0,6	21	21	3,272E+05	0,38	1,62
SAN_6	5G4	FGTOM1 0.6/1 kV	EPR	RAME	30	5	30	0,6	21	21	3,272E+05	0,4	1,97
SAN_7	5G4	FGTOM1 0.6/1 kV	EPR	RAME	35	5	30	0,6	21	21	3,272E+05	0,41	2,15
SAN_8	3G2,5	FGTOM1 0.6/1 kV	EPR	RAME	20	5	30	0,6	18	18	1,278E+05	0,47	1,07
SAN_9	3G2,5	FGTOM1 0.6/1 kV	EPR	RAME	20	5	30	0,6	18	18	1,278E+05	0,62	1,18
SAN_10	3G2,5	FGTOM1 0.6/1 kV	EPR	RAME	10	5	30	0,6	18	18	1,278E+05	0,3	1,04
SAN_11	3G2,5	FGTOM1 0.6/1 kV	EPR	RAME	15	5	30	0,6	18	18	1,278E+05	0,46	1,11
SAN_12	3G2,5	FGTOM1 0.6/1 kV	EPR	RAME	15	5	30	0,6	18	18	1,278E+05	0,51	1,11
SAN_13	3G2,5	FGTOM1 0.6/1 kV	EPR	RAME	20	5	30	0,6	18	18	1,278E+05	0,32	1,07
SAN_14	3G10	FGTOM1 0.6/1 kV	EPR	RAME	10	5	30	0,6	41	41	2,045E+06	0,86	1,53
SAN_15	3G10	FGTOM1 0.6/1 kV	EPR	RAME	10	5	30	0,6	41	41	2,045E+06	0,91	1,53
SAN_16	3G10	FGTOM1 0.6/1 kV	EPR	RAME	15	5	30	0,6	41	41	2,045E+06	0,81	1,84
SAN_17	3G10	FGTOM1 0.6/1 kV	EPR	RAME	15	5	30	0,6	41	41	2,045E+06	0,96	1,84
SAN_18	3G10	FGTOM1 0.6/1 kV	EPR	RAME	20	5	30	0,6	41	41	2,045E+06	1,22	2,15
SAN_19	3G10	FGTOM1 0.6/1 kV	EPR	RAME	20	5	30	0,6	41	41	2,045E+06	1,03	2,15
SAN_20	5G4	FGTOM1 0.6/1 kV	EPR	RAME	30	5	30	0,6	21	21	3,272E+05	1,12	1,97
SAN_21	4G4	FGTOM1 0.6/1 kV	EPR	RAME	30	5	30	0,6	21	0	3,272E+05	0,59	1,57
SAN_22	5G4	FGTOM1 0.6/1 kV	EPR	RAME	30	5	30	0,6	21	21	3,272E+05	0,52	1,97
SAN_23	5G4	FGTOM1 0.6/1 kV	EPR	RAME	30	5	30	0,6	21	21	3,272E+05	0,47	1,97
SAN_24	2x10	FGTOM1 0.6/1 kV	EPR	RAME	175	5	30	0,6	41	41	2,045E+06	1,94	2,94
SAN_25	2x10	FGTOM1 0.6/1 kV	EPR	RAME	210	5	30	0,6	41	41	2,045E+06	2,31	3,34
SAN_26	3x(1x120)+1x70	FGTOM1 0.6/1 kV	EPR	RAME	1625	8	30	0,57	143	105	2,945E+08	3,46	10,65
SAN_27	3x(1x120)+1x70	FGTOM1 0.6/1 kV	EPR	RAME	1740	8	30	0,57	143	105	2,945E+08	3,63	11,35
SAC_LT1	3G4	FGTOM1 0.6/1 kV	EPR	RAME	20	5	30	0,6	24	24	3,272E+05	0,94	2,51
SAC_LT2	3G2,5	FGTOM1 0.6/1 kV	EPR	RAME	25	5	30	0,6	18	18	1,278E+05	0,62	2,29

Sigla utenza	Formazione	Designazione	Isol.	Mat.	Lc	Prx.	T	k	Iz [A]	Izn [A]	K2S2(F) [A^2s]	Cdt %	CdtIn%
SAC_LT3	3G2.5	FG7OM1 0.6/1 kV	EPR	RAME	20	5	30	0,6	18	18	1,278E+05	0,54	2,05
SAC_LT4	3G2.5	FG7OM1 0.6/1 kV	EPR	RAME	10	5	30	0,6	18	18	1,278E+05	0,75	1,57
SAC_LT5	3G2.5	FG7OM1 0.6/1 kV	EPR	RAME	15	5	30	0,6	18	18	1,278E+05	0,64	1,81
SAC_LT6	3G2.5	FG7OM1 0.6/1 kV	EPR	RAME	20	5	30	0,6	18	18	1,278E+05	0,54	2,05
SAC_LT7	3G2.5	FG7OM1 0.6/1 kV	EPR	RAME	30	5	30	0,6	18	18	1,278E+05	0,9	2,53
SAC_LT8	3G2.5	FG7OM1 0.6/1 kV	EPR	RAME	35	5	30	0,6	18	18	1,278E+05	0,77	2,77
SAC_LT9	3G4	FG7OM1 0.6/1 kV	EPR	RAME	30	5	30	0,6	24	24	3,272E+05	1,9	3,48
SAC_LT10	3G4	FG7OM1 0.6/1 kV	EPR	RAME	25	5	30	0,6	24	24	3,272E+05	1,89	2,87
SAC_LT12	3G2.5	FG7OM1 0.6/1 kV	EPR	RAME	15	5	30	0,6	18	18	1,278E+05	0,76	1,74
SAC_LT13	3G2.5	FG7OM1 0.6/1 kV	EPR	RAME	5	5	30	0,6	18	18	1,278E+05	0,79	1,31
SAC_LT14	3G2.5	FG7OM1 0.6/1 kV	EPR	RAME	15	5	30	0,6	18	18	1,278E+05	1,11	2,16
SAC_LT15	3G2.5	FG7OM1 0.6/1 kV	EPR	RAME	15	5	30	0,6	18	18	1,278E+05	0,64	1,74
SAC_LT16	3G2.5	FG7OM1 0.6/1 kV	EPR	RAME	15	5	30	0,6	18	18	1,278E+05	0,98	1,74
SAC_LT19	3G4	FG7OM1 0.6/1 kV	EPR	RAME	20	5	30	0,6	24	24	3,272E+05	1,65	2,34
SAC_LT20	3G4	FG7OM1 0.6/1 kV	EPR	RAME	20	5	30	0,6	24	24	3,272E+05	0,63	1,69
SAC_LT21	3G4	FG7OM1 0.6/1 kV	EPR	RAME	20	5	30	0,6	24	24	3,272E+05	0,57	1,69
SAC_LT22	3G4	FG7OM1 0.6/1 kV	EPR	RAME	20	5	30	0,6	24	24	3,272E+05	1,41	2,68
SAC_LT23	3G4	FG7OM1 0.6/1 kV	EPR	RAME	20	5	30	0,6	24	24	3,272E+05	1,25	2,34
SAC_LT24	3G4	FG7OM1 0.6/1 kV	EPR	RAME	20	5	30	0,6	24	24	3,272E+05	1,19	2,34
SAC_LT25	3G4	FG7OM1 0.6/1 kV	EPR	RAME	20	5	30	0,6	24	24	3,272E+05	1,41	2,34
SAC_LT26	3G2.5	FG7OM1 0.6/1 kV	EPR	RAME	15	5	30	0,6	18	18	1,278E+05	0,68	1,81
SAC_LT27	3G2.5	FG7OM1 0.6/1 kV	EPR	RAME	15	5	30	0,6	18	18	1,278E+05	0,77	1,81
SAC_LT28	3G2.5	FG7OM1 0.6/1 kV	EPR	RAME	15	5	30	0,6	18	18	1,278E+05	0,98	1,81
SAC_RC1	2x10	FG7OM1 0.6/1 kV	EPR	RAME	1625	8	30	0,57	38	38	2,045E+06	3,84	20,1
SAC_RC2	2x4	FG7OM1 0.6/1 kV	EPR	RAME	205	8	30	0,57	22	22	3,272E+05	1,51	7,21
SAC_RC3	3x(1x7)+1x35	FG7M1 0.6/1 kV	EPR	RAME	1800	8	30	0,57	105	69	1,002E+08	2,9	6,27
SAC_RC4	2x(1x25)	FG7M1 0.6/1 kV	EPR	RAME	1770	8	30	0,57	67	67	1,278E+07	3,52	8,95
SAC_RC5	2x(1x25)	FG7M1 0.6/1 kV	EPR	RAME	1825	8	30	0,57	67	67	1,278E+07	2,86	9,2
SAC_RC6	2x(1x35)	FG7M1 0.6/1 kV	EPR	RAME	1920	8	30	0,57	82	82	2,505E+07	3,39	7,33
SAC_RC7	2x6	FG7OM1 0.6/1 kV	EPR	RAME	1765	8	30	0,57	28	28	7,362E+05	3,69	33,7

Sigla utenza	Formazione	Designazione	Isol.	Mat.	Lc	Prx.	T	k	Iz [A]	Izn [A]	K2S2(F) [A^2s]	Cdt %	CdtIn%
SAC_RC8	4x4	FG7OM1 0.6/1 kV	EPR	RAME	150	8	30	0,57	18	18	3,272E+05	0,74	5,09
SAC_RC9	2x(1x70)	FG7M1 0.6/1 kV	EPR	RAME	1770	8	30	0,57	124	124	1,002E+08	3,31	9,23
SAC_RC10	2x(1x70)	FG7M1 0.6/1 kV	EPR	RAME	1640	8	30	0,57	124	124	1,002E+08	2,82	8,63
SAC_RC11	2x16	FG7OM1 0.6/1 kV	EPR	RAME	1770	8	30	0,57	49	49	5,235E+06	2,84	13
SAC_RC12	2x16	FG7OM1 0.6/1 kV	EPR	RAME	1640	8	30	0,57	49	49	5,235E+06	2,35	12,11
SAC_RC13	2x(1x50)	FG7M1 0.6/1 kV	EPR	RAME	1845	8	30	0,57	101	101	5,112E+07	2,95	8,21
SAC_RC14	3G4	FG7OM1 0.6/1 kV	EPR	RAME	180	8	30	0,57	22	22	3,272E+05	0,62	6,32
SAC_ME1	2x16	FG7OM1 0.6/1 kV	EPR	RAME	1740	8	30	0,57	49	49	5,235E+06	3	14
SAC_ME2	2x4	FG7OM1 0.6/1 kV	EPR	RAME	280	8	30	0,57	22	22	3,272E+05	1,96	9,45
SAC_ME3	3x(1x50)+1x25	FG7M1 0.6/1 kV	EPR	RAME	1870	8	30	0,57	85	85	5,112E+07	3,08	7,52
SAC_ME4	2x(1x35)	FG7M1 0.6/1 kV	EPR	RAME	1900	8	30	0,57	82	82	2,505E+07	3	7,26
SAC_ME5	2x(1x35)	FG7OM1 0.6/1 kV	EPR	RAME	1985	8	30	0,57	82	82	2,505E+07	2,4	7,54
SAC_ME6	2x(1x35)	FG7M1 0.6/1 kV	EPR	RAME	1890	8	30	0,57	82	82	2,505E+07	3,27	7,23
SAC_ME7	2x6	FG7OM1 0.6/1 kV	EPR	RAME	1905	8	30	0,57	28	28	7,362E+05	3,87	36,4
SAC_ME8	2x(1x70)	FG7M1 0.6/1 kV	EPR	RAME	1900	8	30	0,57	124	124	1,002E+08	3,56	9,83
SAC_ME9	2x(1x70)	FG7M1 0.6/1 kV	EPR	RAME	1725	8	30	0,57	124	124	1,002E+08	3,07	9,02
SAC_ME10	2x16	FG7OM1 0.6/1 kV	EPR	RAME	1900	8	30	0,57	49	49	5,235E+06	2,92	13,88
SAC_ME11	2x16	FG7OM1 0.6/1 kV	EPR	RAME	1725	8	30	0,57	49	49	5,235E+06	2,42	12,69
SAC_ME12	2x(1x50)	FG7M1 0.6/1 kV	EPR	RAME	1960	8	30	0,57	101	101	5,112E+07	3,43	8,65
SAC_EX1	3G4	FG7OR 0.6/1 kV	EPR	RAME	380	8	30	0,57	22	22	3,272E+05	3,4	11,3
SAC_EX2	5G4	FG7OR 0.6/1 kV	EPR	RAME	20	8	30	0,57	18	18	3,272E+05	0,7	1,4
SAC_EX3	5G10	FG7OR 0.6/1 kV	EPR	RAME	425	8	30	0,57	31	31	2,045E+06	3,45	6,45
SAC_EX4	3G6	FG7OR 0.6/1 kV	EPR	RAME	350	8	30	0,57	28	28	7,362E+05	2,76	8,08
SAC_EX5	3G4	FG7OR 0.6/1 kV	EPR	RAME	150	8	30	0,57	22	22	3,272E+05	0,83	5,56
SAC_EX6	3G4	FG7OR 0.6/1 kV	EPR	RAME	140	8	30	0,57	22	22	3,272E+05	1,36	4,83
SAC_EX7	3G4	FG7OR 0.6/1 kV	EPR	RAME	140	8	30	0,57	22	22	3,272E+05	2,2	4,83
SAC_EX2/1	5G4	FG7OR 0.6/1 kV	EPR	RAME	380	8	20	0,6	19	19	3,272E+05	0,84	7,08

Legenda

Lc: lunghezza cavo [m]
 Prx.: numero circuiti in prossimità
 T: temperatura ambiente [°C]
 Cdt: cd. caduta di tensione alla corrente Ib

Sigla utenza	Formazione	Designazione	Isol.	Mat.	Lc	Prx.	T	k	Iz [A]	Izn [A]	K ² S ² (F) [A ² s]	Cdt %	CdtIn%

CdtIn %: caduta di tensione alla corrente In

-[C]: il Conduttore dell'utenza è comune ad altre utenze

[C]: il Conduttore dell'utenza è comune ad altre utenze (neutri separati)

Ci: utilizza il Conduttore di un'altra utenza

-[PE]: il PE dell'utenza è comune ad altre utenze

PEi: utilizza il PE di un'altra utenza

Sigla utenza	Pn [kW]	Coef.	Pd [kW]	Carichi	Qn [kVAr]	Qrif [kVAr]	Cos φ	Vn [V]	Sistema	Cond. att.	Ib [A]	In [A]	Iz [A]
+CABINA.Q_SA													
IGN_SA	36,034	1	36,034	1	21,367	n.d.	0,86	400	TN-S	3	65,2	128	39,6
SAN_1	0,5	1	0,5	1	0,375	n.d.	0,8	400	TN-S	3	0,9	16	21
SAN_2	0,5	1	0,5	1	0,375	n.d.	0,8	400	TN-S	3	0,9	16	21
SAN_3	0,5	1	0,5	1	0,375	n.d.	0,8	400	TN-S	3	0,9	16	21
SAN_4	0,5	1	0,5	1	0,375	n.d.	0,8	400	TN-S	3	0,9	16	21
SAN_5	0,5	1	0,5	1	0,375	n.d.	0,8	400	TN-S	3	0,9	16	21
SAN_6	0,5	1	0,5	1	0,375	n.d.	0,8	400	TN-S	3	0,9	16	21
SAN_7	0,5	1	0,5	1	0,375	n.d.	0,8	400	TN-S	3	0,9	16	21
SAN_8	0,193	1	0,193	1	0,076	n.d.	0,93	231	TN-S	2 (L1-N)	0,9	1	18
SAN_9	0,329	1	0,329	1	0,108	n.d.	0,95	231	TN-S	2 (L2-N)	1,5	1,6	18
SAN_10	0,329	1	0,329	1	0,108	n.d.	0,95	231	TN-S	2 (L3-N)	1,5	1,6	18
SAN_11	0,241	1	0,241	1	0,079	n.d.	0,95	231	TN-S	2 (L1-N)	1,1	1,6	18
SAN_12	0,241	1	0,241	1	0,079	n.d.	0,95	231	TN-S	2 (L2-N)	1,1	1,6	18
SAN_13	0,193	1	0,193	1	0,076	n.d.	0,93	231	TN-S	2 (L3-N)	0,9	1	18
SAN_14	5,8	1	5,8	1	2,809	n.d.	0,9	231	TN-S	2 (L1-N)	27,9	32	41,4
SAN_15	5,8	1	5,8	1	2,809	n.d.	0,9	231	TN-S	2 (L2-N)	27,9	32	41,4
SAN_16	4,6	1	4,6	1	2,228	n.d.	0,9	231	TN-S	2 (L3-N)	22,1	32	41,4
SAN_17	4,6	1	4,6	1	2,228	n.d.	0,9	231	TN-S	2 (L1-N)	22,1	32	41,4
SAN_18	4,6	1	4,6	1	2,228	n.d.	0,9	231	TN-S	2 (L2-N)	22,1	32	41,4
SAN_19	4,6	1	4,6	1	2,228	n.d.	0,9	231	TN-S	2 (L3-N)	22,1	32	41,4
SAN_20	6,5	1	6,5	1	4,875	n.d.	0,8	400	TN-S	3	11,7	16	21
SAN_21	2,6	1	2,6	1	1,95	n.d.	0,8	400	TN-S	3	4,7	10	21
SAN_22	1,5	1	1,5	1	1,125	n.d.	0,8	400	TN-S	3	2,7	16	21
SAN_23	1,1	1	1,1	1	0,825	n.d.	0,8	400	TN-S	3	2	16	21
SAN_24	1	1	1	1	0,484	n.d.	0,9	231	TN-S	2 (L1-N)	4,8	6	41,4
SAN_25	1	1	1	1	0,484	n.d.	0,9	231	TN-S	2 (L2-N)	4,8	6	41,4
SAN_26	1,5	1	1,5	1	1,125	n.d.	0,8	400	TN-S	3	8,1	32	142,9
SAN_27	1,5	1	1,5	1	1,125	n.d.	0,8	400	TN-S	3	8,1	32	142,9
SAN_28	0	1	0	1	0	n.d.	0,9	400	TN-S	3	0	10	41,6

Sigla utenza	Pn [kW]	Coef.	Pd [kW]	Carichi	Qn [kVAr]	Qrif [kVAr]	Cos φ	Vn [V]	Sistema	Cond. att.	Ib [A]	In [A]	Iz [A]
SAN_29	0	1	0	1	0	n.d.	0,9	400	TN-S	3	0	16	15,6
SAN_30	0	1	0	1	0	n.d.	0,9	400	TN-S	3	0	16	15,6
SAN_31	0	1	0	1	0	n.d.	0,9	400	TN-S	3	0	16	15,6
SAN_32	0	1	0	1	0	n.d.	0,9	231	TN-S	2 (L1-N)	0	6	51,2
SAN_33	0	1	0	1	0	n.d.	0,9	231	TN-S	2 (L1-N)	0	6	64
IGCA_SA	52,992	1	52,992	1	39,167	n.d.	0,804	400	TN-S	3	108,6	128	39,6
IGCA_LT	15,22	1	15,22	1	11,271	n.d.	0,804	400	TN-S	3	43,7	128	18,2
IGCA_RC	17,534	1	17,534	1	13,049	n.d.	0,802	400	TN-S	3	33,6	82	18,2
IGCA_ME	15,6	1	15,6	1	11,592	n.d.	0,803	400	TN-S	3	29,2	62	18,2
IGCA_EX	4,639	1	4,639	1	3,256	n.d.	0,819	400	TN-S	3	9,3	46	18,2
SAC_LT1	0,5	1	0,5	1	0,375	n.d.	0,8	231	TN-S	2 (L1-N)	2,7	16	24
SAC_LT2	0,09	1	0,09	1	0,044	n.d.	0,9	231	TN-S	2 (L2-N)	0,4	6	18
SAC_LT3	0,09	1	0,09	1	0,044	n.d.	0,9	231	TN-S	2 (L3-N)	0,4	6	18
SAC_LT4	0,13	1	0,13	1	0,063	n.d.	0,9	231	TN-S	2 (L1-N)	0,6	6	18
SAC_LT5	0,175	1	0,175	1	0,085	n.d.	0,9	231	TN-S	2 (L2-N)	0,8	6	18
SAC_LT6	0,09	1	0,09	1	0,044	n.d.	0,9	231	TN-S	2 (L3-N)	0,4	6	18
SAC_LT7	0,175	1	0,175	1	0,085	n.d.	0,9	231	TN-S	2 (L1-N)	0,8	6	18
SAC_LT8	0,175	1	0,175	1	0,085	n.d.	0,9	231	TN-S	2 (L2-N)	0,8	6	18
SAC_LT9	2	1	2	1	0,969	n.d.	0,9	231	TN-S	2 (L3-N)	9,6	16	24
SAC_LT10	2	1	2	1	1,5	n.d.	0,8	231	TN-S	2 (L1-N)	10,8	16	24
SAC_LT11	0,5	1	0,5	1	0,375	n.d.	0,8	231	TN-S	2 (L2-N)	2,7	6	15,6
SAC_LT12	0,5	1	0,5	1	0,375	n.d.	0,8	231	TN-S	2 (L3-N)	2,7	6	18
SAC_LT13	0,5	1	0,5	1	0,375	n.d.	0,8	231	TN-S	2 (L1-N)	2,7	6	18
SAC_LT14	1	1	1	1	0,75	n.d.	0,8	231	TN-S	2 (L2-N)	5,4	10	18
SAC_LT15	0,3	1	0,3	1	0,225	n.d.	0,8	231	TN-S	2 (L3-N)	1,6	6	18
SAC_LT16	0,5	1	0,5	1	0,375	n.d.	0,8	231	TN-S	2 (L1-N)	2,7	6	18
SAC_LT17	0,218	1	0,218	1	0,188	n.d.	0,758	231	TN-S	2 (L2-N)	1,2	6	19,2
SAC_LT18	0	1	0	1	0	n.d.	0,9	231	TN-S	2 (L3-N)	0	6	n.d.
SAC_LT19	2	1	2	1	2,04	n.d.	0,7	231	TN-S	2 (L1-N)	12,4	16	24
SAC_LT20	0,2	1	0,2	1	0,097	n.d.	0,9	231	TN-S	2 (L2-N)	1	6	24

Sigla utenza	Pn [kW]	Coef.	Pd [kW]	Carichi	Qn [kVAr]	Qrif [kVAr]	Cos φ	Vn [V]	Sistema	Cond. att.	Ib [A]	In [A]	Iz [A]
SAC_LT21	0,2	1	0,2	1	0,097	n.d.	0,9	231	TN-S	2 (L3-N)	1	6	24
SAC_LT22	1,5	1	1,5	1	0,727	n.d.	0,9	231	TN-S	2 (L1-N)	7,2	16	24
SAC_LT23	1,5	1	1,5	1	1,53	n.d.	0,7	231	TN-S	2 (L2-N)	9,3	16	24
SAC_LT24	1,5	1	1,5	1	1,53	n.d.	0,7	231	TN-S	2 (L3-N)	9,3	16	24
SAC_LT25	1,5	1	1,5	1	1,53	n.d.	0,7	231	TN-S	2 (L1-N)	9,3	16	24
SAC_LT26	0,26	1	0,26	1	0,126	n.d.	0,9	231	TN-S	2 (L2-N)	1,3	6	18
SAC_LT27	0,12	1	0,12	1	0,058	n.d.	0,9	231	TN-S	2 (L1-N)	0,6	6	18
SAC_LT28	0,5	1	0,5	1	0,242	n.d.	0,9	231	TN-S	2 (L1-N)	2,4	6	18
SAC_LT29	0	1	0	1	0	n.d.	0,9	400	TN-S	3	0	10	19,2
SAC_LT30	0	1	0	1	0	n.d.	0,9	231	TN-S	2 (L1-N)	0	6	19,2
SAC_LT31	0	1	0	1	0	n.d.	0,9	231	TN-S	2 (L1-N)	0	6	19,2
SAC_LT32	0	1	0	1	0	n.d.	0,9	231	TN-S	2 (L1-N)	0	6	19,2
SAC_LT33	0	1	0	1	0	n.d.	0,9	231	TN-S	2 (L1-N)	0	6	19,2
SAC_RC1	0,36	1	0,36	1	0,174	n.d.	0,9	231	TN-S	2 (L1-N)	1,7	6	37,6
SAC_RC2	0,2	1	0,2	1	0,097	n.d.	0,9	231	TN-S	2 (L2-N)	1	6	22,2
SAC_RC3	9,447	1	9,447	1	7,086	n.d.	0,8	400	TN-S	3	17	20	104,7
SAC_RC4	0,715	1	0,715	1	0,536	n.d.	0,8	231	TN-S	2 (L1-N)	3,9	6	67,2
SAC_RC5	0,528	1	0,528	1	0,396	n.d.	0,8	231	TN-S	2 (L2-N)	2,9	6	67,2
SAC_RC6	0,936	1	0,936	1	0,702	n.d.	0,8	231	TN-S	2 (L1-N)	5,1	6	82
SAC_RC7	0,245	1	0,245	1	0,184	n.d.	0,8	231	TN-S	2 (L3-N)	1,3	6	27,9
SAC_RC8	0,06	1	0,06	1	0,045	n.d.	0,8	400	TN-S	3	0,2	6	18,2
SAC_RC9	1,8	1	1,8	1	1,35	n.d.	0,8	231	TN-S	2 (L2-N)	9,7	16	124,1
SAC_RC10	1,5	1	1,5	1	1,125	n.d.	0,8	231	TN-S	2 (L3-N)	8,1	16	124,1
SAC_RC11	0,36	1	0,36	1	0,27	n.d.	0,8	231	TN-S	2 (L1-N)	1,9	6	48,9
SAC_RC12	0,3	1	0,3	1	0,225	n.d.	0,8	231	TN-S	2 (L2-N)	1,6	6	48,9
SAC_RC13	1,25	1	1,25	1	0,938	n.d.	0,8	231	TN-S	2 (L3-N)	6,8	10	101,3
SAC_RC14	0,035	1	0,035	1	0,019	n.d.	0,875	231	TN-S	2 (L3-N)	0,2	6	22,2
SAC_RC15	0	1	0	1	0	n.d.	0,9	400	TN-S	3	0	6	19,2
SAC_RC16	0	1	0	1	0	n.d.	0,9	400	TN-S	3	0	6	19,2
SAC_RC17	0	1	0	1	0	n.d.	0,9	231	TN-S	2 (L3-N)	0	6	19,2

Sigla utenza	Pn [kW]	Pd [kW]	Coef.	Carichi	Qn [kVAr]	Qrif [kVAr]	Cos φ	Vn [V]	Sistema	Cond. att.	Ib [A]	In [A]	Iz [A]
SAC_ME1	0,405	1	0,405	1	0,196	n.d.	0,9	231	TN-S	2 (L1-N)	1,9	6	48,9
SAC_ME2	0,2	1	0,2	1	0,097	n.d.	0,9	231	TN-S	2 (L1-N)	1	6	22,2
SAC_ME3	7,698	1	7,698	1	5,774	n.d.	0,8	400	TN-S	3	14,9	16	85,4
SAC_ME4	0,715	1	0,715	1	0,536	n.d.	0,8	231	TN-S	2 (L1-N)	3,9	6	82
SAC_ME5	0,576	1	0,576	1	0,432	n.d.	0,8	231	TN-S	2 (L2-N)	3,1	6	82
SAC_ME6	0,868	1	0,868	1	0,666	n.d.	0,8	231	TN-S	2 (L3-N)	4,8	6	82
SAC_ME7	0,16	1	0,16	1	0,12	n.d.	0,8	231	TN-S	2 (L1-N)	0,9	6	27,9
SAC_ME8	1,8	1	1,8	1	1,35	n.d.	0,8	231	TN-S	2 (L3-N)	9,7	16	124,1
SAC_ME9	1,5	1	1,5	1	1,125	n.d.	0,8	231	TN-S	2 (L2-N)	8,1	16	124,1
SAC_ME10	0,36	1	0,36	1	0,27	n.d.	0,8	231	TN-S	2 (L2-N)	1,9	6	48,9
SAC_ME11	0,3	1	0,3	1	0,225	n.d.	0,8	231	TN-S	2 (L3-N)	1,6	6	48,9
SAC_ME12	1,2	1	1,2	1	0,9	n.d.	0,8	231	TN-S	2 (L1-N)	6,5	10	101,3
SAC_ME13	0	1	0	1	0	n.d.	0,9	400	TN-S	3	0	6	19,2
SAC_ME14	0	1	0	1	0	n.d.	0,9	400	TN-S	3	0	6	19,2
SAC_ME15	0	1	0	1	0	n.d.	0,9	231	TN-S	2 (L3-N)	0	6	19,2
SAC_EX1	0,3	1	0,3	1	0,225	n.d.	0,8	231	TN-S	2 (L1-N)	1,6	6	22,2
SAC_EX2	0,09	1	0,09	1	0,044	n.d.	0,9	400	TN-S	3	0,1	6	18,2
SAC_EX3	2,799	1	2,799	1	2,099	n.d.	0,8	400	TN-S	3	6,5	10	31,3
SAC_EX4	0,6	1	0,6	1	0,291	n.d.	0,9	231	TN-S	2 (L3-N)	2,9	6	27,9
SAC_EX5	0,15	1	0,15	1	0,073	n.d.	0,9	231	TN-S	2 (L3-N)	0,7	6	22,2
SAC_EX6	0,2	1	0,2	1	0,15	n.d.	0,8	231	TN-S	2 (L1-N)	1,1	6	22,2
SAC_EX7	0,5	1	0,5	1	0,375	n.d.	0,8	231	TN-S	2 (L2-N)	2,7	6	22,2
SAC_EX8	0	1	0	1	0	n.d.	0,9	231	TN-S	2 (L1-N)	0	6	22,2
SAC_EX9	0	1	0	1	0	n.d.	0,9	231	TN-S	2 (L2-N)	0	6	22,2
SAC_EX10	0	1	0	1	0	n.d.	0,9	400	TN-S	3	0	6	22,2
SAC_EX11	0	1	0	1	0	n.d.	0,9	400	TN-S	3	0	6	22,2
TR_24	0,218	1	0,218	1	0,188	n.d.	0,758	231	TN-S	2 (L2-N)	1,2	1,9	19,2
RAD	0	1	0	1	0	n.d.	0,9	231	TN-S	2 (L3-N)	0	11	n.d.
SAC_EX2/1	0,09	1	0,09	1	0,044	n.d.	0,9	400	TN-S	3	0,1	6	19,2
AUX_AC	0,2	1	0,2	1	0,097	n.d.	0,9	24	TN-S	2 (L2-N)	9,3	17,7	19,2

Sigla utenza	Pn [kW]	Coef.	Pd [kW]	Carichi	Qn [kVAR]	Qrif [kVAR]	Cos φ	Vn [V]	Sistema	Cond. att.	Ib [A]	In [A]	Iz [A]
AUX_DC	0,15	1	0,15	1				24	TN-S	2	6,3	11	35,9

Legenda

Pn: potenza nominale dei carichi a valle dell'utenza.

Pd: potenza di dimensionamento dell'utenza.

Qn: potenza rettiva dei carichi a valle dell'utenza

Qrif: potenza rettiva nominale di rifasamento locale di un'utenza terminale

Sigla utenza	Coord. Ib<In<Iz	PdI	K ² S ² >I ² t	Sg. mag.<I magmax	Contatti ind.
+CABINA.Q_SA					
IGN_SA	65,2<=128 A (Ib < In)			Verificato	Verificato
SAN_1	0,9<=16<=21 A	40>=23,25 kA		Verificato	160<648 A
SAN_2	0,9<=16<=21 A	40>=23,25 kA		Verificato	160<797 A
SAN_3	0,9<=16<=21 A	40>=23,25 kA		Verificato	160<1.470 A
SAN_4	0,9<=16<=21 A	40>=23,25 kA		Verificato	160<1.034 A
SAN_5	0,9<=16<=21 A	40>=23,25 kA		Verificato	160<797 A
SAN_6	0,9<=16<=21 A	40>=23,25 kA		Verificato	160<546 A
SAN_7	0,9<=16<=21 A	40>=23,25 kA		Verificato	160<472 A
SAN_8	0,9<=1<=18 A	100>=12,21 kA		Verificato	10<511 A
SAN_9	1,5<=1,6<=18 A	100>=12,21 kA		Verificato	16<511 A
SAN_10	1,5<=1,6<=18 A	100>=12,21 kA		Verificato	16<970 A
SAN_11	1,1<=1,6<=18 A	100>=12,21 kA		Verificato	16<669 A
SAN_12	1,1<=1,6<=18 A	100>=12,21 kA		Verificato	16<669 A
SAN_13	0,9<=1<=18 A	100>=12,21 kA		Verificato	10<511 A
SAN_14	27,9<=32<=41,4 A	20>=12,21 kA		Verificato	320<3,039 A
SAN_15	27,9<=32<=41,4 A	20>=12,21 kA		Verificato	320<3,039 A
SAN_16	22,1<=32<=41,4 A	20>=12,21 kA		Verificato	320<2,274 A
SAN_17	22,1<=32<=41,4 A	20>=12,21 kA		Verificato	320<2,274 A
SAN_18	22,1<=32<=41,4 A	20>=12,21 kA		Verificato	320<1,816 A
SAN_19	22,1<=32<=41,4 A	20>=12,21 kA		Verificato	320<1,816 A
SAN_20	11,7<=16<=21 A	40>=23,25 kA		Verificato	160<546 A
SAN_21	4,7<=10<=21 A	100>=23,25 kA		Verificato	100<547 A
SAN_22	2,7<=16<=21 A	40>=23,25 kA		Verificato	160<546 A
SAN_23	2<=16<=21 A	40>=23,25 kA		Verificato	160<546 A
SAN_24	4,8<=6<=41,4 A	20>=12,21 kA		Verificato	30<250 A
SAN_25	4,8<=6<=41,4 A	20>=12,21 kA		Verificato	30<209 A
SAN_26	8,1<=32<=142,9 A	40>=23,25 kA		Verificato	160<229 A
SAN_27	8,1<=32<=142,9 A	40>=23,25 kA		Verificato	160<214 A
SAN_28	0<=10 A (Ib < In)	100>=23,25 kA		Verificato	100<9,098 A

Sigla utenza	Coord. Ib<In<Iz	PdI	K²S²>I²t	Sg. mag.<I magmax	Contatti ind.
SAN_29	0<=16 A (Ib < In)	50>=23,25 kA	Verificato	160<9.007 A	Verificato
SAN_30	0<=16 A (Ib < In)	50>=23,25 kA	Verificato	160<9.007 A	Verificato
SAN_31	0<=16 A (Ib < In)	40>=23,25 kA	Verificato	160<9.007 A	Verificato
SAN_32	0<=6 A (Ib < In)	20>=12,21 kA	Verificato	60<9.005 A	Verificato
SAN_33	0<=6 A (Ib < In)	20>=12,07 kA	Verificato	60<9.005 A	Verificato
IGCA_SA	108,6<=128 A (Ib < In)	Verificato		Verificato	Verificato
IGCA_LT	43,7<=128 A (Ib < In)	Verificato		Verificato	Verificato
IGCA_RC	33,6<=82 A (Ib < In)	Verificato		Verificato	Verificato
IGCA_ME	29,2<=62 A (Ib < In)	Verificato		Verificato	Verificato
IGCA_EX	9,3<=46 A (Ib < In)	Verificato		Verificato	Verificato
SAC_LT1	2,7<=16<=24 A	20>=12,86 kA	Verificato	80<798 A	Verificato
SAC_LT2	0,4<=6<=18 A	20>=12,86 kA	Verificato	30<413 A	Verificato
SAC_LT3	0,4<=6<=18 A	20>=12,86 kA	Verificato	30<511 A	Verificato
SAC_LT4	0,6<=6<=18 A	20>=12,86 kA	Verificato	30<970 A	Verificato
SAC_LT5	0,8<=6<=18 A	20>=12,86 kA	Verificato	30<670 A	Verificato
SAC_LT6	0,4<=6<=18 A	20>=12,86 kA	Verificato	30<511 A	Verificato
SAC_LT7	0,8<=6<=18 A	20>=12,86 kA	Verificato	30<347 A	Verificato
SAC_LT8	0,8<=6<=18 A	20>=12,86 kA	Verificato	30<299 A	Verificato
SAC_LT9	9,6<=16<=24 A	20>=12,86 kA	Verificato	80<547 A	Verificato
SAC_LT10	10,8<=16<=24 A	20>=12,86 kA	Verificato	80<649 A	Verificato
SAC_LT11	2,7<=6 A (Ib < In)	20>=12,86 kA	Verificato	30<8.985 A	Verificato
SAC_LT12	2,7<=6<=18 A	20>=12,86 kA	Verificato	30<670 A	Verificato
SAC_LT13	2,7<=6<=18 A	20>=12,86 kA	Verificato	30<1.761 A	Verificato
SAC_LT14	5,4<=10<=18 A	20>=12,86 kA	Verificato	50<670 A	Verificato
SAC_LT15	1,6<=6<=18 A	20>=12,86 kA	Verificato	30<670 A	Verificato
SAC_LT16	2,7<=6<=18 A	20>=12,86 kA	Verificato	30<670 A	Verificato
SAC_LT17	1,2<=6 A (Ib < In)	20>=11,98 kA	Verificato	30<8.985 A	Verificato
SAC_LT18	0<=6 A (Ib < In)	20>=12,86 kA	Verificato	30<8.985 A	Verificato
SAC_LT19	12,4<=16<=24 A	20>=12,86 kA	Verificato	80<798 A	Verificato
SAC_LT20	1<=6<=24 A	20>=12,86 kA	Verificato	30<798 A	Verificato

Sigla utenza	Coord. Ib<In<iz	PdI	K²S²>I²t	Sg. mag.<I magmax	Contatti ind.
SAC_LT21	1<=6<=24 A	20>=12,86 kA	Verificato	30<798 A	Verificato
SAC_LT22	7,2<=16<=24 A	20>=12,86 kA	Verificato	80<798 A	Verificato
SAC_LT23	9,3<=16<=24 A	20>=12,86 kA	Verificato	80<798 A	Verificato
SAC_LT24	9,3<=16<=24 A	20>=12,86 kA	Verificato	80<798 A	Verificato
SAC_LT25	9,3<=16<=24 A	20>=12,86 kA	Verificato	80<798 A	Verificato
SAC_LT26	1,3<=6<=18 A	20>=12,86 kA	Verificato	30<670 A	Verificato
SAC_LT27	0,6<=6<=18 A	20>=12,86 kA	Verificato	30<670 A	Verificato
SAC_LT28	2,4<=6<=18 A	20>=12,86 kA	Verificato	30<670 A	Verificato
SAC_LT29	0<=10 A (Ib < In)	25>=22,67 kA	Verificato	50<8,987 A	Verificato
SAC_LT30	0<=6 A (Ib < In)	20>=11,98 kA	Verificato	30<8,985 A	Verificato
SAC_LT31	0<=6 A (Ib < In)	20>=11,98 kA	Verificato	30<8,985 A	Verificato
SAC_LT32	0<=6 A (Ib < In)	20>=11,98 kA	Verificato	30<8,985 A	Verificato
SAC_LT33	0<=6 A (Ib < In)	20>=11,98 kA	Verificato	30<8,985 A	Verificato
SAC_RC1	1,7<=6<=37,6 A	20>=11,98 kA	Verificato	Prot. contatti indiretti	Verificato
SAC_RC2	1<=6<=22,2 A	50>=12,86 kA	Verificato	30<84 A	Verificato
SAC_RC3	17<=20=>104,7 A	25>=22,67 kA	Verificato	100<113 A	Verificato
SAC_RC4	3,9<=6<=67,2 A	20>=11,98 kA	Verificato	30<62 A	Verificato
SAC_RC5	2,9<=6<=67,2 A	20>=11,98 kA	Verificato	30<60 A	Verificato
SAC_RC6	5,1<=6<=82 A	20>=11,98 kA	Verificato	30<79 A	Verificato
SAC_RC7	1,3<=6<=27,9 A	20>=11,98 kA	Verificato	Prot. contatti indiretti	Verificato
SAC_RC8	0,2<=6<=18,2 A	50>=22,67 kA	Verificato	30<115 A	Verificato
SAC_RC9	9,7<=16<=124,1 A	20>=12,86 kA	Verificato	80<171 A	Verificato
SAC_RC10	8,1<=16<=124,1 A	20>=12,86 kA	Verificato	80<184 A	Verificato
SAC_RC11	1,9<=6<=48,9 A	20>=12,86 kA	Verificato	30<40 A	Verificato
SAC_RC12	1,6<=6<=48,9 A	20>=12,86 kA	Verificato	30<43 A	Verificato
SAC_RC13	6,8<=10<=101,3 A	20>=12,86 kA	Verificato	50<119 A	Verificato
SAC_RC14	0,2<=6<=22,2 A	20>=12,86 kA	Verificato	30<96 A	Verificato
SAC_RC15	0<=6 A (Ib < In)	25>=22,67 kA	Verificato	30<8,987 A	Verificato
SAC_RC16	0<=6 A (Ib < In)	25>=22,67 kA	Verificato	30<8,987 A	Verificato
SAC_RC17	0<=6 A (Ib < In)	50>=11,98 kA	Verificato	30<8,985 A	Verificato

Sigla utenza	Coord. Ib<In<Iz	PdI	K²S²>I²t	Sg. mag.<I magmax	Contatti ind.
SAC_ME1	1,9<=6<=48,9 A 1<=6<=22,2 A	20>=11,98 kA 50>=12,86 kA	Verificato	30<41 A	Verificato
SAC_ME2	14,9<=16<=85,4 A 3,9<=6<=82 A	25>=22,67 kA 20>=11,98 kA	Verificato Verificato	30<62 A Prot. contatti indiretti	Verificato Verificato
SAC_ME3	3,1<=6<=82 A 4,8<=6<=82 A	20>=11,98 kA 20>=11,98 kA	Verificato Verificato	30<80 A 30<77 A	Verificato Verificato
SAC_ME4	0,9<=6<=27,9 A 9,7<=16<=124,1 A	20>=12,86 kA 20>=12,86 kA	Verificato Verificato	30<81 A 80<159 A	Verificato Verificato
SAC_ME5	8,1<=16<=124,1 A 1,9<=6<=48,9 A	20>=12,86 kA 20>=12,86 kA	Verificato Verificato	80<175 A 30<37 A	Verificato Verificato
SAC_ME6	1,6<=6<=48,9 A 6,5<=10<=101,3 A	20>=12,86 kA 20>=12,86 kA	Verificato Verificato	30<41 A 50<112 A	Verificato Verificato
SAC_ME7	0<=6 A (lb < In) 0<=6 A (lb < In)	25>=22,67 kA 25>=22,67 kA	Verificato Verificato	30<8,987 A 30<8,987 A	Verificato Verificato
SAC_ME8	0<=6 A (lb < In) 0<=6 A (lb < In)	50>=11,98 kA 20>=12,86 kA	Verificato Verificato	30<8,985 A 30<8,985 A	Verificato Verificato
SAC_ME9	6,5<=10<=31,3 A 1,6<=6<=22,2 A	25>=22,67 kA 20>=12,86 kA	Verificato Verificato	30<797 A 30<74 A	Verificato Verificato
SAC_ME10	0,1<=6<=18,2 A 6,5<=10<=31,3 A	50>=22,67 kA 25>=22,67 kA	Verificato Verificato	30<115 A 50<105 A	Verificato Verificato
SAC_ME11	2,9<=6<=27,9 A 0,7<=6<=22,2 A	20>=12,86 kA 20>=12,86 kA	Verificato Verificato	30<797 A 30<123 A	Verificato Verificato
SAC_ME12	1,1<=6<=22,2 A 2,7<=6<=22,2 A	20>=12,86 kA 20>=12,86 kA	Verificato Verificato	30<8,985 A 30<8,985 A	Verificato Verificato
SAC_ME13	0<=6 A (lb < In) 0<=6 A (lb < In)	0<=6 A (lb < In) 0<=6 A (lb < In)	Verificato Verificato	30<8,987 A 30<8,987 A	Verificato Verificato
SAC_ME14	0<=6 A (lb < In) 0<=6 A (lb < In)	50>=22,67 kA 20>=12,86 kA	Verificato Verificato	30<8,985 A 30<8,985 A	Verificato Verificato
SAC_ME15	0<=6 A (lb < In) 1,6<=6<=22,2 A	50>=11,98 kA 20>=12,86 kA	Verificato Verificato	30<8,985 A 30<8,987 A	Verificato Verificato
SAC_EX1	0,1<=6<=18,2 A 2,9<=6<=27,9 A	25>=22,67 kA 20>=12,86 kA	Verificato Verificato	30<115 A 30<74 A	Verificato Verificato
SAC_EX2	6,5<=10<=31,3 A 0,7<=6<=22,2 A	25>=22,67 kA 20>=12,86 kA	Verificato Verificato	30<115 A 30<74 A	Verificato Verificato
SAC_EX3	1,1<=6<=22,2 A 2,7<=6<=22,2 A	20>=12,86 kA 20>=12,86 kA	Verificato Verificato	30<123 A 30<123 A	Verificato Verificato
SAC_EX4	0<=6 A (lb < In) 0<=6 A (lb < In)	0<=6 A (lb < In) 0<=6 A (lb < In)	Verificato Verificato	30<123 A 30<8,985 A	Verificato Verificato
SAC_EX5	0,7<=6<=22,2 A 1,1<=6<=22,2 A	20>=12,86 kA 20>=12,86 kA	Verificato Verificato	30<8,985 A 30<8,985 A	Verificato Verificato
SAC_EX6	2,7<=6<=22,2 A 0<=6 A (lb < In)	20>=12,86 kA 20>=12,86 kA	Verificato Verificato	30<8,987 A 30<8,987 A	Verificato Verificato
SAC_EX7	0<=6 A (lb < In) 0<=6 A (lb < In)	0<=6 A (lb < In) 0<=6 A (lb < In)	Verificato Verificato	30<8,987 A 30<8,987 A	Verificato Verificato
SAC_EX8	0<=6 A (lb < In) 0<=6 A (lb < In)	50>=22,67 kA 50>=22,67 kA	Verificato Verificato	30<8,987 A 30<8,987 A	Verificato Verificato
SAC_EX9	0<=6 A (lb < In) 0<=6 A (lb < In)	50>=22,67 kA 50>=22,67 kA	Verificato Verificato	30<8,987 A 30<8,987 A	Verificato Verificato
SAC_EX10	0<=6 A (lb < In) 0,1<=6<=19,2 A	50>=22,67 kA 1,2<=1,9 A (lb < In)	Verificato Verificato	30<8,987 A 30<8,987 A	Verificato Verificato
SAC_EX11	0<=6 A (lb < In) 9,3<=17,7 A (lb < In)	50>=22,67 kA 120>=1,23 kA	Verificato Verificato	30<8,987 A 30<8,987 A	Verificato Verificato
TR_24					
RAD					
SAC_EX2/1					
AUX_AC					

Sigla utenza	Coord. Ib<In<Iz	PdI	K ² S ² >I ² t	Sg. mag.<I magmax	Contatti ind.
AUX_DC	6,3<=11 A (Ib < In)	25>=0 kA	Verificato		Verificato

Legenda

PdI: potere di interruzione o di corto circuito della protezione

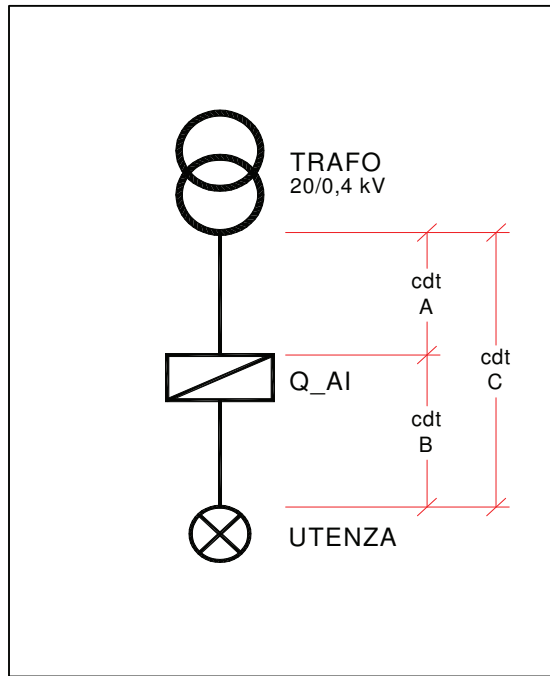
I magmax: corrente magnetica massima pari alla corrente di guasto minima

K²S²>I²t: verifica a cortocircuito della linea

Q_AI/ME

Per quanto attiene il calcolo delle cadute di tensione (c.d.t.), al fine di agevolare la lettura dei dati riportati nelle tabelle di calcolo allegate, viene riportata la seguente nota di chiarimento.

Il quadro Q_AI della galleria Faro Superiore, cabina lato ME, risulta derivato immediatamente a valle del trasformatore MT/BT-20/0,4kV ed è caratterizzato da una tensione nominale pari a 400V (vedi schema seguente).



L'origine dell'impianto, caratterizzato da tale livello di tensione nominale, coincide pertanto con i morsetti secondari del trasformatore MT/BT.

Ai sensi della Norma CEI 64-8/5 art. 525, si assume, per la caduta di tensione massima ammessa nella sezione di impianto evidenziata nello schema con la lettera [C], un valore pari al 4%.

Tale valore risulta indicato anche nelle schede di calcolo allegate come "C.d.t. % Max ammessa: 4%".

Si precisa inoltre che nelle schede di calcolo allegate con la dicitura "C.d.t.% con Ib" si intende la c.d.t. globale, ovvero relativa alla sezione di impianto evidenziata nello schema con la lettera [C]. Essa deriva dalla somma dei due seguenti contributi [C=A+B]:

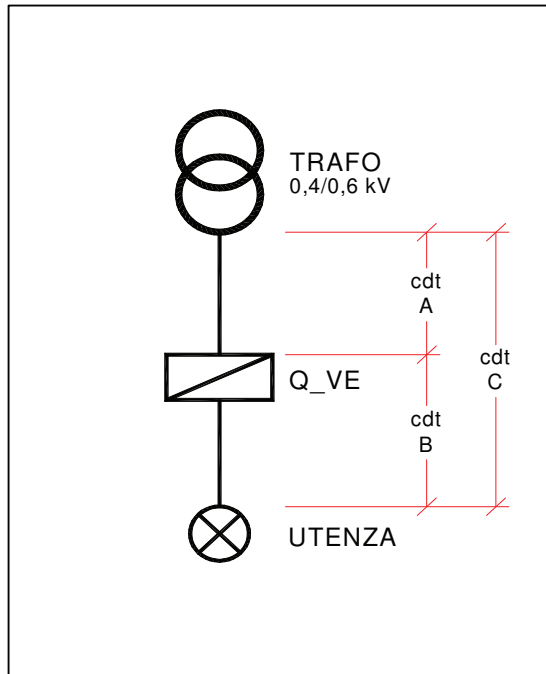
- contributo della sezione [A] dell'impianto costituita dal cavo immediatamente a valle dei morsetti del trasformatore MT/BT fino alla sezione di ingresso del quadro Q_AI
- contributo della sezione [B] dell'impianto relativa alla parte compresa tra la sezione di ingresso del quadro Q_AI e l'utenza terminale alimentata.

Quadro: QUADRO ANTINCENDIO CABINA LATO ME (Q_AI/ME)	Tavola: CG0700P4ADSS100GNF 3000015A	Impianto: Progetto Impianto Elettrico						
Sigla Arrivo: Q_AI/ME -0	Cliente: PONTE SULLO STRETTO DI MESSINA - PROGETTO DEFINITIVO	Descrizione Quadro: SCHEMA ELETTRICO UNIFILARE						
Sistema di distribuzione: TN-S		C.d.t. % Max ammessa: 4 %	Icc di barratura: 33,88 [kA]	Tensione: 400 [V]				
Circuito	Apparecchiatura	Corto circuito						
Lunghezza ≤ Lunghezza max C.d.t. % con $I_b \leq C.d.t. \max$		Icc max ≤ P.d.i.						
Sigla utenza	Sezione L	L	C.d.t.% con I_b	Tipo	Distribuzione I _g	P.d.i.	Icc max	I di Int. Prot.
[mm ²]	[m]	[m]	[%]	[A]	[kA]	[A]	[A]	[A]
Q_AI/ME -0	---	...	0,07	NS160H-22SE LSI	Tripolare	0	70	33,88
Q_AI/ME -1	---	...	0,07	NS160H-22SE LSI	Tripolare	0	70	33,17
Q_AI/ME -2	3(1x50)+(1PE25)	15	125 0,26	---	Tripolare	0	---	33,17

Q_VE/ME

Per quanto attiene il calcolo delle cadute di tensione (c.d.t.), al fine di agevolare la lettura dei dati riportati nelle tabelle di calcolo allegate, viene riportata la seguente nota di chiarimento.

Il quadro Q_VE della galleria Faro Superiore, cabina lato ME, risulta derivato immediatamente a valle del trasformatore BT/BT-0,4/0,69kV ed è caratterizzato da una tensione nominale pari a 690V (vedi schema seguente).



L'origine dell'impianto, caratterizzato da tale livello di tensione nominale, coincide quindi con i morsetti secondari del trasformatore BT/BT avente tensione nominale primaria 400V e tensione secondaria, a pieno carico, pari a 690V (tensione a vuoto pari a circa 718V).

Pertanto per la caduta di tensione massima ammessa nella sezione di impianto evidenziata nello schema con la lettera [C], ai sensi della Norma CEI 64-8/5 art. 525, si può assumere, cautelativamente, un valore pari al 4%. Tale valore risulta indicato anche nelle schede di calcolo allegate come "C.d.t. % Max ammessa: 4%".

Si precisa inoltre che nelle schede di calcolo allegate con la dicitura "C.d.t.% con Ib" si intende la c.d.t. globale, ovvero relativa alla sezione di impianto evidenziata nello schema con la lettera [C]. Essa deriva dalla somma dei due seguenti contributi [C=A+B]:

- contributo della sezione [A] dell'impianto costituita dal cavo immediatamente a valle dei morsetti del trasformatore BT/BT fino alla sezione di ingresso del quadro Q_VE
- contributo della sezione [B] dell'impianto relativa alla parte compresa tra la sezione di ingresso del quadro Q_VE e l'utenza terminale alimentata.

Quadro: QUADRO VENTILAZIONE CABINA LATO ME (Q_VE/ME)	Tavola: CG0700P4ADSS100GNF 3000012A	Impianto: Progetto Impianto Elettrico																					
Sigla Arrivo: Q_VE/ME -0	Cliente: PONTE SULLO STRETTO DI MESSINA - PROGETTO DEFINITIVO	Descrizione Quadro: SCHEMA ELETTRICO UNIFILARE																					
Sistema di distribuzione: TN-S	C.d.t. % Max ammessa: 4 %	Icc di barratura: 17,05 [kA]																					
Circuito	Apparecchiatura	Corto circuito																					
Lunghezza ≤ Lunghezza max C.d.t. % con $I_b \leq C.d.t. \max$	Icc max ≤ P.d.l. Icc max	$I^2t \leq K^2S^2$																					
Sigla utenza	Sezione	L	L	C.d.t.% con I_b	Tip	Distribuzione	I_q	P.d.l.	Icc max	I di Int. Prot.	Igt Fondo Linea	I^2t max Inizio Linea	K^2S^2	FASE	NEUTRO	PROTEZIONE	Sovraccarico	Test					
[mm ²]	[m]	[m]	[m]	[%]			[A]	[kA]	[A]	[A]	[A]	[A]	[A]	[A]	[A ² S]	[A ² S]	[A ² S]	I_b	I_n	I_z	$I_f \leq 1,45 I_z$		
Q_VE/ME -0	---	---	0.06	NT08 - H1 Mic 5.0 A	Tripolare	0	42	17,05	8800	15234	---	---	---	---	---	---	---	619	800	---	960	---	SI
Q_VE/ME -1	---	---	0.06	NT08 - H1 Mic 5.0 A	Tripolare	0	42	17,03	8800	15195	---	---	---	---	---	---	0	800	---	960	---	SI	
Q_VE/ME -2	---	---	0.06	SBI Gr. 22x58	Tripolare	0	100	17,03	685	14213	---	---	---	---	---	---	0	50	---	80	---	SI	
Q_VE/ME -3	---	---	0.06	NS400L-STR23SE LSI	Tripolare	0	75	17,03	3220	15184	---	---	---	---	---	---	258	400	---	480	---	SI	
Q_VE/ME -4	3(1x35)+(1PE25)	755	876	2,78	NS160L-STR22SE	Tripolare	0	20	17	230	266	450356	25050025	---	---	450356	19360000	26	50	87	60	126	SI
Q_VE/ME -5	3(1x35)+(1PE25)	755	876	2,78	NS160L-STR22SE	Tripolare	0	20	17	230	266	450356	25050025	---	---	450356	19360000	26	50	87	60	126	SI
Q_VE/ME -6	3(1x35)+(1PE25)	680	876	2,51	NS160L-STR22SE	Tripolare	0	20	17	230	295	450356	25050025	---	---	450356	19360000	26	50	87	60	126	SI
Q_VE/ME -7	3(1x35)+(1PE25)	680	876	2,51	NS160L-STR22SE	Tripolare	0	20	17	230	295	450356	25050025	---	---	450356	19360000	26	50	87	60	126	SI
Q_VE/ME -8	1(3x25)+(1PE16)	575	576	2,99	NS160L-STR22SE	Tripolare	0	20	17	230	231	450356	12780625	---	---	450356	7928856	26	50	61	60	88	SI

Quadro: QUADRO VENTILAZIONE CABINA LATO ME (Q_VE/ME)	Tavola: CG0700P4ADSS100GNF 3000012A	Impianto: Progetto Impianto Elettrico																				
Sigla Arrivo: Q_VE/ME -0	Cliente: PONTE SULLO STRETTO DI MESSINA - PROGETTO DEFINITIVO	Descrizione Quadro: SCHEMA ELETTRICO UNIFILARE																				
Sistema di distribuzione: TN-S	C.d.t. % Max ammessa: 4 %	Icc di barratura: 17,05 [kA]																				
Circuito	Apparecchiatura	Corto circuito																				
Lunghezza ≤ Lunghezza max C.d.t. % con $I_b \leq C.d.t. \max$	Icc max ≤ P.d.i. Icc max	$I^2t \leq K^2S^2$																				
Sigla utenza	Sezione	L	L	C.d.t.% con I_b	Tip	Distribuzione	I_q	P.d.i.	Icc max	I di Int. Prot.	Igt Fondo Linea	I^2t max Inizio Linea	K^2S^2	FASE	NEUTRO	PROTEZIONE	I_b	I_n	I_z	$I_f \leq 1,45 I_z$		
[mm ²]	[m]	[m]	[m]	[%]	[kA]	[kA]	[A]	[A]	[A]	[A]	[A]	[A]	[A]	[A ² S]	[A ² S]	[A ² S]	[A]	[A]	[A]	[A]		
Q_VE/ME -9 1(3x25)+(1PE16)	575	576	2,99	NS160L-STR22SE	Tripolare	0	20	17	230	231	450356	12780625	---	---	450356	7929856	26	50	61	60	88	Si
Q_VE/ME - 10	470	576	2,46	NS160L-STR22SE	Tripolare	0	20	17	230	282	450356	12780625	---	---	450356	7929856	26	50	61	60	88	Si
Q_VE/ME - 11	470	576	2,46	NS160L-STR22SE	Tripolare	0	20	17	230	282	450356	12780625	---	---	450356	7929856	26	50	61	60	88	Si
Q_VE/ME - 12	365	576	1,92	NS160L-STR22SE	Tripolare	0	20	17	230	361	450356	12780625	---	---	450356	7929856	26	50	61	60	88	Si
Q_VE/ME - 13	365	576	1,92	NS160L-STR22SE	Tripolare	0	20	17	230	361	450356	12780625	---	---	450356	7929856	26	50	61	60	88	Si
Q_VE/ME - 14	---	---	0,06	NS630L-STR23SE LSI	Tripolare	0	35	17,03	3478	15192	---	---	---	---	---	361	504	---	605	---	Si	
Q_VE/ME - 15	320	576	1,69	NS160L-STR22SE	Tripolare	0	20	17	230	412	450447	12780625	---	---	450447	7929856	26	50	61	60	88	Si
Q_VE/ME - 16	320	576	1,69	NS160L-STR22SE	Tripolare	0	20	17	230	412	450447	12780625	---	---	450447	7929856	26	50	61	60	88	Si
Q_VE/ME - 17	425	576	2,23	NS160L-STR22SE	Tripolare	0	20	17	230	311	450447	12780625	---	---	450447	7929856	26	50	61	60	88	Si

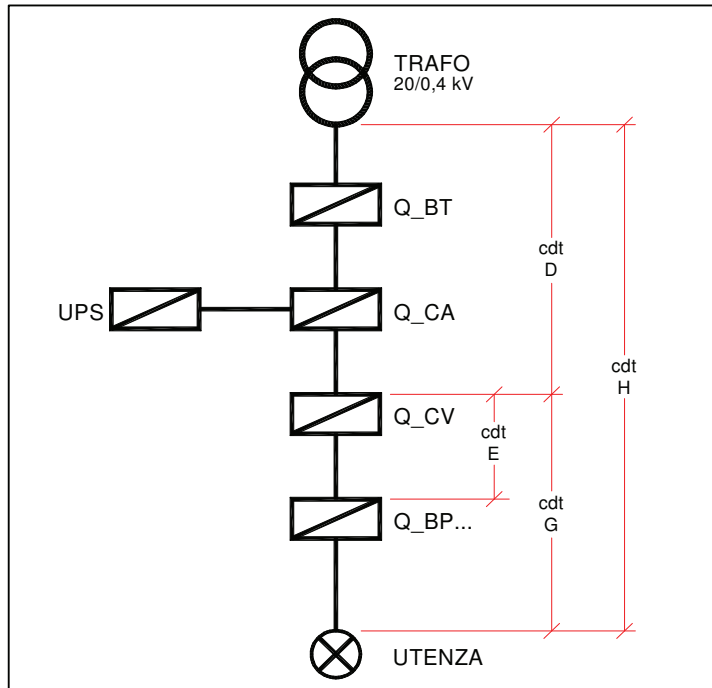
Quadro: QUADRO VENTILAZIONE CABINA LATO ME (Q_VE/ME)	Tavola: CG0700P4ADSS100GNF 3000012A	Impianto: Progetto Impianto Elettrico																					
Sigla Arrivo: Q_VE/ME -0	Cliente: PONTE SULLO STRETTO DI MESSINA - PROGETTO DEFINITIVO	Descrizione Quadro: SCHEMA ELETTRICO UNIFILARE																					
Sistema di distribuzione: TN-S	C.d.t. % Max ammessa: 4 %	Icc di barratura: 17,05 [kA]																					
Circuito	Apparecchiatura	Corto circuito																					
Lunghezza ≤ Lunghezza max C.d.t. % con $I_b \leq C.d.t. \text{ max}$	Icc max ≤ P.d.i. Icc max	$I^2t \leq K^2S^2$																					
Sigla utenza	Sezione	L	L	C.d.t.% con I_b	Tip	Distribuzione	I_q	P.d.i.	Icc max	I di Int. Prot.	Igt Fondo Linea	$I^2t \text{ max Inizio Linea}$	K^2S^2	FASE	NEUTRO	PROTEZIONE	$I_b \leq I_n \leq I_z$	$I_t \leq 1,45 I_z$					
[mm ²]	[m]	[m]	[m]	[%]	[A]	[kA]	[A]	[A]	[A]	[A]	[A]	[A]	[A]	[A]	[A]	[A]	[A]	[A]					
Q_VE/ME - 18	1(3x25)+(1PE16)	425	576	2,23	NS160L-STR22SE	Tripolare	0	20	17	230	311	450447	12780625	---	---	450447	7929856	26	50	61	60	88	Si
Q_VE/ME - 19	1(3x25)+(1PE16)	530	576	2,76	NS160L-STR22SE	Tripolare	0	20	17	230	250	450447	12780625	---	---	450447	7929856	26	50	61	60	88	Si
Q_VE/ME - 20	1(3x25)+(1PE16)	530	576	2,76	NS160L-STR22SE	Tripolare	0	20	17	230	250	450447	12780625	---	---	450447	7929856	26	50	61	60	88	Si
Q_VE/ME - 21	1(3x25)+(1PE25)	635	742	3,3	NS160L-STR22SE	Tripolare	0	20	17	230	268	450447	12780625	---	---	450447	19360000	26	50	61	60	88	Si
Q_VE/ME - 22	1(3x25)+(1PE25)	635	742	3,3	NS160L-STR22SE	Tripolare	0	20	17	230	268	450447	12780625	---	---	450447	19360000	26	50	61	60	88	Si
Q_VE/ME - 23	3(1x35)+(1PE25)	740	876	2,73	NS160L-STR22SE	Tripolare	0	20	17	230	272	450447	25050025	---	---	450447	19360000	26	50	87	60	126	Si
Q_VE/ME - 24	3(1x35)+(1PE25)	740	876	2,73	NS160L-STR22SE	Tripolare	0	20	17	230	272	450447	25050025	---	---	450447	19360000	26	50	87	60	126	Si
Q_VE/ME - 25	3(1x35)+(1PE25)	845	876	3,11	NS160L-STR22SE	Tripolare	0	20	17	230	238	450447	25050025	---	---	450447	19360000	26	50	87	60	126	Si

Quadro: QUADRO VENTILAZIONE CABINA LATO ME (Q_VE/ME)		Tavola: CG0700P4ADSS100GNF 3000012A		Impianto: Progetto Impianto Elettrico										
Sigla Arrivo: Q_VE/ME -0		Cliente: PONTE SULLO STRETTO DI MESSINA - PROGETTO DEFINITIVO		Descrizione Quadro: SCHEMA ELETTRICO UNIFILARE										
Sistema di distribuzione: TN-S				C.d.t. % Max ammessa: 4 %		Icc di barratura: 17,05 [kA]		Tensione: 690 [V]		Sovraccarico		Test		
Circuito		Apparecchiatura		Icc max ≤ P.d.l.		Corto circuito		I²t ≤ K²S²						
Lunghezza ≤ Lunghezza max C.d.t. % con I _b ≤ C.d.t. max										FASE		NEUTRO		
Lunghezza ≤ Lunghezza max C.d.t. % con I_b ≤ C.d.t. max		Sezione	L	C.d.t.% con I_b	Tipo	Distribuzione	I_d	P.d.l.	Icc max	I_{gt}	K²S²	K²S²	I²t max Inizio Linea	
[mm²]	[m]	[m]	%		[A]	[A]	[A]	[A]	[A]	Fondo Linea	[A²S]	[A²S]	[A²S]	
Q_VE/ME - 26	3(1x35)+(1PE25)	845	876	3,11	NS160L-STR22SE	Tripolare	0	20	17	230	238	450447	19360000	26
Q_VE/ME - 27	3(1x35)+(1PE35)	950	1043	3,49	NS160L-STR22SE	Tripolare	0	20	17	230	252	450447	37945600	26
Q_VE/ME - 28	3(1x35)+(1PE35)	950	1043	3,49	NS160L-STR22SE	Tripolare	0	20	17	230	252	450447	37945600	26

Q_CV/ME

Per quanto attiene il calcolo delle cadute di tensione (c.d.t.), al fine di agevolare la lettura dei dati riportati nelle tabelle di calcolo allegate, viene riportata la seguente nota di chiarimento.

Il quadro Q_CV della galleria Faro Superiore, cabina lato ME, risulta alimentato dal quadro Q_CA ed è caratterizzato da una tensione nominale pari a 400V (vedi schema seguente).



L'origine dell'impianto, caratterizzato da tale livello di tensione nominale, coincide pertanto con i morsetti secondari del trasformatore MT/VT.

Ai sensi della Norma CEI 64-8/5 art. 525, si assume, per la caduta di tensione massima ammessa nella sezione di impianto evidenziata nello schema con la lettera [H], un valore pari al 4%.

Per quanto attiene alla sezione di impianto compresa fra la sezione di ingresso del quadro Q_CV e l'utenza terminale alimentata (indicata con la lettera G nello schema), la caduta di tensione massima ammessa risulta definita dalla differenza fra la c.d.t. globale massima ammessa [H=4%] e la c.d.t. dell'impianto a monte del Q_CV [relativa alla sezione D dell'impianto che, nel caso specifico, vale 0,51%].

Ne deriva una c.d.t. ammessa per la sezione [G] dell'impianto pari a 3,49% (=4 - 0,51)

Tale valore risulta indicato anche nelle schede di calcolo allegate come "C.d.t. % Max ammessa: 3,49%".

Si precisa inoltre quanto segue:

- nelle schede di calcolo allegate, relative al Q_CV, con la dicitura "C.d.t.% con Ib" si intende la c.d.t. relativa alla sezione di impianto evidenziata nello schema con la lettera [E] ovvero la c.d.t. che tra la sezione di ingresso del quadro Q_CV e l'utenza terminale alimentata dal Q_CV stesso
- nelle schede di calcolo allegate, relative ai quadri Q_BP, con la dicitura "C.d.t.% con Ib" si intende la c.d.t. relativa alla sezione di impianto evidenziata nello schema con la lettera [G] ovvero la c.d.t. che tra la sezione di ingresso del quadro Q_CV e l'utenza terminale alimentata dal Q_BP. Ne consegue che anche in tali schede, al pari di quelle inerenti il quadro Q_CV, viene evidenziata una caduta di tensione massima ammessa pari al 3,49% (vedi la dicitura "C.d.t. % Max ammessa: 3,49%")

Quadro: QUADRO CONTROLLO VENTILAZIONE CABINA LATO ME (Q_CV/ME)	Tavola: CG0700P4ADSS100GNF 3000014A	Impianto: Progetto Impianto Elettrico	
Sigla Arrivo: Q_CV/ME -0	Cliente: PONTE SULLO STRETTO DI MESSINA - PROGETTO DEFINITIVO	Descrizione Quadro: SCHEMA ELETTRICO UNIFILARE	
Sistema di distribuzione: TN-S	C.d.t. % Max ammessa: 3,49 %	Icc di barratura: 27,9 [kA]	
Circuito	Apparecchiatura	Corto circuito	
Lunghezza ≤ Lunghezza max C.d.t. % con $I_b \leq C.d.t. \max$	Icc max ≤ P.d.i. Icc max ≤ P.d.i.	$I^2t \leq K^2S^2$	
Test	FASE	NEUTRO	PROTEZIONE
	I^2t_{\max} Inizio Linea	K^2S^2	I_b
	I^2t_{\max} Inizio Linea	K^2S^2	I_n
	I^2t_{\max} Inizio Linea	K^2S^2	I_z
	I^2t_{\max} Inizio Linea	K^2S^2	I_f
	I^2t_{\max} Inizio Linea	K^2S^2	$1,45 I_z$
Sigla utenza	Sezione L L C.d.t.% con I_b [mm ²] [m] [m] [%]	Tipodistribuzione I _d P.d.i. Icc max I di Int. Prot. Fondo Linea	Igt [kA] [A] [A] [A ² S]
Q_CV/ME -0 0,02 NS250H- 22SE L/Si 4r	Quadrupolare 0 70 27,9 920 25,43
Q_CV/ME -1 0,02 SBI Gr. 22x58	Quadrupolare 0 100 27,66 546 20662
Q_CV/ME -2 0,04 NS250H- 22SE L/Si 4r	Quadrupolare 0 70 27,66 920 24655
Q_CV/ME -3	1(2x6)+(1PE6) 275 443 2,52 NG125L	Mondasse L1+N 0 50 27,4 40 86 10338 736164 5611 736164 10338 1115136 3,5/12 10 32 15 46 Si
Q_CV/ME -4	3(2x1x95)+(1x95)+(1PE5) E95	NG125L Quadrupolare 0 50 27,4 160 256 74752 184552225 64912 184552225 74752 279558400 31 40 303 58 440 Si
Q_CV/ME -5	3(2x1x70)+(1x70)+(1PE70)	NG125L Quadrupolare 0 50 27,4 160 227 74752 100200100 64912 100200100 64912 151782400 30 40 258 58 374 Si
Q_CV/ME -6	4(1x120)+(1PE70)	NG125L Quadrupolare 0 50 27,4 160 267 74752 294465600 64912 294465600 64912 151782400 28 40 175 58 253 Si
Q_CV/ME -7	4(1x95)+(1PE50)	NG125L Quadrupolare 0 50 27,4 160 265 74752 184552225 64912 184552225 74752 77440000 30 40 152 58 220 Si
Q_CV/ME -8	4(1x70)+(1PE35)	NG125L Quadrupolare 0 50 27,4 160 297 74752 100200100 64912 100200100 64912 37945600 28 40 129 58 187 Si

Quadro: QUADRO CONTROLLO VENTILAZIONE CABINA LATO ME (Q_CV/ME)	Tavola: CG0700P4ADSS100GNF 3000014A	Impianto: Progetto Impianto Elettrico													
Sigla Arrivo: Q_CV/ME -0	Cliente: PONTE SULLO STRETTO DI MESSINA - PROGETTO DEFINITIVO	Descrizione Quadro: SCHEMA ELETTRICO UNIFILARE													
Sistema di distribuzione: TN-S	C.d.t. % Max ammessa: 3,49 %	Icc di barratura: 27,9 [kA]													
Circuito	Apparecchiatura	Corto circuito													
Lunghezza ≤ Lunghezza max C.d.t. % con $I_b \leq C.d.t. \max$	Icc max ≤ P.d.l. Icc max	$I^2t \leq K^2S^2$													
FASE	NEUTRO	PROTEZIONE													
$I^2t \max$ Inizio Linea	K^2S^2	I_b													
$I^2t \max$ Inizio Linea	K^2S^2	I_n													
$I^2t \max$ Fondo Linea	K^2S^2	I_t													
$I^2t \max$ Fondo Linea	K^2S^2	$1.45 I_z$													
Test															
Sigla utenza	Sezione L	L C.d.t.% con I_b	Tipodistribuzione	I_d	P.d.l.	Icc max	I di Int. Prot.	Igt Fondo Linea	$I^2t \max$ Inizio Linea	K^2S^2	I_b	I_n	I_t	$1.45 I_z$	
[mm ²]	[m]	[m] [%]	[A]	[kA]	[A]	[A]	[A]	[A]	[A]	[A]	[A]	[A]	[A]	[A]	
Q_CV/ME -9 4(1x35)+(1PE25)	355	542 2,31	NG125L	Quadrupolare	0	50	27,4	160	328	74,752	25050025	64912	25050025	74,752	19360000 28 40 87 58 126 Si
Q_CV/ME -10	---	---	NG125L	Monofase L1+N	0	50	27,4	40	6311	---	---	---	---	0 10 --- 15 --- Si	
Q_CV/ME -11	---	---	NS250H-22SE LS1 4r	Quadrupolare	0	70	27,66	920	24655	---	---	---	---	3,512 175 --- 210 --- Si	
Q_CV/ME -12	1(2x6)+(1PE6)	305 445	2,77 NG125L	Monofase L2+N	0	50	27,4	40	78	10338	736164	5611	736164	10338 1115136 3,512 10 32 15 46 Si	
Q_CV/ME -13	3(2x1x95)+(1PE95) E95	1825 2392	2,58 NG125L	Quadrupolare	0	50	27,4	160	263	74,752	184552225	64912	184552225	74,752 279558400 29 40 303 58 440 Si	
Q_CV/ME -14	3(2x1x70)+(1x70) E70	1515 1985	2,58 NG125L	Quadrupolare	0	50	27,4	160	234	74,752	100200100	64912	100200100	74,752 151782400 27 40 258 58 374 Si	
Q_CV/ME -15	4(1x120)+(1PE70)	1210 1579	2,59 NG125L	Quadrupolare	0	50	27,4	160	275	74,752	294465600	64912	294465600	74,752 151782400 26 40 175 58 253 Si	
Q_CV/ME -16	4(1x95)+(1PE50)	900 1269	2,4 NG125L	Quadrupolare	0	50	27,4	160	274	74,752	184552225	64912	184552225	74,752 77440000 27 40 152 58 220 Si	
Q_CV/ME -17	4(1x70)+(1PE35)	590 1037	1,94 NG125L	Quadrupolare	0	50	27,4	160	309	74,752	100200100	64912	100200100	74,752 37946600 26 40 129 58 187 Si	

Quadro: QUADRO CONTROLLO VENTILAZIONE CABINA LATO ME (Q_CV/ME)		Tavola: CG0700P4ADSSI00GNF 3000014A	Impianto: Progetto Impianto Elettrico											
Sigla Arrivo:	Q_CV/ME -0	Cliente: PONTE SULLO STRETTO DI MESSINA - PROGETTO DEFINITIVO	Descrizione Quadro: SCHEMA ELETTRICO UNIFILARE											
Sistema di distribuzione: TN-S		C.d.t. % Max ammessa: 3,49 %	Icc di barratura: 27,9 [kA]	Tensione: 400 [V]										
Circuito	Apparecchiatura		Corto circuito		Sovraccarico		Test							
Lunghezza ≤ Lunghezza max C.d.t. % con $I_b \leq C.d.t.$ max			Icc max ≤ P.d.l.		I ² t ≤ K ² S ²		I ² t ≤ K ² S ²		$I_b \leq I_n \leq I_z$		$I_f \leq 1,45 I_z$			
Sigla utenza	Sezione	L	L _{max}	C.d.t.% con I_b	Tipo	Distribuzione	I _d	P.d.l.	Icc max	I ² t max Inizio Linea	K ² S ²	I ² t max Inizio Linea	K ² S ²	
[mm ²]	[m]	[m]	[%]		[A]	[A]	[A]	[A]	[kA]	[A ² S]	[A ² S]	[A ² S]	[A ² S]	
Q_CV/ME - 18	4(1x35)+(1PE25)	325	546	2,02	NG125L	Quadrilatero	0	50	27,4	160	357	74752	25050025	64912
Q_CV/ME - 19	1(2x2,5)+(1PE25)	145	247	1,29	NG125L	Monofase L+N	0	50	27,4	40	68	10338	127806	5611
Q_CV/ME - 20	---	---	0,06		C60L+Vig A	Monofase L2+N	0,03 - A	50	27,66	0,03	5899	---	---	---

Q_BP6

Quadro: QUADRO BY-PASS 6 (Q_BP/6)	Tavola: CG0700P6ADSS100GNF 3000006A	Impianto: Progetto Impianto Elettrico																				
Sigla Arrivo: Q_BP/6 -0	Cliente: PONTE SULLO STRETTO DI MESSINA - PROGETTO DEFINITIVO	Descrizione Quadro: SCHEMA ELETTRICO UNIFILARE																				
Sistema di distribuzione: TN-S		C.d.t. % Max ammessa: 3,49 %																				
Circuito	Apparecchiatura	Icc di barratura: 1,11 [kA]																				
Lunghezza ≤ Lunghezza max C.d.t. % con $I_b \leq C.d.t. \max$																						
Sigla utenza	Sezione	L	L max	C.d.t.% con I_b	Tipo	Distribuzione	I_d	P.d.l.	Icc max	Igt Int. Prot. Fondo Linea	I^2t max Inizio Linea	K^2S^2 Inizio Linea	I^2t max Inizio Linea	K^2S^2 Inizio Linea	FASE	NEUTRO	PROTEZIONE	Corto circuito			Sovraccarico	Test
																		[mm ²]	[m]	[m]		
Q_BP/6 -0	---	2,88	---	2,88	INS40	Quadrupolare	0	---	1,11	160	256	---	---	---	---	31	40	---	58	---	SI	
Q_BP/6 -1	0	---	2,88	---	INS40	Quadrupolare	0	---	1,11	160	255	---	---	---	---	0	40	---	58	---	SI	
Q_BP/6 -2	---	2,88	---	2,88	SBI Gr. 2x58	Quadrupolare	0	100	1,11	160	255	---	---	---	---	0	50	---	80	---	SI	
Q_BP/6 -3	---	2,91	2,91	2,91	C60H	Quadrupolare	0	15	1,11	77	247	---	---	---	---	3,849	10	---	15	---	SI	
Q_BP/6 -4	---	2,94	2,94	2,94	C60H+Vigi A	Mondfase L1+N	0,03 - A	30	0,37	0,03	217	---	---	---	---	0,481	6	---	8,7	---	SI	
Q_BP/6 -5	---	2,91	2,91	2,91	C60H+Vigi A	Mondfase L2+N	0,03 - A	30	0,37	0,03	217	---	---	---	---	0	6	---	8,7	---	SI	
Q_BP/6 -6	---	2,97	2,97	2,97	C60H+Vigi A	Mondfase L3+N	0,03 - A	30	0,37	0,03	217	---	---	---	---	0,962	6	---	8,7	---	SI	
Q_BP/6 -7	1(3G25)	260	1107	3,24	C60H+Vigi A	Mondfase L1+N	0,03 - A	30	0,37	0,03	139	539	12780625	4,44	12780625	539	12780625	6	83	8,7	121	SI
Q_BP/6 -8	1(3G25)	260	1107	3,24	C60H+Vigi A	Mondfase L2+N	0,03 - A	30	0,37	0,03	139	539	12780625	4,44	12780625	539	12780625	6	83	8,7	121	SI

Quadro: QUADRO BY-PASS 6 (Q_BP/6)	Tavola: CG0700P6ADSS100GNF 3000006A	Impianto: Progetto Impianto Elettrico																					
Sigla Arrivo: Q_BP/6 -0	Cliente: PONTE SULLO STRETTO DI MESSINA - PROGETTO DEFINITIVO	Descrizione Quadro: SCHEMA ELETTRICO UNIFILARE																					
Sistema di distribuzione: TN-S	C.d.t. % Max ammessa: 3,49 %	Icc di barratura: 1,11 [kA]																					
Circuito	Apparecchiatura	Corto circuito																					
Lunghezza ≤ Lunghezza max C.d.t. % con $I_b \leq C.d.t. \max$	Icc max ≤ P.d.l.	<table border="1"> <thead> <tr> <th colspan="3">Corto circuito</th> </tr> <tr> <th>FASE</th><th>NEUTRO</th><th>PROTEZIONE</th></tr> </thead> <tbody> <tr> <td>$I^2t \leq K^2S^2$</td><td>$I^2t \leq K^2S^2$</td><td>$I_b \leq I_n \leq I_z$</td></tr> <tr> <td>$I^2t \leq K^2S^2$</td><td>$I^2t \leq K^2S^2$</td><td>$I_t \leq 1,45 I_z$</td></tr> </tbody> </table>	Corto circuito			FASE	NEUTRO	PROTEZIONE	$I^2t \leq K^2S^2$	$I^2t \leq K^2S^2$	$I_b \leq I_n \leq I_z$	$I^2t \leq K^2S^2$	$I^2t \leq K^2S^2$	$I_t \leq 1,45 I_z$									
Corto circuito																							
FASE	NEUTRO	PROTEZIONE																					
$I^2t \leq K^2S^2$	$I^2t \leq K^2S^2$	$I_b \leq I_n \leq I_z$																					
$I^2t \leq K^2S^2$	$I^2t \leq K^2S^2$	$I_t \leq 1,45 I_z$																					
Sigla utenza	Sezione	L	L _{max}	C.d.t.% con I_b	Tip	Distribuzione	I_d	P.d.l.	Icc max	Igt Fondo Linea	I di Int. Prot.	K ² S ² Inizio Linea	I^2t max Inizio Linea	K ² S ² Inizio Linea	I^2t max Inizio Linea	I_b	I_n	I_z	I_t	1,45I _z			
[mm ²]	[m]	[m]	[m]	[%]	[A]	[A]	[A]	[A]	[A]	[A]	[A]	[A ² S]	[A ² S]	[A ² S]	[A ² S]	[A]	[A]	[A]	[A]	[A]			
Q_BP/6 -9	1(3G4)	15	83	3,26	C60H+V/gi A	Mondafase L3+N	0,03 - A	30	0,37	0,03	181	539	327184	4,44	327184	539	327184	2,887	6	28	8,7	41	SI
Q_BP/6 -10		---	---	2,91	C60H	Quadrupolare	0	15	1,11	77	247	---	---	---	---	---	3,849	10	---	15	---	SI	
Q_BP/6 -11		---	---	2,94	C60H+V/gi A	Mondafase L1+N	0,03 - A	30	0,37	0,03	217	---	---	---	---	---	0,481	6	---	8,7	---	SI	
Q_BP/6 -12		---	---	2,91	C60H+V/gi A	Mondafase L2+N	0,03 - A	30	0,37	0,03	217	---	---	---	---	---	0	6	---	8,7	---	SI	
Q_BP/6 -13		---	---	2,97	C60H+V/gi A	Mondafase L3+N	0,03 - A	30	0,37	0,03	217	---	---	---	---	---	0,962	6	---	8,7	---	SI	
Q_BP/6 -14	1(3G6)	75	275	3,27	C60H+V/gi A	Mondafase L1+N	0,03 - A	30	0,37	0,03	131	539	736164	4,44	736164	539	736164	1,443	6	36	8,7	52	SI
Q_BP/6 -15	1(3G6)	75	275	3,27	C60H+V/gi A	Mondafase L2+N	0,03 - A	30	0,37	0,03	131	539	736164	4,44	736164	539	736164	1,443	6	36	8,7	52	SI
Q_BP/6 -16	1(3G4)	15	83	3,26	C60H+V/gi A	Mondafase L3+N	0,03 - A	30	0,37	0,03	181	539	327184	4,44	327184	539	327184	2,887	6	28	8,7	41	SI
Q_BP/6 -17	1(4G6)	15	57	3,17	C60H	Tripolare	0	15	1,11	160	220	2720	736164	---	---	1374	736164	15	25	31	36	45	SI

Quadro: QUADRO BY-PASS 6 (Q_BP/6)	Tavola: CG0700P6ADSS100GNF 3000006A	Impianto: Progetto Impianto Elettrico																					
Sigla Arrivo: Q_BP/6 -0	Cliente: PONTE SULLO STRETTO DI MESSINA - PROGETTO DEFINITIVO	Descrizione Quadro: SCHEMA ELETTRICO UNIFILARE																					
Sistema di distribuzione: TN-S		C.d.t. % Max ammessa: 3,49 %																					
Circuito	Apparecchiatura	Icc di barratura: 1,11 [kA]																					
Lunghezza ≤ Lunghezza max C.d.t. % con $I_b \leq C.d.t. \max$		Tensione: 400 [V]																					
Sigla utenza	Sezione	L	L max	C.d.t.% con I_b	Tipo	Distribuzione	I_d	P.d.l.	Icc max	Igt Int. Prot. Fondo Linea	I^2t max Inizio Linea	K^2S^2 Inizio Linea	I^2t max Inizio Linea	K^2S^2 Inizio Linea	FASE	NEUTRO	PROTEZIONE	Sovraccarico	Test				
																				[mm ²]	[m]	[m]	[%]
Q_BP/6 -18	1(4G6)	15	57	3,17	C60H	Tripolare	0	15	1,11	160	220	2720	736164	---	---	1374	736164	15	25	31	36	45	SI
Q_BP/6 -19	1(3G2,5)	15	112	3,11	C60H	Mondfase L3+N	0	30	0,38	45	169	555	127806	555	127806	1,666	6	21	8,7	30	30	SI	
Q_BP/6 -20	1(3G1,5)	15	74	2,88	C60H	Mondfase L1+N	0	15	0,38	60	145	555	46010	495	46010	555	46010	0,006	6	15	8,7	22	SI
Q_BP/6 -21	1(3G1,5)	15	74	2,88	C60H	Mondfase L2+N	0	15	0,38	60	145	555	46010	495	46010	555	46010	0,006	6	15	8,7	22	SI
Q_BP/6 -22	---	---	---	2,88	C60H+Vigi A	Mondfase L3+N	0,03 - A	30	0,38	0,03	224	---	---	---	---	---	0,115	6	---	8,7	---	SI	
Q_BP/6 -23	---	---	---	2,89	STI Gr. 8,5x31,5	Mondfase L3+N	0,03	50	0,34	0,03	211	---	---	---	---	---	0,019	6	---	11	---	SI	
Q_BP/6 -24	---	---	---	2,89	STI Gr. 8,5x31,5	Mondfase L3+N	0,03	50	0,34	0,03	211	---	---	---	---	---	0,019	6	---	11	---	SI	
Q_BP/6 -25	---	---	---	2,89	STI Gr. 8,5x31,5	Mondfase L3+N	0,03	50	0,34	0,03	211	---	---	---	---	---	0,019	6	---	11	---	SI	
Q_BP/6 -26	---	---	---	2,89	STI Gr. 8,5x31,5	Mondfase L3+N	0,03	50	0,34	0,03	211	---	---	---	---	---	0,019	6	---	11	---	SI	

Quadro: QUADRO BY-PASS 6 (Q_BP/6)	Tavola: CG0700P6ADSS100GNF 3000006A	Impianto: Progetto Impianto Elettrico																			
Sigla Arrivo: Q_BP/6 -0	Cliente: PONTE SULLO STRETTO DI MESSINA - PROGETTO DEFINITIVO	Descrizione Quadro: SCHEMA ELETTRICO UNIFILARE																			
Sistema di distribuzione: TN-S		C.d.t. % Max ammessa: 3,49 %																			
Circuito	Apparecchiatura	Icc di barratura: 1,11 [kA]																			
Lunghezza ≤ Lunghezza max C.d.t. % con $I_b \leq C.d.t. \max$																					
Sigla utenza	Sezione	L	L max	C.d.t.% con I_b	Tipo	Distribuzione	I_d	P.d.l.	Icc max	Igt Int. Prot. Fondo Linea	I^2t max Inizio Linea	FASE	NEUTRO	PROTEZIONE	Sovraccarico	Test					
												[A]	[A]	[A ² S]							
Q_BP/6-27	[mm ²]	[m]	[m]	[%]	STI Gr. 8.5x31.5	Mondfase L3+N	0.03	50	0.34	0.03	211	---	---	---	0.019	6	---	11	---	SI	
Q_BP/6-28					STI Gr. 8.5x31.5	Mondfase L3+N	0.03	50	0.34	0.03	211	---	---	---	0.019	6	---	11	---	SI	
Q_BP/6-29					C60H+Vgi AC	Mondfase L1+N - AC	30	0.38	0.03	224	---	---	---	---	0.231	6	---	8,7	---	SI	
Q_BP/6-30	(3G1,5)	15	1062	2,91	STI Gr. 8.5x31.5	Mondfase L1+N	0.03	50	0.34	0.03	97	6	46010	6	46010	0.038	2	15	4,2	22	SI
Q_BP/6-31	(3G1,5)	15	1062	2,91	STI Gr. 8.5x31.5	Mondfase L1+N	0.03	50	0.34	0.03	97	6	46010	6	46010	0.038	2	15	4,2	22	SI
Q_BP/6-32	(3G1,5)	15	1062	2,91	STI Gr. 8.5x31.5	Mondfase L1+N	0.03	50	0.34	0.03	97	6	46010	6	46010	0.038	2	15	4,2	22	SI
Q_BP/6-33	(3G1,5)	15	1062	2,91	STI Gr. 8.5x31.5	Mondfase L1+N	0.03	50	0.34	0.03	97	6	46010	6	46010	0.038	2	15	4,2	22	SI
Q_BP/6-34	(3G1,5)	15	1062	2,91	STI Gr. 8.5x31.5	Mondfase L1+N	0.03	50	0.34	0.03	97	6	46010	6	46010	0.038	2	15	4,2	22	SI
Q_BP/6-35	(3G1,5)	15	1062	2,91	STI Gr. 8.5x31.5	Mondfase L1+N	0.03	50	0.34	0.03	97	6	46010	6	46010	0.038	2	15	4,2	22	SI

Quadro: QUADRO BY-PASS 6 (Q_BP/6)	Tavola: CG0700P6ADSS100GNF 3000006A	Impianto: Progetto Impianto Elettrico																					
Sigla Arrivo: Q_BP/6 -0	Cliente: PONTE SULLO STRETTO DI MESSINA - PROGETTO DEFINITIVO	Descrizione Quadro: SCHEMA ELETTRICO UNIFILARE																					
Sistema di distribuzione: TN-S		C.d.t. % Max ammessa: 3,49 %																					
Circuito	Apparecchiatura	Icc max ≤ P.d.l.																					
Lunghezza ≤ Lunghezza max C.d.t. % con $I_b \leq C.d.t. \max$		Icc max ≤ P.d.l.																					
Sigla utenza	Sezione	L	L max	C.d.t.% con I_b	Tipo	Distribuzione	I_d	P.d.l.	Icc max	l ² t max	K ² S ²	I ² t max	K ² S ²	I ² t max	K ² S ²	I _b	I _n	I _z	I _f	1,45 I _z			
										[A]	[A]										[A]	[A]	[A]
Q_BP/6 -36	---	---	2,89	2,89	C60H+Vigi AC	Quadrilaterale	0,03 - AC	15	1,11	0,03	247	---	---	---	---	---	1,195	10	---	15	---	SI	
Q_BP/6 -37	1(3G1,5)	15	96	3,08	C60H	Mondfase L1+N	0,03	30	0,37	0,03	151	768	46010	768	46010	1,155	10	15	15	22	SI		
Q_BP/6 -38	1(3G1,5)	15	128	3,03	C60H	Mondfase L2+N	0,03	30	0,37	0,03	151	768	46010	768	46010	0,866	10	15	15	22	SI		
Q_BP/6 -39	1(3G1,5)	15	232	2,97	C60H	Mondfase L3+N	0,03	30	0,37	0,03	151	768	46010	768	46010	0,481	10	15	15	22	SI		
Q_BP/6 -40	1(3G1,5)	15	77	3,12	C60H+Vigi A	Mondfase L2+N	0,03 - A	30	0,38	0,03	154	815	46010	756	46010	815	46010	1,443	10	15	15	22	SI
Q_BP/6 -41	1(3G1,5)	15	234	2,96	C60H+Vigi A	Mondfase L3+N	0,03 - A	30	0,38	0,03	154	815	46010	756	46010	815	46010	0,481	10	15	15	22	SI
Q_BP/6 -42	1(3G6)	15	186	2,98	C60H+Vigi A	Mondfase L1+N	0,03 - A	30	0,38	0,03	220	312372	736164	312372	736164	311734	736164	2,406	32	36	46	52	SI
Q_BP/6 -43	1(3G1,5)	15	234	2,96	C60H+Vigi A	Mondfase L2+N	0,03 - A	30	0,38	0,03	154	815	46010	756	46010	815	46010	0,481	10	15	15	22	SI
Q_BP/6 -44	1(5G2,5)	15	154	3	C60H+Vigi AC	Quadrilaterale	0,03 - AC	15	1,11	0,03	184	2215	127806	685	127806	705	127806	2,406	16	18	23	26	SI

Quadro: QUADRO BY-PASS 6 (Q_BP/6)	Tavola: CG0700P6ADSS100GNF 3000006A	Impianto: Progetto Impianto Elettrico																				
Sigla Arrivo: Q_BP/6 -0	Cliente: PONTE SULLO STRETTO DI MESSINA - PROGETTO DEFINITIVO	Descrizione Quadro: SCHEMA ELETTRICO UNIFILARE																				
Sistema di distribuzione: TN-S		C.d.t. % Max ammessa: 3,49 %																				
Circuito	Apparecchiatura	Icc di barratura: 1,11 [kA]																				
Lunghezza ≤ Lunghezza max C.d.t. % con $I_b \leq C.d.t. \max$		Tensione: 400 [V]																				
Sigla utenza	Sezione	L	L max	C.d.t.% con I_b	Tipo	Distribuzione	I_d	P.d.l.	Icc max	Igt Int. Prot. Fondo Linea	I^2t max Inizio Linea	K^2S^2	I^2t max Inizio Linea	K^2S^2	I^2t max Inizio Linea	K^2S^2	Icc max	NEUTRO	PROTEZIONE	Sovraccarico	Test	
																						[mm ²]
Q_BP/6 -45 (3G2;5)	15	89	3,03	C60H+Vigi A	Mondfase L3+N	0,03 - A	30	0,38	0,03	182	815	127806	756	127806	815	127806	1,443	10	21	15	30	SI
Q_BP/6 -46 (3G2;5)	15	89	3,03	C60H+Vigi A	Mondfase L1+N	0,03 - A	30	0,38	0,03	182	815	127806	756	127806	815	127806	1,443	10	21	15	30	SI
Q_BP/6 -47 (3G2;5)	15	89	3,03	C60H+Vigi A	Mondfase L2+N	0,03 - A	30	0,38	0,03	182	815	127806	756	127806	815	127806	1,443	10	21	15	30	SI
Q_BP/6 -48 (3G2;5)	15	89	3,03	C60H+Vigi A	Mondfase L3+N	0,03 - A	30	0,38	0,03	182	815	127806	756	127806	815	127806	1,443	10	21	15	30	SI
Q_BP/6 -49 (3G2;5)	15	75	3,13	C60H+Vigi A	Mondfase L1+N	0,03 - A	30	0,38	0,03	182	815	127806	756	127806	815	127806	2,406	10	21	15	30	SI
Q_BP/6 -50 (3G2;5)	15	75	3,13	C60H+Vigi A	Mondfase L2+N	0,03 - A	30	0,38	0,03	182	815	127806	756	127806	815	127806	2,406	10	21	15	30	SI
Q_BP/6 -51	---	---	2,94	C60H+Vigi AC	Mondfase L3+N	0,03 - AC	30	0,38	0,03	224	---	---	---	---	---	1,07	6	---	8,7	---	SI	
Q_BP/6 -52	---	---	2,94	C60H+Vigi AC	Mondfase L1+N	0,03 - AC	30	0,38	0,03	224	---	---	---	---	---	0,962	6	---	8,7	---	SI	
Q_BP/6 -53	---	---	2,88	C60H+Vigi AC	Mondfase L2+N	0,03 - AC	30	0,38	0,03	247	---	---	---	---	---	0	10	---	15	---	SI	

Q_BP7

Quadro: QUADRO BY-PASS 7 (Q_BP/7)	Tavola: CG0700P6ADSS100GNF 3000007A	Impianto: Progetto Impianto Elettrico									
Sigla Arrivo: Q_BP/7 -0	Cliente: PONTE SULLO STRETTO DI MESSINA - PROGETTO DEFINITIVO	Descrizione Quadro: SCHEMA ELETTRICO UNIFILARE									
Sistema di distribuzione: TN-S		C.d.t. % Max ammessa: 3,49 %									
Circuito	Apparecchiatura	Icc max ≤ P.d.l.									
Lunghezza ≤ Lunghezza max C.d.t. % con $I_b \leq C.d.t. \max$				Icc max ≤ P.d.l.		I ² t ≤ K ² S ²		I ² t max		K ² S ²	
				FASE		NEUTRO		Inizio Linea		Inizio Linea	
Sigla utenza	Sezione	L	L max	C.d.t.% con I_b	Tip	Distribuzione	I _d	P.d.l.	Icc max	Igt Fondo Linea	K ² S ²
	[mm ²]	[m]	[m]	[%]				[kA]	[kA]	[A]	[A ² S]
Q_BP/7 -0	---	---	3,01	---	INS40	Quadrupolare	0	---	1,02	160	227
Q_BP/7 -1	0	---	3,01	---	INS40	Quadrupolare	0	---	1,02	160	227
Q_BP/7 -2	---	---	3,01	SBI Gr. 22x58	Quadrupolare	0	100	1,02	160	226	---
Q_BP/7 -3	1(3G4)	15	74	3,36	C60H+Vigi A	Mondafase L1+N	0,03 - A	30	0,35	0,03	170
Q_BP/7 -4	1(3G4)	15	74	3,36	C60H+Vigi A	Mondafase L1+N	0,03 - A	30	0,35	0,03	170
Q_BP/7 -5	1(4G6)	15	44	3,3	C60H	Tripolare	0	15	1,02	160	198
Q_BP/7 -6	1(4G6)	15	44	3,3	C60H	Tripolare	0	15	1,02	160	198
Q_BP/7 -7	1(3G2,5)	15	98	3,24	C60H	Mondafase L3+N	0	30	0,35	45	155
Q_BP/7 -8	1(3G1,5)	15	71	3,01	C60H	Mondafase L1+N	0	15	0,35	60	135

Quadro: QUADRO BY-PASS 7 (Q_BP/7)	Tavola: CG0700P6ADSS100GNF 3000007A	Impianto: Progetto Impianto Elettrico																					
Sigla Arrivo: Q_BP/7 -0	Cliente: PONTE SULLO STRETTO DI MESSINA - PROGETTO DEFINITIVO	Descrizione Quadro: SCHEMA ELETTRICO UNIFILARE																					
Sistema di distribuzione: TN-S		C.d.t. % Max ammessa: 3,49 %																					
Circuito	Apparecchiatura	Icc di barratura: 1,02 [kA]																					
Sigla utenza	Sezione	L	L max	C.d.t.% con I _b	Tip	Distribuzione	I _d	P.d.l.	Icc max	I ² t max Inizio Linea	K ² S ² Inizio Linea	NEUTRO	I ² t max Inizio Linea	K ² S ² Inizio Linea	PROTEZIONE	I _b	I _n	I _z	I _f	1,45 I _z			
[mm ²]	[m]	[m]	[%]		[A]	[A]	[kA]	[A]	[A]	[A ² S]	[A ² S]	[A ² S]	[A ² S]	[A ² S]	[A ² S]	[A]	[A]	[A]	[A]	[A]			
Q_BP/7 -9 1(3G1,5)	15	71	3,01	C60H	Mondfase L2+N	0	15	0,35	60	135	504	46010	411	46010	504	46010	0,006	6	15	8,7	22	Si	
Q_BP/7 -10	---	---	3,01	C60H+Vigi A	Mondfase L3+N	0,03 - A	30	0,35	0,03	201	---	---	---	---	---	0,077	6	---	8,7	---	Si		
Q_BP/7 -11	---	---	3,01	STI Gr. 8,5x31,5	Mondfase L3+N	0,03	50	0,31	0,03	191	---	---	---	---	---	0,019	6	---	11	---	Si		
Q_BP/7 -12	---	---	3,01	STI Gr. 8,5x31,5	Mondfase L3+N	0,03	50	0,31	0,03	191	---	---	---	---	---	0,019	6	---	11	---	Si		
Q_BP/7 -13	---	---	3,01	STI Gr. 8,5x31,5	Mondfase L3+N	0,03	50	0,31	0,03	191	---	---	---	---	---	0,019	6	---	11	---	Si		
Q_BP/7 -14	---	---	3,01	STI Gr. 8,5x31,5	Mondfase L3+N	0,03	50	0,31	0,03	191	---	---	---	---	---	0,019	6	---	11	---	Si		
Q_BP/7 -15	---	---	3,02	C60H+Vigi AC	Mondfase L1+N	0,03 - AC	30	0,35	0,03	201	---	---	---	---	---	0,231	6	---	8,7	---	Si		
Q_BP/7 -16	1(3G1,5)	15	1059	3,04	STI Gr. 8,5x31,5	Mondfase L1+N	0,03	50	0,31	0,03	92	6	46010	6	46010	6	46010	0,038	2	15	4,2	22	Si
Q_BP/7 -17	1(3G1,5)	15	1059	3,04	STI Gr. 8,5x31,5	Mondfase L1+N	0,03	50	0,31	0,03	92	6	46010	6	46010	6	46010	0,038	2	15	4,2	22	Si

Quadro: QUADRO BY-PASS 7 (Q_BP/7)	Tavola: CG0700P6ADSS100GNF 3000007A	Impianto: Progetto Impianto Elettrico																					
Sigla Arrivo: Q_BP/7 -0	Cliente: PONTE SULLO STRETTO DI MESSINA - PROGETTO DEFINITIVO	Descrizione Quadro: SCHEMA ELETTRICO UNIFILARE																					
Sistema di distribuzione: TN-S		C.d.t. % Max ammessa: 3,49 %																					
Circuito	Apparecchiatura	Icc di barratura: 1,02 [kA]																					
Sigla utenza	Sezione	L	L max	C.d.t.% con I _b	Tip	Distribuzione	I _d	P.d.l.	Icc max	Igt max	K ² S ²	I ² t max	K ² S ²	Icc max	Igt Fondo Linea	I ² t max	K ² S ²	I ² t max	Inizio Linea	NEUTRO	PROTEZIONE	Sovraccarico	Test
[mm ²]	[m]	[m]	[m]	[%]	[A]	[A]	[kA]	[kA]	[A]	[A]	[A ² S]	[A ² S]	[A ² S]	[A ² S]	[A ² S]	[A ² S]	[A ² S]	[A ² S]	[A]	[A]	I _b ≤ I _n ≤ I _z	I _b ≤ 1,45 I _z	
Q_BP/7 -18 1(3G1,5)	15	1059	3,04	STI Gr. 8,5x31,5	Mondfase L1+N	0,03	50	0,31	0,03	92	6	46010	6	46010	0,038	2	15	4,2	22	SI			
Q_BP/7 -19 1(3G1,5)	15	1059	3,04	STI Gr. 8,5x31,5	Mondfase L1+N	0,03	50	0,31	0,03	92	6	46010	6	46010	0,038	2	15	4,2	22	SI			
Q_BP/7 -20 1(3G1,5)	15	1059	3,04	STI Gr. 8,5x31,5	Mondfase L1+N	0,03	50	0,31	0,03	92	6	46010	6	46010	0,038	2	15	4,2	22	SI			
Q_BP/7 -21 1(3G1,5)	15	1059	3,04	STI Gr. 8,5x31,5	Mondfase L1+N	0,03	50	0,31	0,03	92	6	46010	6	46010	0,038	2	15	4,2	22	SI			
Q_BP/7 -22	---	---	3,02	C60H+Vigi AC	Quadrupolare	0,03 - AC	15	1,02	0,03	220	---	---	---	---	---	---	1,155	10	---	15	---	SI	
Q_BP/7 -23 1(3G1,5)	15	84	3,21	C60H	Mondfase L1+N	0,03	30	0,34	0,03	140	623	46010	554	46010	1,155	10	15	15	22	SI			
Q_BP/7 -24 1(3G1,5)	15	204	3,1	C60H	Mondfase L2+N	0,03	30	0,34	0,03	140	623	46010	554	46010	623	46010	1,155	10	15	15	22	SI	
Q_BP/7 -25 1(3G1,5)	15	67	3,25	C60H+Vigi A	Mondfase L2+N	0,03 - A	30	0,35	0,03	143	658	46010	614	46010	658	46010	1,443	10	15	15	22	SI	
Q_BP/7 -26 1(3G1,5)	15	206	3,09	C60H+Vigi A	Mondfase L3+N	0,03 - A	30	0,35	0,03	143	658	46010	614	46010	658	46010	0,481	10	15	15	22	SI	

Quadro: QUADRO BY-PASS 7 (Q_BP/7)	Tavola: CG0700P6ADSS100GNF 3000007A	Impianto: Progetto Impianto Elettrico																					
Sigla Arrivo: Q_BP/7 -0	Cliente: PONTE SULLO STRETTO DI MESSINA - PROGETTO DEFINITIVO	Descrizione Quadro: SCHEMA ELETTRICO UNIFILARE																					
Sistema di distribuzione: TN-S		C.d.t. % Max ammessa: 3,49 %																					
Circuito	Apparecchiatura	Icc max < P.d.l.																					
Lunghezza ≤ Lunghezza max C.d.t. % con $I_b \leq C.d.t. \max$																							
Sigla utenza	Sezione	L	L max	C.d.t.% con I_b	Tipo	Distribuzione	I_d	P.d.l.	Icc max	I_{gt} Fondo Linea	I di Int. Prot.												
												[A]	[kA]	[A]	[A]	[A ² S]	[A ² S]	[A ² S]	[A ² S]	[A ² S ²]	[A ² S ²]	[A ² S ²]	
Q_BP/7-27	1(3G1,5)	15	102	3,17	C60H+Vigi A	Mondofase L1+N	0,03 - A	30	0,35	0,03	143	658	46010	658	46010	0,982	10	15	15	22	SI		
Q_BP/7-28	1(3G2,5)	15	66	3,25	C60H+Vigi AC	Quadrupolare	0,03 - AC	15	1,02	0,03	168	1965	127806	605	127806	620	127806	4,811	16	18	23	26	SI
Q_BP/7-29	1(3G2,5)	15	83	3,16	C60H+Vigi A	Mondofase L2+N	0,03 - A	30	0,35	0,03	166	658	127806	614	127806	658	127806	1,443	10	21	15	30	SI
Q_BP/7-30	1(3G2,5)	15	83	3,16	C60H+Vigi A	Mondofase L3+N	0,03 - A	30	0,35	0,03	166	658	127806	614	127806	658	127806	1,443	10	21	15	30	SI
Q_BP/7-31	1(3G2,5)	15	83	3,16	C60H+Vigi A	Mondofase L1+N	0,03 - A	30	0,35	0,03	166	658	127806	614	127806	658	127806	1,443	10	21	15	30	SI
Q_BP/7-32	1(3G2,5)	15	83	3,16	C60H+Vigi A	Mondofase L2+N	0,03 - A	30	0,35	0,03	166	658	127806	614	127806	658	127806	1,443	10	21	15	30	SI
Q_BP/7-33	1(3G2,5)	15	83	3,16	C60H+Vigi A	Mondofase L3+N	0,03 - A	30	0,35	0,03	166	658	127806	614	127806	658	127806	1,443	10	21	15	30	SI
Q_BP/7-34	1(3G2,5)	15	83	3,16	C60H+Vigi A	Mondofase L1+N	0,03 - A	30	0,35	0,03	166	658	127806	614	127806	658	127806	1,443	10	21	15	30	SI
Q_BP/7-35	---	---	3,07	---	C60H+Vigi AC	Mondofase L2+N	0,03 - AC	30	0,35	0,03	201	---	---	---	---	---	1,07	6	---	8,7	---	SI	

Quadro: QUADRO BY-PASS 7 (Q_BP/7)		Tavola: CG0700P6ADSS100GNF 3000007A	Impianto: Progetto Impianto Elettrico																		
Sigla Arrivo: Q_BP/7 -0		Cliente: PONTE SULLO STRETTO DI MESSINA - PROGETTO DEFINITIVO	Descrizione Quadro: SCHEMA ELETTRICO UNIFILARE																		
Sistema di distribuzione: TN-S		C.d.t. % Max ammessa: 3,49 %	Icc di barratura: 1,02 [kA]	Tensione: 400 [V]																	
Circuito		Apparecchiatura	Corto circuito																		
Lunghezza ≤ Lunghezza max C.d.t. % con $I_b \leq C.d.t. \max$		Icc max ≤ P.d.I.	$I^2t \leq K^2S^2$																		
Sigla utenza	Sezione	L	C.d.t.% con I_b	Tipologia	Distribuzione	I_b	P.d.I.	Icc max	I di Int. Prot.	I gt Fondo Linea	K^2S^2	NEUTRO	PROTEZIONE								
[mm ²]	[m]	[m]	[%]				[A]	[kA]	[A]	[A]	[A ² S]	[A]	[A]	[A]	[A]	[A]					
Q_BP/7-36	---	---	3,07	C60H+Vigi AC	Monofase L3+N	0,03 - AC	30	0,35	0,03	201	---	---	---	---	---	0,962	6	---	8,7	---	SI
Q_BP/7-37	---	---	3,01	C60H+Vigi AC	Monofase L1+N	0,03 - AC	30	0,35	0,03	220	---	---	---	---	---	0	10	---	15	---	SI

Q_BP8

Quadro: QUADRO BY-PASS 8 (Q_BP/8)	Tavola: CG0700P6ADSS100GNF 30000008A	Impianto: Progetto Impianto Elettrico																						
Sigla Arrivo: Q_BP/8 -0	Cliente: PONTE SULLO STRETTO DI MESSINA - PROGETTO DEFINITIVO	Descrizione Quadro: SCHEMA ELETTRICO UNIFILARE																						
Sistema di distribuzione: TN-S		C.d.t. % Max ammessa: 3,49 %																						
Circuito	Apparecchiatura	Icc di barratura: 1 [kA]																						
Lunghezza ≤ Lunghezza max C.d.t. % con $I_b \leq C.d.t. \max$																								
Sigla utenza	Sezione	L	L max	C.d.t.% con I_b	Tipo	Distribuzione	I_d	P.d.l.	Icc max	Igt Int. Prot. Fondo Linea	I^2t max Inizio Linea	K^2S^2 Inizio Linea	I^2t max Inizio Linea	K^2S^2 Inizio Linea	FASE	NEUTRO	PROTEZIONE	Corto circuito			Sovraccarico Test			
																		[mm ²]	[m]	[m]	[%]	[A]	[kA]	[A]
Q_BP/8 -0	---	2,85	---	2,85	INS40	Quadrupolare	0	---	1	160	267	---	---	---	---	---	28	40	---	58	---	58	---	SI
Q_BP/8 -1	0	---	2,85	---	INS40	Quadrupolare	0	---	1	160	267	---	---	---	---	---	0	40	---	58	---	58	---	SI
Q_BP/8 -2	---	2,85	---	2,85	SBI Gr. 2x58	Quadrupolare	0	100	1	160	266	---	---	---	---	---	0	50	---	80	---	80	---	SI
Q_BP/8 -3	---	2,87	---	2,87	C60H	Quadrupolare	0	15	1	77	258	---	---	---	---	---	2,887	10	---	15	---	15	---	SI
Q_BP/8 -4	---	2,9	---	2,9	C60H+Vigi A	Mondfase L1+N	0,03 - A	30	0,47	0,03	225	---	---	---	---	---	0,481	6	---	8,7	---	8,7	---	SI
Q_BP/8 -5	---	2,87	---	2,87	C60H+Vigi A	Mondfase L2+N	0,03 - A	30	0,47	0,03	225	---	---	---	---	---	0	6	---	8,7	---	8,7	---	SI
Q_BP/8 -6	1(3G6)	75	285	3,24	C60H+Vigi A	Mondfase L3+N	0,03 - A	30	0,47	0,03	133	582	736164	582	736164	556	736164	1,443	6	36	8,7	52	SI	
Q_BP/8 -7	1(3G6)	75	285	3,24	C60H+Vigi A	Mondfase L1+N	0,03 - A	30	0,47	0,03	133	582	736164	582	736164	556	736164	1,443	6	36	8,7	52	SI	
Q_BP/8 -8	1(3G2,5)	15	54	3,32	C60H+Vigi A	Mondfase L2+N	0,03 - A	30	0,47	0,03	169	582	127806	582	127806	556	127806	2,887	6	21	8,7	30	SI	

Quadro: QUADRO BY-PASS 8 (Q_BP/8)	Tavola: CG0700P6ADSS100GNF 30000008A	Impianto: Progetto Impianto Elettrico																					
Sigla Arrivo: Q_BP/8 -0	Cliente: PONTE SULLO STRETTO DI MESSINA - PROGETTO DEFINITIVO	Descrizione Quadro: SCHEMA ELETTRICO UNIFILARE																					
Sistema di distribuzione: TN-S		C.d.t. % Max ammessa: 3,49 %																					
Circuito	Apparecchiatura	Icc di barratura: 1 [kA]																					
Lunghezza ≤ Lunghezza max C.d.t. % con $I_b \leq C.d.t. \max$																							
Sigla utenza	Sezione	L	L max	C.d.t.% con I_b	Tipo	Distribuzione	I_d	P.d.l.	Icc max	I_{gt} Fondo Linea	I di Int. Prot.												
												[mm ²]	[m]	[%]	[A]	[kA]	[A]	[A]	[A ² S]	[A ² S]	[A ² S]	[A ² S]	
Q_BP/8 -9 1(3G2;5)	15	55	3,3		C60H+Vigi A	Mondase L1+N	0,03 - A	30	0,51	0,03	173	617	127806	572	127806	2,887	6	21	8,7	30	SI		
Q_BP/8 -10 1(4G6)	15	61	3,14		C60H	Tripolare	0	15	1	160	228	2532	736164	---	---	1297	736164	15	25	31	36	45	SI
Q_BP/8 -11 1(4G6)	15	61	3,14		C60H	Tripolare	0	15	1	160	228	2532	736164	---	---	1297	736164	15	25	31	36	45	SI
Q_BP/8 -12 1(3G2;5)	15	116	3,08		C60H	Mondase L3+N	0	30	0,51	45	174	620	127806	573	127806	1,666	6	21	8,7	30	SI		
Q_BP/8 -13 1(3G1,5)	15	75	2,85		C60H	Mondase L1+N	0	15	0,51	60	148	620	46010	573	46010	0,006	6	15	8,7	22	SI		
Q_BP/8 -14 1(3G1,5)	15	75	2,85		C60H	Mondase L2+N	0	15	0,51	60	148	620	46010	573	46010	0,006	6	15	8,7	22	SI		
Q_BP/8 -15	---	---	2,85		C60H+Vigi A	Mondase L3+N	0,03 - A	30	0,51	0,03	232	---	---	---	---	0,077	6	---	8,7	---	SI		
Q_BP/8 -16	---	---	2,85	STI Gr. 8.5x31.5	Mondase L3+N	0,03	50	0,38	0,03	218	---	---	---	---	0,019	6	---	11	---	SI			
Q_BP/8 -17	---	---	2,85	STI Gr. 8.5x31.5	Mondase L3+N	0,03	50	0,38	0,03	218	---	---	---	---	0,019	6	---	11	---	SI			

Quadro: QUADRO BY-PASS 8 (Q_BP/8)	Tavola: CG0700P6ADSS100GNF 30000008A	Impianto: Progetto Impianto Elettrico																			
Sigla Arrivo: Q_BP/8 -0	Cliente: PONTE SULLO STRETTO DI MESSINA - PROGETTO DEFINITIVO	Descrizione Quadro: SCHEMA ELETTRICO UNIFILARE																			
Sistema di distribuzione: TN-S		C.d.t. % Max ammessa: 3,49 %																			
Circuito	Apparecchiatura	Icc di barratura: 1 [kA]																			
Lunghezza ≤ Lunghezza max C.d.t. % con $I_b \leq C.d.t. \max$																					
Sigla utenza	Sezione	L	L max	C.d.t.% con I_b	Tipo	Distribuzione	I_d	P.d.l.	Icc max	Igt Int. Prot. Fondo Linea	I^2t max Inizio Linea	FASE	NEUTRO	PROTEZIONE	Sovraccarico	Test					
												[A]	[A]	[A ² S]							
Q_BP/8 -18	[mm ²]	[m]	[m]	[%]	STI Gr. 8.5x31.5	Mondfase L3+N	0.03	50	0.38	0.03	218	---	---	---	0.019	6	---	11	---	SI	
Q_BP/8 -19					STI Gr. 8.5x31.5	Mondfase L3+N	0.03	50	0.38	0.03	218	---	---	---	0.019	6	---	11	---	SI	
Q_BP/8 -20					C60H+Vgi AC	Mondfase L1+N - AC	30	0.51	0.03	232	---	---	---	---	0.231	6	---	8,7	---	SI	
Q_BP/8 -21	(3G1,5)	15	1069	2.88	STI Gr. 8.5x31.5	Mondfase L1+N	0.03	50	0.38	0.03	99	6	46010	6	46010	0.038	2	15	4.2	22	SI
Q_BP/8 -22	(3G1,5)	15	1069	2.88	STI Gr. 8.5x31.5	Mondfase L1+N	0.03	50	0.38	0.03	99	6	46010	6	46010	0.038	2	15	4.2	22	SI
Q_BP/8 -23	(3G1,5)	15	1069	2.88	STI Gr. 8.5x31.5	Mondfase L1+N	0.03	50	0.38	0.03	99	6	46010	6	46010	0.038	2	15	4.2	22	SI
Q_BP/8 -24	(3G1,5)	15	1069	2.88	STI Gr. 8.5x31.5	Mondfase L1+N	0.03	50	0.38	0.03	99	6	46010	6	46010	0.038	2	15	4.2	22	SI
Q_BP/8 -25	(3G1,5)	15	1069	2.88	STI Gr. 8.5x31.5	Mondfase L1+N	0.03	50	0.38	0.03	99	6	46010	6	46010	0.038	2	15	4.2	22	SI
Q_BP/8 -26	(3G1,5)	15	1069	2.88	STI Gr. 8.5x31.5	Mondfase L1+N	0.03	50	0.38	0.03	99	6	46010	6	46010	0.038	2	15	4.2	22	SI

Quadro: QUADRO BY-PASS 8 (Q_BP/8)	Tavola: CG0700P6ADSS100GNF 30000008A	Impianto: Progetto Impianto Elettrico																					
Sigla Arrivo: Q_BP/8 -0	Cliente: PONTE SULLO STRETTO DI MESSINA - PROGETTO DEFINITIVO	Descrizione Quadro: SCHEMA ELETTRICO UNIFILARE																					
Sistema di distribuzione: TN-S		C.d.t. % Max ammessa: 3,49 %																					
Circuito	Apparecchiatura	Icc di barratura: 1 [kA]																					
Lunghezza ≤ Lunghezza max C.d.t. % con $I_b \leq C.d.t. \max$																							
Sigla utenza	Sezione	L	L max	C.d.t.% con I_b	Tipo	Distribuzione	I_d	P.d.l.	Icc max	Igt Int. Prot. Fondo Linea	I^2t max Inizio Linea	K^2S^2 Inizio Linea	FASE	NEUTRO	PROTEZIONE	Sovraccarico	Test						
													[A]	[A]	[A]			[A ² S]					
Q_BP/8-27	---	---	2,86	C60H+Vigi AC	Quadrupolare	0,03 - AC	15	1	0,03	257	---	---	---	---	---	1,45 I _b							
Q_BP/8-28	1(3G1,5)	15	98	3,05	C60H	Mondfase L1+N	0,03	30	0,47	0,03	155	1095	46010	827	46010	1,155	10	15	15	...	Si		
Q_BP/8-29	1(3G1,5)	15	238	2,94	C60H	Mondfase L3+N	0,03	30	0,47	0,03	155	1095	46010	827	46010	0,481	10	15	15	22	Si		
Q_BP/8-30	1(3G1,5)	15	79	3,09	C60H+Vigi A	Mondfase L2+N	0,03 - A	30	0,51	0,03	158	1240	46010	1240	46010	880	46010	1,443	10	15	15	22	Si
Q_BP/8-31	1(3G1,5)	15	240	2,93	C60H+Vigi A	Mondfase L3+N	0,03 - A	30	0,51	0,03	158	1240	46010	1240	46010	880	46010	0,481	10	15	15	22	Si
Q_BP/8-32	1(3G1,5)	15	119	3,01	C60H+Vigi A	Mondfase L1+N	0,03 - A	30	0,51	0,03	158	1240	46010	1240	46010	880	46010	0,962	10	15	15	22	Si
Q_BP/8-33	1(5G2,5)	15	158	2,97	C60H+Vigi AC	Quadrupolare	0,03 - AC	15	1	0,03	189	2044	127806	960	127806	738	127806	2,406	16	18	23	26	Si
Q_BP/8-34	1(3G2,5)	15	100	3	C60H+Vigi A	Mondfase L2+N	0,03 - A	30	0,51	0,03	187	1240	127806	1240	127806	880	127806	1,443	10	21	15	30	Si
Q_BP/8-35	1(3G2,5)	15	100	3	C60H+Vigi A	Mondfase L3+N	0,03 - A	30	0,51	0,03	187	1240	127806	1240	127806	880	127806	1,443	10	21	15	30	Si

Q_BP9

Quadro: QUADRO BY-PASS 9 (Q_BP/9)	Tavola: CG0700P6ADSS100GNF 3000009A	Impianto: Progetto Impianto Elettrico																					
Sigla Arrivo: Q_BP/9 -0	Cliente: PONTE SULLO STRETTO DI MESSINA - PROGETTO DEFINITIVO	Descrizione Quadro: SCHEMA ELETTRICO UNIFILARE																					
Sistema di distribuzione: TN-S		C.d.t. % Max ammessa: 3,49 %																					
Circuito	Apparecchiatura	Icc di barratura: 1,12 [kA]																					
Lunghezza ≤ Lunghezza max C.d.t. % con $I_b \leq C.d.t. \max$																							
Sigla utenza	Sezione	L	L max	C.d.t.% con I_b	Tipo	Distribuzione	I_d	P.d.l.	Icc max	Igt Int. Prot. Fondo Linea	I^2t max Inizio Linea	K^2S^2 Inizio Linea	I^2t max Inizio Linea	K^2S^2 Inizio Linea	FASE	NEUTRO	PROTEZIONE	Sovraccarico	Test				
																				[mm ²]	[m]	[m]	[%]
Q_BP/9-0	---	2,78	---	2,78	INS40	Quadrupolare	0	---	1,12	160	265	---	---	---	---	30	40	---	58	---	SI		
Q_BP/9-1	0	---	2,78	---	INS40	Quadrupolare	0	---	1,11	160	265	---	---	---	---	0	40	---	58	---	SI		
Q_BP/9-2	---	2,78	---	2,78	SBI Gr. 2x58	Quadrupolare	0	100	1,11	160	264	---	---	---	---	0	50	---	80	---	SI		
Q_BP/9-3	---	2,8	---	2,8	C60H	Quadrupolare	0	15	1,11	77	256	---	---	---	---	2,887	10	---	15	---	SI		
Q_BP/9-4	---	2,83	---	2,83	C60H+Vigi A	Mondfase L1+N	0,03 - A	30	0,52	0,03	223	---	---	---	---	0,481	6	---	8,7	---	SI		
Q_BP/9-5	---	2,8	---	2,8	C60H+Vigi A	Mondfase L2+N	0,03 - A	30	0,52	0,03	223	---	---	---	---	0	6	---	8,7	---	SI		
Q_BP/9-6	1(3G16)	225	790	3,21	C60H+Vigi A	Mondfase L3+N	0,03 - A	30	0,52	0,03	125	610	5234944	610	5234944	552	5234944	1,443	6	64	8,7	92	SI
Q_BP/9-7	1(3G16)	225	790	3,21	C60H+Vigi A	Mondfase L1+N	0,03 - A	30	0,52	0,03	125	610	5234944	610	5234944	552	5234944	1,443	6	64	8,7	92	SI
Q_BP/9-8	1(3G2,5)	15	58	3,25	C60H+Vigi A	Mondfase L2+N	0,03 - A	30	0,52	0,03	168	610	127806	610	127806	552	127806	2,887	6	21	8,7	30	SI

Quadro: QUADRO BY-PASS 9 (Q_BP/9)	Tavola: CG0700P6ADSS100GNF 3000009A	Impianto: Progetto Impianto Elettrico																				
Sigla Arrivo: Q_BP/9 -0	Cliente: PONTE SULLO STRETTO DI MESSINA - PROGETTO DEFINITIVO	Descrizione Quadro: SCHEMA ELETTRICO UNIFILARE																				
Sistema di distribuzione: TN-S		C.d.t. % Max ammessa: 3,49 %																				
Circuito	Apparecchiatura	Icc di barratura: 1,12 [kA]																				
Lunghezza ≤ Lunghezza max C.d.t. % con $I_b \leq C.d.t. \max$																						
Sigla utenza	Sezione	L	L max	C.d.t.% con I_b	Tipo	Distribuzione	I_d	P.d.l.	Icc max	Igt Int. Prot. Fondo Linea	I^2t max Inizio Linea	K^2S^2	NEUTRO	PROTEZIONE	Sovraccarico Test							
												[A]	[A]	[A]		[A]	[A]	[A]	[A]	[A]	[A]	[A]
Q_BP/9 -9 1(3G2;5)	15	59	3,23	060H+Vigi A	Mondfase L1+N	0,03 - A	30	0,56	0,03	172	649	127806	568	127806	2,887	6	21	8,7	30	SI		
Q_BP/9 -10 1(4G6)	15	59	3,07	C60H	Tripolare	0	15	1,11	160	226	2739	736164	---	---	1309	736164	15	25	31	36	45	SI
Q_BP/9 -11 1(4G6)	15	59	3,07	C60H	Tripolare	0	15	1,11	160	226	2739	736164	---	---	1309	736164	15	25	31	36	45	SI
Q_BP/9 -12 1(3G2;5)	15	123	3,01	C60H	Mondfase L3+N	0	30	0,56	45	172	653	127806	569	127806	1,666	6	21	8,7	30	SI		
Q_BP/9 -13 1(3G1,5)	15	74	2,78	C60H	Mondfase L1+N	0	15	0,56	60	147	653	46010	569	46010	0,006	6	15	8,7	22	SI		
Q_BP/9 -14 1(3G1,5)	15	74	2,78	C60H	Mondfase L2+N	0	15	0,56	60	147	653	46010	569	46010	0,006	6	15	8,7	22	SI		
Q_BP/9 -15	---	---	2,79	060H+Vigi A	Mondfase L3+N	0,03 - A	30	0,56	0,03	230	---	---	---	---	0,115	6	---	8,7	---	SI		
Q_BP/9 -16	---	---	2,79	STI Gr. 8.5x31.5	Mondfase L3+N	0,03	50	0,41	0,03	216	---	---	---	---	0,019	6	---	11	---	SI		
Q_BP/9 -17	---	---	2,79	STI Gr. 8.5x31.5	Mondfase L3+N	0,03	50	0,41	0,03	216	---	---	---	---	0,019	6	---	11	---	SI		

Quadro: QUADRO BY-PASS 9 (Q_BP/9)	Tavola: CG0700P6ADSS100GNF 3000009A	Impianto: Progetto Impianto Elettrico																			
Sigla Arrivo: Q_BP/9 -0	Cliente: PONTE SULLO STRETTO DI MESSINA - PROGETTO DEFINITIVO	Descrizione Quadro: SCHEMA ELETTRICO UNIFILARE																			
Sistema di distribuzione: TN-S		C.d.t. % Max ammessa: 3,49 %																			
Circuito	Apparecchiatura	Icc di barratura: 1,12 [kA]																			
Lunghezza ≤ Lunghezza max C.d.t. % con $I_b \leq C.d.t. \max$																					
Sigla utenza	Sezione	L	L max	C.d.t.% con I_b	Tipo	Distribuzione	I_d	P.d.l.	Icc max	Igt Int. Prot. Fondo Linea	I^2t max Inizio Linea	FASE	NEUTRO	PROTEZIONE	Sovraccarico	Test					
												[A]	[A]	[A ² S]							
Q_BP/9 -18	[mm ²]	[m]	[m]	[%]																	
Q_BP/9 -19	---	---	2,79	2,79	STI Gr. 8.5x31.5	Mondfase L3+N	0,03	50	0,41	0,03	216	---	---	---	0,019	6	---	11	---	SI	
Q_BP/9 -20	---	---	2,79	2,79	STI Gr. 8.5x31.5	Mondfase L3+N	0,03	50	0,41	0,03	216	---	---	---	0,019	6	---	11	---	SI	
Q_BP/9 -21	---	---	2,79	2,79	STI Gr. 8.5x31.5	Mondfase L3+N	0,03	50	0,41	0,03	216	---	---	---	0,019	6	---	11	---	SI	
Q_BP/9 -22	---	---	2,79	2,79	C60H+Vgi AC	Mondfase L1+N	0,03 - AC	30	0,56	0,03	230	---	---	---	0,231	6	---	8,7	---	SI	
Q_BP/9 -23	1(3G1,5)	15	1070	2,82	STI Gr. 8.5x31.5	Mondfase L1+N	0,03	50	0,41	0,03	98	6	46010	6	46010	0,038	2	15	4,2	22	SI
Q_BP/9 -24	1(3G1,5)	15	1070	2,82	STI Gr. 8.5x31.5	Mondfase L1+N	0,03	50	0,41	0,03	98	6	46010	6	46010	0,038	2	15	4,2	22	SI
Q_BP/9 -25	1(3G1,5)	15	1070	2,82	STI Gr. 8.5x31.5	Mondfase L1+N	0,03	50	0,41	0,03	98	6	46010	6	46010	0,038	2	15	4,2	22	SI
Q_BP/9 -26	1(3G1,5)	15	1070	2,82	STI Gr. 8.5x31.5	Mondfase L1+N	0,03	50	0,41	0,03	98	6	46010	6	46010	0,038	2	15	4,2	22	SI

Quadro: QUADRO BY-PASS 9 (Q_BP/9)	Tavola: CG0700P6ADSS100GNF 3000009A	Impianto: Progetto Impianto Elettrico																						
Sigla Arrivo: Q_BP/9 -0	Cliente: PONTE SULLO STRETTO DI MESSINA - PROGETTO DEFINITIVO	Descrizione Quadro: SCHEMA ELETTRICO UNIFILARE																						
Sistema di distribuzione: TN-S		C.d.t. % Max ammessa: 3,49 %																						
Circuito	Apparecchiatura	Icc di barratura: 1,12 [kA]																						
Sigla utenza	Sezione	L	L max	C.d.t.% con I _b	Tip	Distribuzione	I _d	P.d.l.	Icc max	I ² t max Inizio Linea	K ² S ²	NEUTRO	I ² t max Inizio Linea	K ² S ²	PROTEZIONE	I _b	I _n	I _z	I _f	1,45 I _z				
[mm ²]	[m]	[m]	[m]	[%]			[A]	[kA]	[A]	[A]	[A ² S]	[A ² S]	[A ² S]	[A ² S]	[A ² S]	[A]	[A]	[A]	[A]	[A]				
Q_BP/9-27	1(3G1,5)	15	1070	2,82	STI Gr. 8.5x31.5	Mondfase L1+N	0,03	50	0,41	0,03	98	6	46010	6	46010	0,038	2	15	4,2	22	Si			
Q_BP/9-28	1(3G1,5)	15	1070	2,82	STI Gr. 8.5x31.5	Mondfase L1+N	0,03	50	0,41	0,03	98	6	46010	6	46010	0,038	2	15	4,2	22	Si			
Q_BP/9-29		---	---	2,79	C60H+Vigi AC	Quadrupolare	0,03 - AC	15	1,11	0,03	255	---	---	---	---	---	1,155	10	---	15	---	Si		
Q_BP/9-30	1(3G1,5)	15	104	2,98	C60H	Mondfase L1+N	0,03	30	0,51	0,03	153	1220	46010	1220	46010	815	46010	1,155	10	15	15	22	Si	
Q_BP/9-31	1(3G1,5)	15	139	2,93	C60H	Mondfase L2+N	0,03	30	0,51	0,03	153	1220	46010	1220	46010	815	46010	0,866	10	15	15	22	Si	
Q_BP/9-32	1(3G1,5)	15	252	2,87	C60H	Mondfase L3+N	0,03	30	0,51	0,03	153	1220	46010	1220	46010	815	46010	0,481	10	15	15	22	Si	
Q_BP/9-33	1(3G1,5)	15	83	3,02	C60H+Vigi A	Mondfase L2+N	0,03 - A	30	0,56	0,03	157	1428	46010	1428	46010	868	46010	1,443	10	15	15	22	Si	
Q_BP/9-34	1(3G1,5)	15	254	2,86	C60H+Vigi A	Mondfase L3+N	0,03 - A	30	0,56	0,03	157	1428	46010	1428	46010	868	46010	0,481	10	15	15	22	Si	
Q_BP/9-35	1(3G6)	15	201	2,88	C60H+Vigi A	Mondfase L1+N	0,03 - A	30	0,56	0,03	226	309909	736164	1833	309909	736164	309909	736164	2,406	32	36	46	52	Si

Quadro: QUADRO BY-PASS 9 (Q_BP/9)	Tavola: CG0700P6ADSS100GNF 3000009A	Impianto: Progetto Impianto Elettrico																					
Sigla Arrivo: Q_BP/9 -0	Cliente: PONTE SULLO STRETTO DI MESSINA - PROGETTO DEFINITIVO	Descrizione Quadro: SCHEMA ELETTRICO UNIFILARE																					
Sistema di distribuzione: TN-S		C.d.t. % Max ammessa: 3,49 %																					
Circuito	Apparecchiatura	Icc di barratura: 1,12 [kA]																					
Lunghezza ≤ Lunghezza max C.d.t. % con $I_b \leq C.d.t. \max$		Tensione: 400 [V]																					
Sigla utenza	Sezione	L	L max	C.d.t.% con I_b	Tipo	Distribuzione	I_d	P.d.l.	Icc max	Igt Int. Prot. Fondo Linea	I^2t max Inizio Linea	K^2S^2 Inizio Linea	I^2t max Inizio Linea	K^2S^2 Inizio Linea	Icc max $\leq P.d.l.$	$I^2t \leq K^2S^2$	FASE	NEUTRO	PROTEZIONE	Sovraccarico Test			
																				[mm ²]	[m]	[m]	[%]
Q_BP/9 -36	1(3G1,5)	15	254	2,86	C60H+Vigi A	Mondafase L2+N	0,03 - A	30	0,56	0,03	157	1428	46010	1428	46010	868	46010	0,481	10	15	15	22	SI
Q_BP/9 -37	1(3G2,5)	15	167	2,9	C60H+Vigi AC	Quadrupolare	0,03 - AC	15	1,11	0,03	187	2233	127806	1048	127806	732	127806	2,406	16	18	23	26	SI
Q_BP/9 -38	1(3G2,5)	15	102	2,93	C60H+Vigi A	Mondafase L3+N	0,03 - A	30	0,56	0,03	185	1428	127806	1428	127806	868	127806	1,443	10	21	15	30	SI
Q_BP/9 -39	1(3G2,5)	15	102	2,93	C60H+Vigi A	Mondafase L1+N	0,03 - A	30	0,56	0,03	185	1428	127806	1428	127806	868	127806	1,443	10	21	15	30	SI
Q_BP/9 -40	1(3G2,5)	15	102	2,93	C60H+Vigi A	Mondafase L2+N	0,03 - A	30	0,56	0,03	185	1428	127806	1428	127806	868	127806	1,443	10	21	15	30	SI
Q_BP/9 -41	1(3G2,5)	15	102	2,93	C60H+Vigi A	Mondafase L3+N	0,03 - A	30	0,56	0,03	185	1428	127806	1428	127806	868	127806	1,443	10	21	15	30	SI
Q_BP/9 -42	1(3G2,5)	15	82	3,04	C60H+Vigi A	Mondafase L1+N	0,03 - A	30	0,56	0,03	185	1428	127806	1428	127806	868	127806	2,406	10	21	15	30	SI
Q_BP/9 -43	1(3G2,5)	15	82	3,04	C60H+Vigi A	Mondafase L2+N	0,03 - A	30	0,56	0,03	185	1428	127806	1428	127806	868	127806	2,406	10	21	15	30	SI
Q_BP/9 -44	---	---	2,85	---	C60H+Vigi AC	Mondafase L3+N	0,03 - AC	30	0,56	0,03	230	---	---	---	---	---	1,07	6	---	8,7	---	SI	

Quadro: QUADRO BY-PASS 9 (Q_BP/9)		Tavola: CG0700P6ADSS100GNF 3000009A	Impianto: Progetto Impianto Elettrico																		
Sigla Arrivo: Q_BP/9 -0		Cliente: PONTE SULLO STRETTO DI MESSINA - PROGETTO DEFINITIVO	Descrizione Quadro: SCHEMA ELETTRICO UNIFILARE																		
Sistema di distribuzione: TN-S		C.d.t. % Max ammessa: 3,49 %	Icc di barratura: 1,12 [kA]	Tensione: 400 [V]																	
Circuito		Apparecchiatura	Corto circuito																		
Lunghezza ≤ Lunghezza max C.d.t. % con $I_b \leq C.d.t. \max$		Icc max ≤ P.d.I.	$I^2t \leq K^2S^2$																		
Sigla utenza	Sezione	L	L _{max}	C.d.t.% con I_b	Tipo	Distribuzione	I_b	P.d.I.	Icc max	I _{di} Int. Prot.	I _{gt} Fondo Linea	I^2t max Inizio Linea	K^2S^2	NEUTRO	PROTEZIONE						
[mm ²]	[m]	[m]	[m]	[%]	[A]	[kA]	[A]	[A]	[A]	[A]	[A]	[A ² S]	[A ² S]	[A ² S]	[A]	[A]	[A]	[A]	[A]	[A]	
Q_BP/9-45	---	---	2,84	2,84	C60H+V/gi AC	Monofase L1+N	0,03 - AC	30	0,56	0,03	230	---	---	---	---	0,962	6	---	8,7	---	SI
Q_BP/9-46	---	---	2,78	2,78	C60H+V/gi AC	Monofase L2+N	0,03 - AC	30	0,56	0,03	255	---	---	---	---	0	10	---	15	---	SI

Q_BP10

Quadro: QUADRO BY-PASS 10 (Q_BP/10)		Tavola: CG0700P6ADSS100GNF 3000010A	Impianto: Progetto Impianto Elettrico																		
Sigla Arrivo: Q_BP/10 -0		Cliente: PONTE SULLO STRETTO DI MESSINA - PROGETTO DEFINITIVO	Descrizione Quadro: SCHEMA ELETTRICO UNIFILARE																		
Sistema di distribuzione: TN-S		C.d.t. % Max ammessa: 3,49 %	Icc di barratura: 1,28 [kA]	Tensione: 400 [V]																	
Circuito		Apparecchiatura	Corto circuito	Sovraccarico Test																	
Lunghezza ≤ Lunghezza max C.d.t. % con $I_b \leq C.d.t. \max$		Icc max ≤ P.d.I.	FASE $I^2t \leq K^2S^2$	NEUTRO $I^2t \leq K^2S^2$																	
Sigla utenza	Sezione	L	C.d.t.% con I_b	Tipologia	Distribuzione	I_b	P.d.I.	Icc max	I di Int. Prot.	I gt Fondo Linea	I^2t max Inizio Linea	K ² S ²	NEUTRO	PROTEZIONE	I _b	I _n	I _t	1,45 I _t			
[mm ²]	[m]	[m]	[%]			[A]	[kA]	[A]	[A]	[A]	[A ² S]	[A ² S]	[A ² S]	[A ² S]	[A]	[A]	[A]	[A]			
Q_BP/10 -0	---	---	2,17	Ins40	Quadrilaterale	0	---	1,28	160	296	---	---	---	---	28	40	---	58	---	Si	
Q_BP/10 -1	0	---	2,17	Ins40	Quadrilaterale	0	---	1,28	160	296	---	---	---	---	0	40	---	58	---	Si	
Q_BP/10 -2	---	---	2,17	SBI Gr. 22x58	Quadrilaterale	0	100	1,28	160	295	---	---	---	---	0	50	---	80	---	Si	
Q_BP/10 -3	---	---	2,2	C60H	Quadrilaterale	0	15	1,28	77	285	---	---	---	---	3,849	10	---	15	---	Si	
Q_BP/10 -4	---	---	2,27	C60H+Vigi A	Monofase L1+N	0,03 - A	30	0,58	0,03	245	---	---	---	---	0,862	6	---	8,7	---	Si	
Q_BP/10 -5	(3G1,5)	15	56	283	C60H+Vigi A	Monofase L1+N	0,03 - A	30	0,58	0,03	152	645	46010	600	46010	2,887	6	15	8,7	22	Si
Q_BP/10 -6	---	---	2,2	C60H	Quadrilaterale	0	15	1,28	77	285	---	---	---	---	2,887	10	---	15	---	Si	
Q_BP/10 -7	---	---	2,26	C60H+Vigi A	Monofase L1+N	0,03 - A	30	0,58	0,03	245	---	---	---	---	0,862	6	---	8,7	---	Si	
Q_BP/10 -8	(3G1,5)	15	56	282	C60H+Vigi A	Monofase L3+N	0,03 - A	30	0,58	0,03	152	645	46010	600	46010	2,887	6	15	8,7	22	Si

Quadro: QUADRO BY-PASS 10 (Q_BP/10)	Tavola: CG0700P6ADSS100GNF 3000010A	Impianto: Progetto Impianto Elettrico																					
Sigla Arrivo: Q_BP/10 -0	Cliente: PONTE SULLO STRETTO DI MESSINA - PROGETTO DEFINITIVO	Descrizione Quadro: SCHEMA ELETTRICO UNIFILARE																					
Sistema di distribuzione: TN-S	C.d.t. % Max ammessa: 3,49 %	Icc di barratura: 1,28 [kA]																					
Circuito	Apparecchiatura	Corto circuito																					
Lunghezza ≤ Lunghezza max C.d.t. % con $I_b \leq C.d.t. \max$	Icc max ≤ P.d.l. $I^2t \leq K^2S^2$	$I^2t \leq K^2S^2$																					
Sigla utenza	Sezione	L	L max	C.d.t.% con I_b	Tipo	Distribuzione	I_d	P.d.l.	Icc max	Igt Int. Prot. Fondo Linea	I^2t max Inizio Linea	K^2S^2 Inizio Linea	I^2t max Inizio Linea	K^2S^2 Inizio Linea	NEUTRO			PROTEZIONE					
															[A]	[kA]	[A]	[A]	[A ² S]	[A ² S]	[A ² S]	[A]	[A]
Q_BP/10-9	1(4G6)	15	69	2,47	C60H	Tripolare	0	15	1,28	160	248	3024	736164	---	---	1217	736164	15	25	31	36	45	G1
Q_BP/10-10	1(4G6)	15	69	2,47	C60H	Tripolare	0	15	1,28	160	248	3024	736164	---	---	1217	736164	15	25	31	36	45	G1
Q_BP/10-11	1(3G2,5)	15	183	2,41	C60H	Mondfase L3+N	0	30	0,65	45	184	695	127806	695	127806	620	127806	1,666	6	21	8,7	30	S1
Q_BP/10-12	1(3G1,5)	15	77	2,18	C60H	Mondfase L1+N	0	15	0,65	60	156	695	46010	695	46010	620	46010	0,006	6	15	8,7	22	S1
Q_BP/10-13	1(3G1,5)	15	77	2,18	C60H	Mondfase L2+N	0	15	0,65	60	156	695	46010	695	46010	620	46010	0,006	6	15	8,7	22	S1
Q_BP/10-14	---	---	---	2,18	C60H+Vigi A	Mondfase L3+N	0,03 - A	30	0,65	0,03	253	---	---	---	---	---	0,077	6	---	8,7	---	S1	
Q_BP/10-15	---	---	---	2,18	STI Gr. 8,5x31,5	Mondfase L3+N	0,03	50	0,44	0,03	236	---	---	---	---	---	0,019	6	---	11	---	S1	
Q_BP/10-16	---	---	---	2,18	STI Gr. 8,5x31,5	Mondfase L3+N	0,03	50	0,44	0,03	236	---	---	---	---	---	0,019	6	---	11	---	S1	
Q_BP/10-17	---	---	---	2,18	STI Gr. 8,5x31,5	Mondfase L3+N	0,03	50	0,44	0,03	236	---	---	---	---	---	0,019	6	---	11	---	S1	

Quadro: QUADRO BY-PASS 10 (Q_BP/10)	Tavola: CG0700P6ADSS100GNF 3000010A	Impianto: Progetto Impianto Elettrico																					
Sigla Arrivo: Q_BP/10 -0	Cliente: PONTE SULLO STRETTO DI MESSINA - PROGETTO DEFINITIVO	Descrizione Quadro: SCHEMA ELETTRICO UNIFILARE																					
Sistema di distribuzione: TN-S		C.d.t. % Max ammessa: 3,49 %																					
Circuito	Apparecchiatura	Icc di barratura: 1,28 [kA]																					
Lunghezza ≤ Lunghezza max C.d.t. % con $I_b \leq C.d.t. \max$																							
Sigla utenza	Sezione	L	L _{max}	C.d.t.% con I_b	Tipo	Distribuzione	I_d	P.d.l.	Icc max	I _{gt} max	K^2S^2	FASE		NEUTRO		PROTEZIONE		Sovraccarico		Test			
												[mm ²]	[m]	[%]	[A]	[kA]	[A]	[A]	[A ² S]	[A ² S]	[A ² S]	[A ² S]	I ² t max Inizio Linea
Q_BP/10-18	---	---	2,18	STI Gr. 8.5x31.5	Mondrase L3+N	0,03	50	0,44	0,03	236	---	---	---	---	---	0,019	6	---	11	---	SI		
Q_BP/10-19	---	---	2,19	C60H+Vigi AC	Mondrase L1+N	0,03 - AC	30	0,65	0,03	253	---	---	---	---	---	0,231	6	---	8,7	---	SI		
Q_BP/10-20	(3G1,5)	15	1071	2,21	STI Gr. 8.5x31.5	Mondrase L1+N	0,03	50	0,44	0,03	102	6	46010	6	46010	6	46010	0,038	2	15	4,2	22	SI
Q_BP/10-21	(3G1,5)	15	1071	2,21	STI Gr. 8.5x31.5	Mondrase L1+N	0,03	50	0,44	0,03	102	6	46010	6	46010	6	46010	0,038	2	15	4,2	22	SI
Q_BP/10-22	(3G1,5)	15	1071	2,21	STI Gr. 8.5x31.5	Mondrase L1+N	0,03	50	0,44	0,03	102	6	46010	6	46010	6	46010	0,038	2	15	4,2	22	SI
Q_BP/10-23	(3G1,5)	15	1071	2,21	STI Gr. 8.5x31.5	Mondrase L1+N	0,03	50	0,44	0,03	102	6	46010	6	46010	6	46010	0,038	2	15	4,2	22	SI
Q_BP/10-24	(3G1,5)	15	1071	2,21	STI Gr. 8.5x31.5	Mondrase L1+N	0,03	50	0,44	0,03	102	6	46010	6	46010	6	46010	0,038	2	15	4,2	22	SI
Q_BP/10-25	(3G1,5)	15	1071	2,21	STI Gr. 8.5x31.5	Mondrase L1+N	0,03	50	0,44	0,03	102	6	46010	6	46010	6	46010	0,038	2	15	4,2	22	SI
Q_BP/10-26	---	---	2,18	C60H+Vigi AC	Quadrupolare	0,03 - AC	15	1,28	0,03	284	---	---	---	---	---	1,155	10	---	15	---	SI		

Quadro: QUADRO BY-PASS 10 (Q_BP/10)	Tavola: CG0700P6ADSS100GNF 3000010A	Impianto: Progetto Impianto Elettrico																					
Sigla Arrivo: Q_BP/10 -0	Cliente: PONTE SULLO STRETTO DI MESSINA - PROGETTO DEFINITIVO	Descrizione Quadro: SCHEMA ELETTRICO UNIFILARE																					
Sistema di distribuzione: TN-S	C.d.t. % Max ammessa: 3,49 %	Icc di barratura: 1,28 [kA]																					
Circuito	Apparecchiatura	Corto circuito																					
Lunghezza ≤ Lunghezza max C.d.t. % con $I_b \leq C.d.t. \max$	Icc max ≤ P.d.l. Icc max ≤ P.d.l.	$I^2t \leq K^2S^2$ FASE NEUTRO PROTEZIONE																					
Sigla utenza	Sezione	L	L max	C.d.t.% con I_b	Tipο	Distribuzione	I_d	P.d.l.	Icc max	Igt Int. Prot. Fondo Linea	I^2t max Inizio Linea	K^2S^2 Inizio Linea	I^2t max Inizio Linea	K^2S^2 Inizio Linea	I_b	I_n	I_t	1,45 I_z					
[mm ²]	[m]	[m]	[%]		[A]	[kA]	[kA]	[A]	[A]	[A ² S]	[A ² S]	[A ² S]	[A ² S]	[A]	[A]	[A]	[A]						
Q_BP/10-27	1(3G1,5)	15	157	2,37	C60H	Mondfase L1+N	0,03	30	0,58	0,03	163	1424	46010	1424	46010	1,155	10	15	22	Si			
Q_BP/10-28	1(3G1,5)	15	379	2,26	C60H	Mondfase L2+N	0,03	30	0,58	0,03	163	1424	46010	1424	46010	975	46010	10	15	22	Si		
Q_BP/10-29	1(3G1,5)	15	126	2,41	C60H+Vigi A	Mondfase L2+N	0,03 - A	30	0,65	0,03	167	1706	46010	1706	46010	1034	46010	1,443	10	15	22	Si	
Q_BP/10-30	1(3G1,5)	15	381	2,25	C60H+Vigi A	Mondfase L3+N	0,03 - A	30	0,65	0,03	167	1706	46010	1706	46010	1034	46010	0,481	10	15	22	Si	
Q_BP/10-31	1(3G1,5)	15	381	2,25	C60H+Vigi A	Mondfase L1+N	0,03 - A	30	0,65	0,03	167	1706	46010	1706	46010	1034	46010	0,481	10	15	22	Si	
Q_BP/10-32	1(5G2,5)	15	251	2,29	C60H+Vigi AC	Quadrupolare	0,03 - AC	15	1,28	0,03	202	2495	127806	1171	127806	826	127806	2,406	16	18	23	Si	
Q_BP/10-33	1(3G2,5)	15	104	2,33	C60H+Vigi A	Mondfase L2+N	0,03 - A	30	0,65	0,03	200	1706	127806	1706	127806	1034	127806	1,443	10	21	15	30	Si
Q_BP/10-34	1(3G2,5)	15	104	2,33	C60H+Vigi A	Mondfase L3+N	0,03 - A	30	0,65	0,03	200	1706	127806	1706	127806	1034	127806	1,443	10	21	15	30	Si
Q_BP/10-35	1(3G2,5)	15	104	2,33	C60H+Vigi A	Mondfase L1+N	0,03 - A	30	0,65	0,03	200	1706	127806	1706	127806	1034	127806	1,443	10	21	15	30	Si

Quadro: QUADRO BY-PASS 10 (Q_BP/10)		Tavola: CG0700P6ADSS100GNF 3000010A		Impianto: Progetto Impianto Elettrico										
Sigla Arrivo: Q_BP/10 -0		Cliente: PONTE SULLO STRETTO DI MESSINA - PROGETTO DEFINITIVO		Descrizione Quadro: SCHEMA ELETTRICO UNIFILARE										
Sistema di distribuzione: TN-S				C.d.t. % Max ammessa: 3,49 %		Icc di barratura: 1,28 [kA]		Tensione: 400 [V]						
Circuito		Apparecchiatura				Corto circuito				Sovraccarico		Test		
				Icc max ≤ P.d.I.		I ² t ≤ K ² S ²								
Lunghezza ≤ Lunghezza max C.d.t. % con I _b ≤ C.d.t. max								FASE		NEUTRO		PROTEZIONE		
Sigla utenza	Sezione	L	L _{max}	C.d.t.% con I _b	Tipo	Distribuzione	I _d	P.d.I.	Icc max	I ² t max	K ² S ²	I ² t max Inizio Linea		
Q_BP/10 -36	1(3G2,5)	15	104	2,33	C60H+Vigi A	Monofase L2+N	0,03 - A	30	0,65	0,03	200	1706	127806	1034
Q_BP/10 -37	1(3G2,5)	15	104	2,43	C60H+Vigi A	Monofase L3+N	0,03 - A	30	0,65	0,03	200	1706	127806	1034
Q_BP/10 -38	1(3G2,5)	15	104	2,43	C60H+Vigi A	Monofase L1+N	0,03 - A	30	0,65	0,03	200	1706	127806	1034
Q_BP/10 -39	---	---	2,24	---	C60H+Vigi AC	Monofase L2+N	0,03 - AC	30	0,65	0,03	253	---	---	---
Q_BP/10 -40	---	---	2,24	---	C60H+Vigi AC	Monofase L3+N	0,03 - AC	30	0,65	0,03	253	---	---	---
Q_BP/10 -41	---	---	2,17	---	C60H+Vigi AC	Monofase L1+N	0,03 - AC	30	0,65	0,03	284	---	---	---

Q_BP11

Quadro: QUADRO BY-PASS 11 (Q_BP/11)	Tavola: CG0700P6ADSS100GNF 3000011A	Impianto: Progetto Impianto Elettrico																						
Sigla Arrivo: Q_BP/11 -0	Cliente: PONTE SULLO STRETTO DI MESSINA - PROGETTO DEFINITIVO	Descrizione Quadro: SCHEMA ELETTRICO UNIFILARE																						
Sistema di distribuzione: TN-S		C.d.t. % Max ammessa: 3,49 %																						
Circuito	Apparecchiatura	Icc di barratura: 1,19 [kA]																						
Sigla utenza	Sezione	L	L max	C.d.t.% con I _b	[%]	Tip	Distribuzione	I _d	P.d.l.	Icc max	Igt Int. Prot. Fondo Linea	I ² t max Inizio Linea	K ² S ² Inizio Linea	I ² t max	K ² S ² Inizio Linea	I _b	I _n	I _z	I _f	1,45 I _z				
[mm ²]	[m]	[m]	[m]			[A]	[A]	[kA]	[A]	[A]	[A]	[A ² S]	[A ² S]	[A ² S]	[A ² S]	[A]	[A]	[A]	[A]	[A]				
Q_BP/11 -0	---	2,31	---			INS40	Quadrupolare	0	---	1,19	160	327	---	---	---	28	40	---	58	---	SI			
Q_BP/11 -1	0	---	2,31			INS40	Quadrupolare	0	---	1,19	160	327	---	---	---	0	40	---	58	---	SI			
Q_BP/11 -2	---	2,31	---			SBI Gr. 2x58	Quadrupolare	0	100	1,19	160	326	---	---	---	0	50	---	80	---	SI			
Q_BP/11 -3	---	2,34	C60H			Quadrupolare	0	15	1,19	77	313	---	---	---	---	3,849	10	---	15	---	SI			
Q_BP/11 -4	---	2,37	C60H+Vigi A			Mondfase L1+N	0,03 - A	30	0,55	0,03	265	---	---	---	---	0,481	6	---	8,7	---	SI			
Q_BP/11 -5	---	2,34	C60H+Vigi A			Mondfase L2+N	0,03 - A	30	0,55	0,03	265	---	---	---	---	0	6	---	8,7	---	SI			
Q_BP/11 -6	---	2,4	C60H+Vigi A			Mondfase L3+N	0,03 - A	30	0,55	0,03	265	---	---	---	---	0,962	6	---	8,7	---	SI			
Q_BP/11 -7	1(3G4)	115	289	3,06		C60H+Vigi A	Mondfase L1+N	0,03 - A	30	0,55	0,03	91	645	327184	608	327184	645	327184	1,443	6	28	8,7	41	SI
Q_BP/11 -8	1(3G4)	115	289	3,06		C60H+Vigi A	Mondfase L2+N	0,03 - A	30	0,55	0,03	91	645	327184	608	327184	645	327184	1,443	6	28	8,7	41	SI

Quadro: QUADRO BY-PASS 11 (Q_BP/11)	Tavola: CG0700P6ADSS100GNF 3000011A	Impianto: Progetto Impianto Elettrico																			
Sigla Arrivo: Q_BP/11 -0	Cliente: PONTE SULLO STRETTO DI MESSINA - PROGETTO DEFINITIVO	Descrizione Quadro: SCHEMA ELETTRICO UNIFILARE																			
Sistema di distribuzione: TN-S		C.d.t. % Max ammessa: 3,49 %																			
Circuito	Apparecchiatura	Icc di barratura: 1,19 [kA]																			
Lunghezza ≤ Lunghezza max C.d.t. % con $I_b \leq C.d.t. \max$																					
Sigla utenza	Sezione	L	L max	C.d.t.% con I_b	Tipo	Distribuzione	I_d	P.d.l.	Icc max	Igt Int. Prot. Fondo Linea	I^2t max Inizio Linea										
												[A]	[A]	[A]	[A]	[A ² S]					
Q_BP/11-9 1(3G1,5)	15	51	2,96	O60H+V/gi A	Mondofase L3+N	0,03 - A	30	0,55	0,03	160	645	46010	2,887	6	15	8,7	22	SI			
Q_BP/11-10	---	---	2,33	C60H	Quadrupolare	0	15	1,19	77	313	---	---	---	---	2,887	10	---	15	---	SI	
Q_BP/11-11	---	---	2,4	O60H+V/gi A	Mondofase L1+N	0,03 - A	30	0,55	0,03	265	---	---	---	---	0,962	6	---	8,7	---	SI	
Q_BP/11-12 1(3G1,5)	15	51	2,96	O60H+V/gi A	Mondofase L2+N	0,03 - A	30	0,55	0,03	160	645	46010	2,887	6	15	8,7	22	SI			
Q_BP/11-13 1(4G6)	15	76	2,6	C60H	Tripolare	0	15	1,19	160	270	2772	736164	---	---	1265	736164	15	25	31	45	SI
Q_BP/11-14 1(4G6)	15	76	2,6	C60H	Tripolare	0	15	1,19	160	270	2772	736164	---	---	1265	736164	15	25	31	45	SI
Q_BP/11-15 1(3G2,5)	15	176	2,55	C60H	Mondofase L3+N	0	30	0,6	45	195	669	127806	652	127806	669	127806	6	21	8,7	30	SI
Q_BP/11-16 1(3G1,5)	15	78	2,31	C60H	Mondofase L1+N	0	15	0,6	60	164	669	46010	652	46010	669	46010	6	15	8,7	22	SI
Q_BP/11-17 1(3G1,5)	15	78	2,31	C60H	Mondofase L2+N	0	15	0,6	60	164	669	46010	652	46010	669	46010	6	15	8,7	22	SI

Quadro: QUADRO BY-PASS 11 (Q_BP/11)	Tavola: CG0700P6ADSS100GNF 3000011A	Impianto: Progetto Impianto Elettrico																		
Sigla Arrivo: Q_BP/11 -0	Cliente: PONTE SULLO STRETTO DI MESSINA - PROGETTO DEFINITIVO	Descrizione Quadro: SCHEMA ELETTRICO UNIFILARE																		
Sistema di distribuzione: TN-S		C.d.t. % Max ammessa: 3,49 %																		
Circuito	Apparecchiatura	Icc di barratura: 1,19 [kA]																		
Lunghezza ≤ Lunghezza max C.d.t. % con $I_b \leq C.d.t. \max$																				
Sigla utenza	Sezione	L	L max	C.d.t.% con I_b	Tipo	Distribuzione	I_d	P.d.l.	Icc max	Igt Int. Prot. Fondo Linea	I^2t max Inizio Linea	FASE	NEUTRO	PROTEZIONE	Sovraccarico	Test				
												[A]	[A]	[A ² S]						
Q_BP/11-18	---	---	2,31	O60H+Vigi A	Mondase L3+N	0,03 - A	30	0,6	0,03	275	---	---	---	0,077	6	---	8,7	---	SI	
Q_BP/11-19	---	---	2,32	STI Gr. 8.5x31.5	Mondase L3+N	0,03	50	0,43	0,03	255	---	---	---	0,019	6	---	11	---	SI	
Q_BP/11-20	---	---	2,32	STI Gr. 8.5x31.5	Mondase L3+N	0,03	50	0,43	0,03	255	---	---	---	0,019	6	---	11	---	SI	
Q_BP/11-21	---	---	2,32	STI Gr. 8.5x31.5	Mondase L3+N	0,03	50	0,43	0,03	255	---	---	---	0,019	6	---	11	---	SI	
Q_BP/11-22	---	---	2,32	STI Gr. 8.5x31.5	Mondase L3+N	0,03	50	0,43	0,03	255	---	---	---	0,019	6	---	11	---	SI	
Q_BP/11-23	---	---	2,33	O60H+Vigi AC	Mondase L1+N	0,03 - AC	30	0,6	0,03	275	---	---	---	0,231	6	---	8,7	---	SI	
Q_BP/11-24	1(3G1,5)	15	1069	2,35	STI Gr. 8.5x31.5	Mondase L1+N	0,03	50	0,43	0,03	105	6	46010	6	46010	2	15	4,2	22	SI
Q_BP/11-25	1(3G1,5)	15	1069	2,35	STI Gr. 8.5x31.5	Mondase L1+N	0,03	50	0,43	0,03	105	6	46010	6	46010	2	15	4,2	22	SI
Q_BP/11-26	1(3G1,5)	15	1069	2,35	STI Gr. 8.5x31.5	Mondase L1+N	0,03	50	0,43	0,03	105	6	46010	6	46010	2	15	4,2	22	SI

Quadro: QUADRO BY-PASS 11 (Q_BP/11)	Tavola: CG0700P6ADSS100GNF 3000011A	Impianto: Progetto Impianto Elettrico																											
Sigla Arrivo: Q_BP/11 -0	Cliente: PONTE SULLO STRETTO DI MESSINA - PROGETTO DEFINITIVO	Descrizione Quadro: SCHEMA ELETTRICO UNIFILARE																											
Sistema di distribuzione: TN-S	C.d.t. % Max ammessa: 3,49 %	Icc di barratura: 1,19 [kA]																											
Circuito	Apparecchiatura	Corto circuito																											
Lunghezza ≤ Lunghezza max C.d.t. % con $I_b \leq C.d.t. \max$	Icc max ≤ P.d.l.	<table border="1"> <thead> <tr> <th colspan="3">$I^2t \leq K^2S^2$</th> </tr> <tr> <th>FASE</th><th>NEUTRO</th><th>PROTEZIONE</th></tr> </thead> <tbody> <tr> <td>$I^2t \max$</td><td>K^2S^2</td><td>$I^2t \max$</td></tr> <tr> <td>Inizio Linea</td><td>Inizio Linea</td><td>Inizio Linea</td></tr> <tr> <td>[A]</td><td>[A²S]</td><td>[A²S]</td></tr> <tr> <td>[kA]</td><td>[kA]</td><td>[kA]</td></tr> <tr> <td>P.d.l.</td><td>Icc max</td><td>Igt Fondo Linea</td></tr> <tr> <td>L max</td><td>L</td><td>I di Int. Prot.</td></tr> <tr> <td>C.d.t.% con I_b</td><td>C.d.t.%</td><td>Igt Fondo Linea</td></tr> </tbody> </table>	$I^2t \leq K^2S^2$			FASE	NEUTRO	PROTEZIONE	$I^2t \max$	K^2S^2	$I^2t \max$	Inizio Linea	Inizio Linea	Inizio Linea	[A]	[A ² S]	[A ² S]	[kA]	[kA]	[kA]	P.d.l.	Icc max	Igt Fondo Linea	L max	L	I di Int. Prot.	C.d.t.% con I_b	C.d.t.%	Igt Fondo Linea
$I^2t \leq K^2S^2$																													
FASE	NEUTRO	PROTEZIONE																											
$I^2t \max$	K^2S^2	$I^2t \max$																											
Inizio Linea	Inizio Linea	Inizio Linea																											
[A]	[A ² S]	[A ² S]																											
[kA]	[kA]	[kA]																											
P.d.l.	Icc max	Igt Fondo Linea																											
L max	L	I di Int. Prot.																											
C.d.t.% con I_b	C.d.t.%	Igt Fondo Linea																											
Sigla utenza	Sezione	L	L max	C.d.t.% con I_b	[%]	Tip	Distribuzione	I _d	P.d.l.	Icc max	I ² t max	K ² S ²	I ² t max	K ² S ²	I_b	I_n	I_z	I_t	1,45 I _z										
	[mm ²]	[m]	[m]						[A]	[A]	[A]	[A ² S]	[A ² S]	[A ² S]	[A ² S]	[A]	[A]	[A]	[A]										
Q_BP/11-27	1(3G1,5)	15	1069	2,35	STI Gr. 8,5x31,5	Mondfase L1+N	0,03	50	0,43	0,03	105	6	46010	6	46010	0,038	2	15	4,2	22	SI								
Q_BP/11-28	1(3G1,5)	15	1069	2,35	STI Gr. 8,5x31,5	Mondfase L1+N	0,03	50	0,43	0,03	105	6	46010	6	46010	0,038	2	15	4,2	22	SI								
Q_BP/11-29	1(3G1,5)	15	1069	2,35	STI Gr. 8,5x31,5	Mondfase L1+N	0,03	50	0,43	0,03	105	6	46010	6	46010	0,038	2	15	4,2	22	SI								
Q_BP/11-30	---	---	2,32	C60H+Vigi AC	Quadrupolare	0,03 - AC	15	1,19	0,03	312	---	---	---	---	---	---	1,155	10	---	15	---	SI							
Q_BP/11-31	1(3G1,5)	15	145	2,51	C60H	Mondfase L1+N	0,03	30	0,54	0,03	172	1226	46010	1226	46010	1,155	10	15	15	22	SI								
Q_BP/11-32	1(3G1,5)	15	351	2,4	C60H	Mondfase L2+N	0,03	30	0,54	0,03	172	1226	46010	1226	46010	1,126	46010	0,481	10	15	15	22	SI						
Q_BP/11-33	1(3G1,5)	15	116	2,55	C60H+Vigi A	Mondfase L2+N	0,03 - A	30	0,6	0,03	176	1446	46010	1446	46010	1,443	10	15	15	22	SI								
Q_BP/11-34	1(3G1,5)	15	352	2,39	C60H+Vigi A	Mondfase L3+N	0,03 - A	30	0,6	0,03	176	1446	46010	1446	46010	1,202	46010	0,481	10	15	15	22	SI						
Q_BP/11-35	1(3G1,5)	15	352	2,39	C60H+Vigi A	Mondfase L1+N	0,03 - A	30	0,6	0,03	176	1446	46010	1446	46010	1,202	46010	0,481	10	15	15	22	SI						

Quadro: QUADRO BY-PASS 11 (Q_BP/11)	Tavola: CG0700P6ADSS100GNF 3000011A	Impianto: Progetto Impianto Elettrico																						
Sigla Arrivo: Q_BP/11 -0	Cliente: PONTE SULLO STRETTO DI MESSINA - PROGETTO DEFINITIVO	Descrizione Quadro: SCHEMA ELETTRICO UNIFILARE																						
Sistema di distribuzione: TN-S		C.d.t. % Max ammessa: 3,49 %																						
Circuito	Apparecchiatura	Icc di barratura: 1,19 [kA]																						
Lunghezza ≤ Lunghezza max C.d.t. % con $I_b \leq C.d.t. \max$																								
Sigla utenza	Sezione	L	L max	C.d.t.% con I_b	Tipo	Distribuzione	I_d	P.d.l.	Icc max	I_{gt} Fondo Linea	I di Int. Prot.													
												[mm ²]	[m]	[%]	[A]	[kA]	[A]	[A]	[A ² S]	[A ² S]	[A ² S]	[A ² S]		
Q_BP/11-36	1(5G2;5)	15	233	2,43	C60H+Vigi AC	Quadrilaterale	0,03 - AC	15	1,19	0,03	216	2260	127806	1058	127806	127806	920	127806	2,406	16	18	23	26	SI
Q_BP/11-37	1(3G2;5)	15	101	2,46	C60H+Vigi A	Mondfase L2+N	0,03 - A	30	0,6	0,03	213	1446	127806	1446	127806	127806	1202	127806	1,443	10	21	15	30	SI
Q_BP/11-38	1(3G2;5)	15	101	2,46	C60H+Vigi A	Mondfase L3+N	0,03 - A	30	0,6	0,03	213	1446	127806	1446	127806	127806	1202	127806	1,443	10	21	15	30	SI
Q_BP/11-39	1(3G2;5)	15	101	2,46	C60H+Vigi A	Mondfase L1+N	0,03 - A	30	0,6	0,03	213	1446	127806	1446	127806	127806	1202	127806	1,443	10	21	15	30	SI
Q_BP/11-40	1(3G2;5)	15	101	2,46	C60H+Vigi A	Mondfase L2+N	0,03 - A	30	0,6	0,03	213	1446	127806	1446	127806	127806	1202	127806	1,443	10	21	15	30	SI
Q_BP/11-41	1(3G2;5)	15	101	2,57	C60H+Vigi A	Mondfase L3+N	0,03 - A	30	0,6	0,03	213	1446	127806	1446	127806	127806	1202	127806	2,406	10	21	15	30	SI
Q_BP/11-42	1(3G2;5)	15	101	2,57	C60H+Vigi A	Mondfase L1+N	0,03 - A	30	0,6	0,03	213	1446	127806	1446	127806	127806	1202	127806	2,406	10	21	15	30	SI
Q_BP/11-43	---	---	---	2,38	C60H+Vigi AC	Mondfase L2+N	0,03 - AC	30	0,6	0,03	275	---	---	---	---	---	---	---	1,07	6	---	8,7	---	SI
Q_BP/11-44	---	---	---	2,37	C60H+Vigi AC	Mondfase L3+N	0,03 - AC	30	0,6	0,03	275	---	---	---	---	---	---	---	0,962	6	---	8,7	---	SI

ALLEGATO 2
DIMENSIONAMENTO RETE DI MEDIA TENSIONE (MT)

GENERALITA'

Nel presente allegato vengono riportati i risultati del calcolo di dimensionamento delle linee in media tensione (MT) che costituiscono la rete di alimentazione alle cabine MT/bt, asservite agli impianti tecnologici dei tunnel stradali lato Sicilia.

La rete di media tensione è stata concepita ad anello, facente capo alla sottostazione MT-SS lato Sicilia, da gestirsi normalmente aperto in un punto che consenta l'ottimizzazione delle perdite di rete nel funzionamento normale.

Tale rete dovrà tuttavia essere dimensionata e verificata nella condizione più sfavorevole di funzionamento, ovvero nel caso di fuori servizio di una delle due linee in partenza dalla sottostazione di alimentazione dell'anello.

Lo schema della rete allo studio è riportato in Fig. 1

I dati generali di ingresso sono i seguenti:

- tensione nominale 20.000 V ac;
- frequenza 50 Hz;
- massima caduta di tensione in media tensione nel funzionamento normale: 2%
- massima caduta di tensione in media tensione nel funzionamento in emergenza: 5%.

La distribuzione è realizzata:

- tramite cavi di tipo RG7H1M1X 12/20 kV
- con posa a trifoglio entro cavidotti interrati dedicati in PE.

La rete è costituita dalle seguenti linee:

Nome	Lunghezza (m)	N. di cavi per fase	Da nodo	A nodo
L SS-ESA	1785	1	MT-SS CONSEGNA ENEL	CAB ESAZIONE
L ESA-FSRC	315	1	CAB ESAZIONE	CAB FARO SUP RC
L FSRC-FSME	3730	1	CAB FARO SUP RC	CAB FARO SUP ME
L FSME-LFRC	1795	1	CAB FARO SUP ME	CAB LE FOSSE RC
L LFRC-LFME	3035	1	CAB LE FOSSE RC	CAB LE FOSSE ME
L BAL-FOSSE	4495	1	CAB LE FOSSE ME	CAB BALENA
L BAL-PAN	5405	1	CAB BALENA	CAB PANORAMICA
L PAN-SS	1180	1	CAB PANORAMICA	MT-SS CONSEGNA ENEL

Di seguito sono illustrati i criteri di dimensionamento adottati. La procedura prevede calcoli di load flow e corto circuito eseguiti tramite il software NEPLAN®, ver. 5.4.3, prodotto da BCP Zurigo.

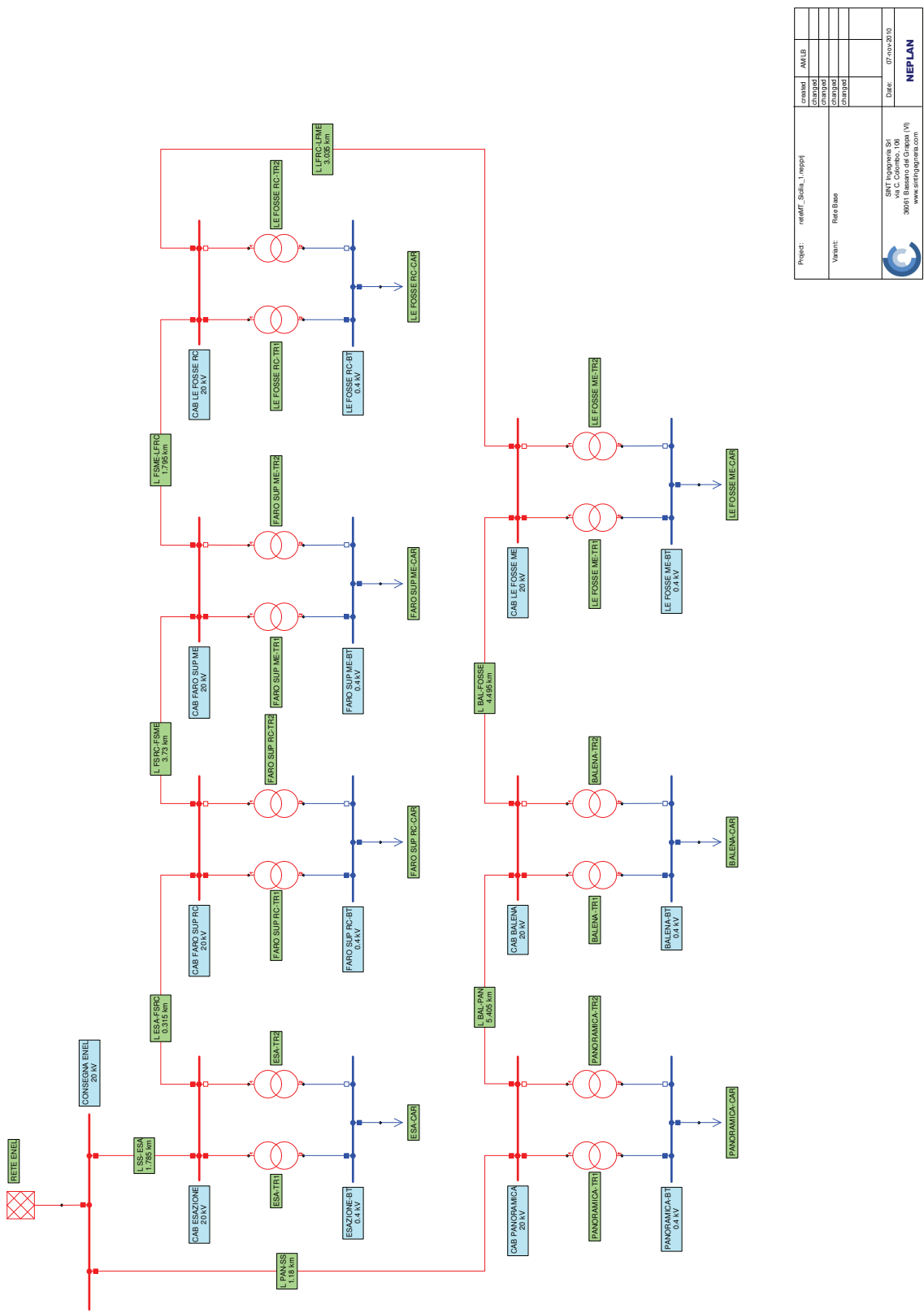


Figura 1 - Schema della rete MT/bt lato Sicilia

Project:	reteIT_Sicilia_1.meppl	created:	2018-01-12 10:45:20
Variant:	RefeBase	changed:	
		changed:	

SMT Innovation Srl
via G. Cesareo 106
36061 Bassano del Grappa (VI)
www.smtinnovation.com

NEPLAN

Date: 01/01/2010

DISTRIBUZIONE CARICHI

I casi di studio considerati sono riportati in seguito:

- Funzionamento normale;
- Funzionamento in emergenza.

Per funzionamento in emergenza si intende il caso più sfavorevole di carico per la rete, corrispondente ad una maggiore richiesta delle cabine Faro Superiore per ragioni di emergenza (evento di incendio), associato alla indisponibilità della linea L SS-ESA tra la sottostazione di consegna ENEL MT-SS e la cabina "Esazione".

I casi di cui sopra prevedono le seguenti distribuzioni dei carichi:

Cabina	Potenza installata (kVA)	Potenza assorbita in funzionamento normale (kVA)	Potenza assorbita in funzionamento in emergenza (kVA)
Cabina svincolo Panoramica	160	77	77
Fabbricato tecnologico barriera esazione	160	128	128
Cabina lato Reggio C. "Faro Superiore"	1600	816	1080
Cabina lato Messina "Faro Superiore"	1600	834	1143
Cabina lato Reggio C. "Balena"	1600	1004	1004
Cabina lato Reggio C "Le Fosse"	1250	654	654
Cabina lato Messina "Le Fosse"	1250	691	691

DETERMINAZIONE DELLA SEZIONE DEI CAVI

La sezione ipotizzata per tutte le tratte MT, oggetto di verifica, è pari a **1x185 mm²**.

Le caratteristiche di tale cavo sono le seguenti:

Tipo di cavo	Formazione	R _d (Ω/km)	X _d (Ω/km)	C _d (μF/km)	R ₀ (Ω/km)	X ₀ (Ω/km)	C ₀ (μF/km)	I _{zmax} (A)	I _z (A)
RG7H1M1X 12/20 kV	3x1x185	0.101	0.11	0.29	0.739	0.294	0.29	456	374

dove:

- R_d : resistenza alla sequenza diretta
- X_d : reattanza alla sequenza diretta
- C_d : capacità alla sequenza diretta
- R_0 : resistenza alla sequenza zero (omopolare)
- X_0 : reattanza alla sequenza zero (omopolare)
- C_0 : capacità alla sequenza zero (omopolare)
- I_{zmax} : portata nominale del cavo
- I_z : portata reale del cavo ($I_z = I_{zmax} \cdot k$ con $k= 0.82$)

I calcoli di verifica, secondo i criteri sopra esposti, sono di seguito presentati:

1) Verifica della condizione $I_b \leq I_z$ e delle cadute di tensione.

Il risultato del calcolo del load flow con rete in condizione di emergenza è riportato in Fig. 2, mentre quello con rete in condizioni normali è visibile in Fig. 3.

Dai risultati ottenuti si deduce che:

- il massimo carico si ha sulla linea in partenza dalla sottostazione in caso di indisponibilità dell'altra linea ed è pari al 36 % della I_z
- le cadute di tensione nei nodi di media tensione in caso di funzionamento normale sono contenute entro lo 0.6 %
- le cadute di tensione nei nodi di media tensione in caso di funzionamento in emergenza sono contenute entro il 2.5 %
- la caduta di tensione nei nodi di bassa tensione può essere limitata prevedendo di gestire i trasformatori MT/bt sulla tap -1.

La taratura per sovraccarico della protezione di linea dovrà essere inferiore a 374 A.

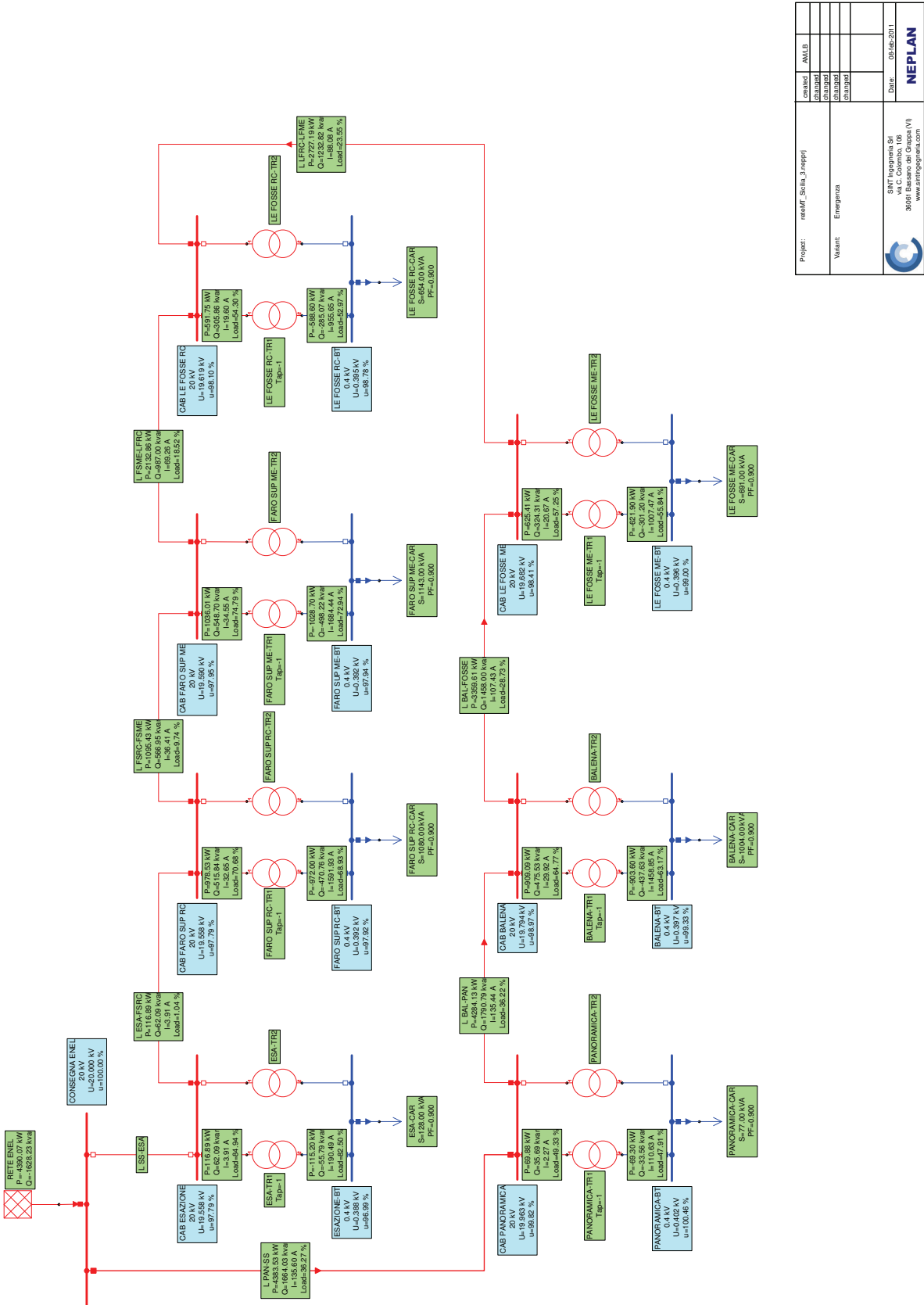


Figura 2 - Condizione di funzionamento in emergenza – Risultati calcolo di load flow

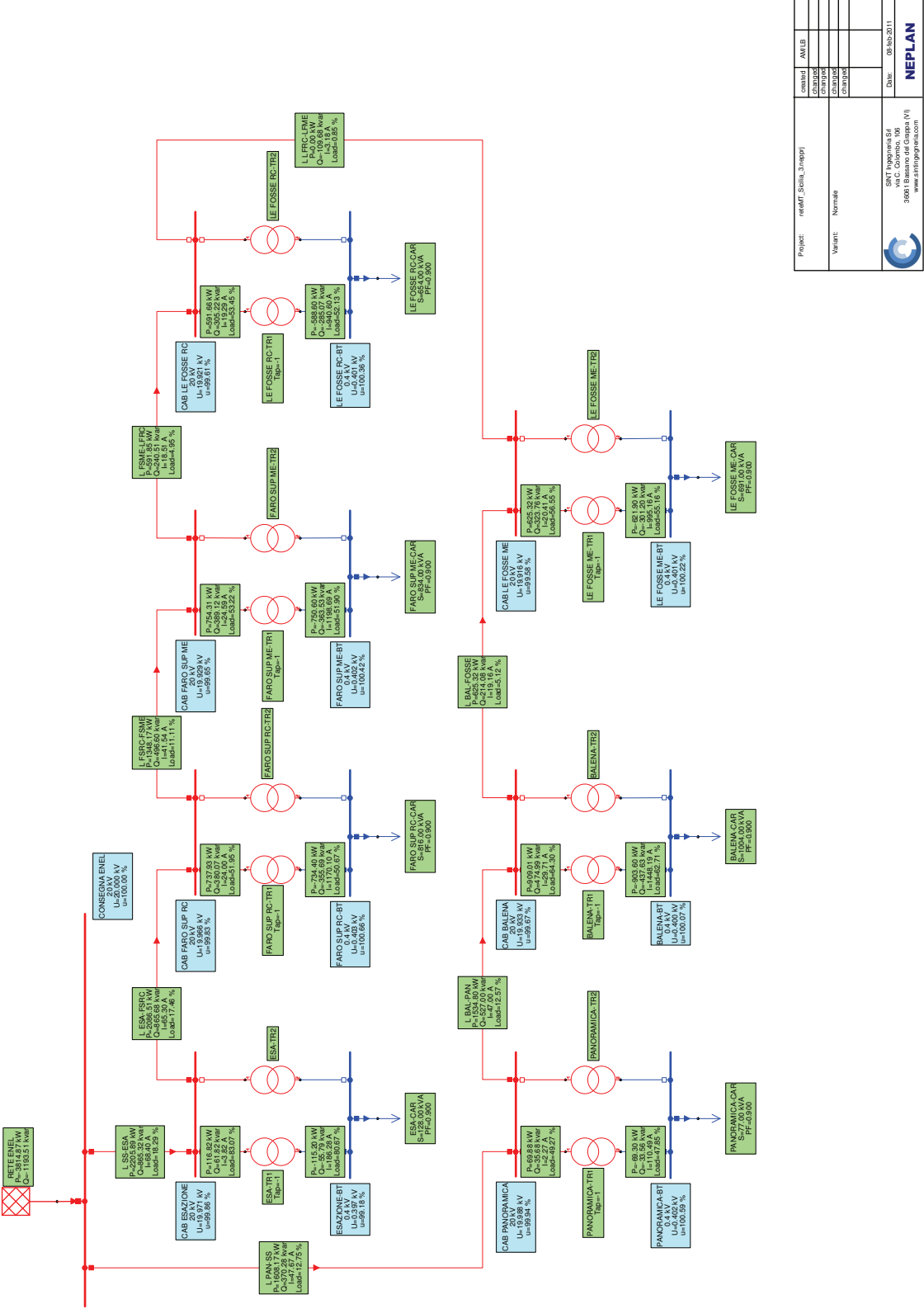


Figura 3 - Condizione di funzionamento normale – Risultati calcolo di load flow

Project:	residIT_Sistemi_3 (respi)	created:	2013-05-01
Variant:	Normale	changed:	2013-05-01
SNT Importazione Srl	via C. Colombo, 106	Date:	09-05-2011
	www.sntimportazione.com		NEPLAN

2) Verifica della tenuta al corto circuito

Nella configurazione di rete che porta alle massime correnti di corto circuito nei nodi, viene valutata l'energia specifica passante in ciascuna linea, verificando che il tempo massimo di tenuta del cavo sia superiore al tempo di eliminazione del guasto. Quest'ultimo viene assunto conservativamente pari ad 1 s.

La configurazione di rete considerata è quella in funzionamento normale.

La relazione valutata è:

$$K^2 S^2 > I^2 t$$

I risultati del calcolo delle correnti di corto circuito, eseguito in accordo alla norma IEC 609090-2001, per i nodi di interesse sono di seguito riportati:

Nodo	$I_k(RST)$ (kA)
CONSEGNA ENEL	12.5
CAB ESAZIONE	10.148
CAB FARO SUP RC	9.812
CAB BALENA	6.596
CAB PANORAMICA	10.853
CAB FARO SUP ME	6.989
CAB LE FOSSE ME	4.927
CAB LE FOSSE RC	6.12

La verifica sulla tenuta termica dei cavi è quindi la seguente:

Linha	S [mm ²]	K	$I_{k'' \max}$ [kA]	t_{\max} [s] = $K^2 S^2 / I_k''^2$	Verifica $t_{\max} > 1$ s
L SS-ESA	185	143	12.5	4.48	Positiva
L FSME-LFRC	185	143	6.989	14.33	Positiva
L FSRC-FSME	185	143	9.812	7.27	Positiva
L ESA-FSRC	185	143	10.148	6.80	Positiva
L BAL-FOSSE	185	143	6.596	16.09	Positiva
L LFRC-LFME	185	143	6.12	18.69	Positiva
L PAN-SS	185	143	12.5	4.48	Positiva
L BAL-PAN	185	143	10.853	5.94	Positiva
L SS-ESA	185	143	12.5	4.48	Positiva

ALLEGATO 3
DIMENSIONAMENTO
VENTILAZIONE E CONDIZIONAMENTO LOCALI TECNICI

Dati iniziali

Dati climatici esterni

	inv.	est. per vent.	est. per cnzd.
Temperatura (°C)	2,0	34	34
Umidità assoluta (g/kg)	3,00	13,35	13,35
Entalpia (kJ/kg)	9,5	68,2	68,2

Dati climatici interni

	inv.	est. per vent.	est. per cnzd.
Temperatura (°C)	5,0	39	26
Umidità assoluta (g/kg)	3,00	13,35	13,35
Entalpia (kJ/kg)	12,5	73,4	60,0

Dati geometrici

Superficie locale (mq)	19,50
Altezza locale (m)	3,00
Volume (mc)	58,50

Potenza termica da smaltire periodo estivo

Potenza termica dovuta alle condizioni climatiche esterne (annulate se potenze negative)

Apporti per irraggiamento	S (mq)	Orientamento	Radiazione (W/mq)	Coef. Cor.	Pest vent. (W)	Pest cnzd. (W)
Strutture vetrate	0,0 S		125	1,00	0,0	0,0
Strutture vetrate	0,0 SO		162	1,00	0,0	0,0
Strutture vetrate	0,0 E		183	1,00	0,0	0,0
Strutture vetrate	0,0 N		106	1,00	0,0	0,0
Apporti per trasmissione	S (mq)	U (W/mq*K)	ti vent. (°C)	te vent. (°C)	ti cnzd. (°C)	te cnzd. (°C)
Vetri esterni	0,0	0,00	39,0	34,0	26,0	34,0
Pareti esterne	37,5	3,40	39,0	34,0	26,0	34,0
Soffitto esterno	19,5	3,40	39,0	34,0	26,0	34,0
Pavimento su terra	19,5	2,00	39,0	10,0	26,0	10,0
Solaio	0,0	0,00	39,0	15,0	26,0	15,0
Incidenza ponti termici (%)	5,0					
Apporti per ricambi naturali	Volume (mc)	Ricambi (Vol/h)	Carico s vent. (kJ/mc)	Carico s cond. (kJ/mc)	Pest vent. (W)	Pest cnzd. (W)
	58,50	0,5	-6,050	9,679	0,0	78,6
TOTALE (W)					0,0	1.706,6

Potenza termica dovuta alle apparecchiature

Quadri	P (W)	Rendim, (p.u.)	F carico (p.u.)	Valore noto (W)	Ps (W)
Q_MT	1.440.000	0,999	0,95		1.368
Altri valori					
Armadi rack					
Illuminazione e ausiliari					98
Valori noti					-
TOTALE (W)					1.466
Total					
Total (W)					1.466
Coefficiente di maggiorazione (%)					3.172
Totale maggiorato (W)					5
					1.539
					3.331

Potenza termica da garantire periodo invernale

Potenza termica dovuta alle condizioni climatiche esterne

Apporti per trasmissione	S (mq)	Orientamento	Coeff espos.	U (W/mq*K)	ti (°C)	te (°C)	Pinv (W)
Vetri esterni	0,0		1,00		5,0	2,0	0,0
Pareti esterne	37,5 E		1,15	3,40	5,0	2,0	439,9
Soffitto esterno	19,5		1,00	3,40	5,0	2,0	198,9
Pavimento su terra	19,5		1,00	2,00	5,0	5,0	0,0
Solaio	0,0		1,00		5,0	10,0	0,0
Incidenza ponti termici (%)	10,0						63,9

Apporti per ricambi naturali	Volume (mc)	Ricambi (Vol/h)	Carico s (kJ/mc)	Pinv (W)
	58,50	0,5	3,671	29,8

TOTALE (W)		Pinv.
		732,5

Potenza termica dovuta alle apparecchiature

TOTALE (W)	-	1.466
Totale	-	
Totale (W)	-	733
Coefficiente di maggiorazione (%)		5
Totale maggiorato (W)	-	-

Raffreddamento con sola ventilazione con aria esterna

Calcolo portata d'aria di ventilazione

Temperatura media (°C)	36,5
Densità dell'aria (kg/mc)	1,14
Calore specifico dell'aria (kJ/kg K)	1,03
Portata aria di ventilazione (mc/s)	0,26
Volume locale (mc)	58,50
Numero ricambi (vol/h)	16

Ventilazione forzata

Numero di ventilatori in funzione	1
Portata aria ventilatore (mc/h)	946
Perdita di carico bocchetta aspirazione (Pa)	25,0
Perdita di carico bocchetta espulsione (Pa)	15,0
Metri di canale (m)	0,0
Perdita di carico lineare canale (Pa/m)	0,0
Perdite di carico concentrate (Pa)	10,0
Prevalenza ventilatore (Pa)	50,0
Marca	Systemair
Modello	KVE-DK 310 M4
Accessori	Regolatore di velocità, serranda di sovrappressione

Dati iniziali

Dati climatici esterni

	inv.	est. per vent.	est. per cndz.
Temperatura (°C)	2,0	34	34
Umidità assoluta (g/kg)	3,00	13,35	13,35
Entalpia (kJ/kg)	9,5	68,2	68,2

Dati climatici interni

	inv.	est. per vent.	est. per cndz.
Temperatura (°C)	10,0	39	26
Umidità assoluta (g/kg)	3,00	13,35	13,35
Entalpia (kJ/kg)	17,6	73,4	60,0

Dati geometrici

Superficie locale (mq)	22,75
Altezza locale (m)	3,00
Volume (mc)	68,25

Potenza termica da smaltire periodo estivo

Potenza termica dovuta alle condizioni climatiche esterne (annulate se potenze negative)

Apporti per irraggiamento	S (mq)	Orientamento	Radiazione (W/mq)	Coef. Cor.	Pest vent.	Pest cndz.
Strutture vetrate	0,0 S		125	1,00		
Strutture vetrate	0,0 SO		162	1,00		
Strutture vetrate	0,0 E		183	1,00		
Strutture vetrate	0,0 N		106	1,00		
Apporti per trasmissione	S (mq)	U (W/mq*K)	ti vent. (°C)	te vent. (°C)	ti cndz. (°C)	te cndz. (°C)
Vetri esterni	0,0	0,00	39,0	34,0	26,0	34,0
Pareti esterne	21,0	3,40	39,0	34,0	26,0	34,0
Soffitto esterno	22,8	3,40	39,0	34,0	26,0	34,0
Pavimento su terra	22,8	2,00	39,0	10,0	26,0	10,0
Solaio	0,0	0,00	39,0	15,0	26,0	15,0
Incidenza ponti termici (%)	5,0					
Apporti per ricambi naturali	Volume (mc)	Ricambi (Vol/h)	Carico s vent. (kJ/mc)	Carico s cond. (kJ/mc)	Pest vent. (W)	Pest cndz. (W)
	68,25	0,5	-6,050	9,679	0,0	91,8
TOTALE (W)					Pest vent.	Pest cndz.
					0,0	1.341,3

Potenza termica dovuta alle apparecchiature

Trasformatori	PFe (W)	PCu (W)	F carico (p.u.)	Ps (W)
Trasformatore 1600 kVA	2.100	12.200	0,95	13.111
Altri valori				
Armadi rack				Ps (W)
Illuminazione e ausiliari				-
Valori noti				-
TOTALE (W)				13.111
Total				
Total (W)				13.111
Coefficiente di maggiorazione (%)			5	14.452
Total maggiornato (W)			5	13.766
				15.174

Potenza termica da garantire periodo invernale

Potenza termica dovuta alle condizioni climatiche esterne

Apporti per trasmissione	S (mq)	Orientamento	Coeff espos.	U (W/mq*K)	ti (°C)	te (°C)	Pinv (W)
Vetri esterni	0,0		1,00		10,0	2,0	0,0
Pareti esterne	21,0	E	1,15	3,40	10,0	2,0	656,9
Soffitto esterno	22,8		1,00	3,40	10,0	2,0	618,8
Pavimento su terra	22,8		1,00	2,00	10,0	5,0	227,5
Solaio	0,0		1,00		10,0	10,0	0,0
Incidenza ponti termici (%)	10,0						150,3

Apporti per ricambi naturali	Volume (mc)	Ricambi (Vol/h)	Carico s (kJ/mc)	Pinv (W)
	68,25	0,5	9,789	92,8

TOTALE (W)		Pinv. 1.746,3
------------	--	------------------

Potenza termica dovuta alle apparecchiature

TOTALE (W)	-	Pinv. 13.111
Totale		
Totale (W)	-	Pinv. 11.364
Coefficiente di maggiorazione (%)		5
Totale maggiorato (W)	-	-

Raffreddamento con sola ventilazione con aria esterna

Calcolo portata d'aria di ventilazione

Temperatura media (°C)	36,5
Densità dell'aria (kg/mc)	1,14
Calore specifico dell'aria (kJ/kg K)	1,03
Portata aria di ventilazione (mc/s)	2,35
Volume locale (mc)	68,25
Numero ricambi (vol/h)	124

Ventilazione forzata

Numero di ventilatori in funzione	2,0
Portata aria ventilatore (mc/h)	4.233
Perdita di carico bocchetta aspirazione (Pa)	25,0
Perdita di carico bocchetta espulsione (Pa)	30,0
Metri di canale (m)	0,0
Perdita di carico lineare canale (Pa/m)	0,0
Perdite di carico concentrate (Pa)	20,0
Prevalenza ventilatore (Pa)	75,0
Marca	Systemair
Modello	KVE-DK 450 M4
Accessori	Regolatore di velocità, serranda di sovrappressione

Dati iniziali

Dati climatici esterni

	inv.	est. per vent.	est. per cnzd.
Temperatura (°C)		2,0	34
Umidità assoluta (g/kg)		3,00	13,35
Entalpia (kJ/kg)		9,5	68,2

Dati climatici interni

	inv.	est. per vent.	est. per cnzd.
Temperatura (°C)		15,0	39
Umidità assoluta (g/kg)		3,00	13,35
Entalpia (kJ/kg)		22,6	73,4

Dati geometrici

Superficie locale (mq)	27,00
Altezza locale (m)	3,00
Volume (mc)	81,00

Potenza termica da smaltire periodo estivo

Potenza termica dovuta alle condizioni climatiche esterne (annulate se potenze negative)

Apporti per irraggiamento	S (mq)	Orientamento	Radiazione (W/mq)	Coef. Cor.	Pest vent. (W)	Pest cnzd. (W)
Strutture vetrate	0,0 S		125	1,00	0,0	0,0
Strutture vetrate	0,0 SO		162	1,00	0,0	0,0
Strutture vetrate	0,0 E		183	1,00	0,0	0,0
Strutture vetrate	0,0 N		106	1,00	0,0	0,0
Apporti per trasmissione	S (mq)	U (W/mq*K)	ti vent. (°C)	te vent. (°C)	ti cnzd. (°C)	te cnzd. (°C)
Vetri esterni	0,0	0,00	39,0	34,0	26,0	34,0
Pareti esterne	27,0	3,40	39,0	34,0	26,0	34,0
Soffitto esterno	27,0	3,40	39,0	34,0	26,0	34,0
Pavimento su terra	27,0	2,00	39,0	10,0	26,0	10,0
Solaio	0,0	0,00	39,0	15,0	26,0	15,0
Incidenza ponti termici (%)	5,0					
Apporti per ricambi naturali	Volume (mc)	Ricambi (Vol/h)	Carico s vent. (kJ/mc)	Carico s cond. (kJ/mc)	Pest vent. (W)	Pest cnzd. (W)
	81,00	1,0	-6,050	9,679	0,0	217,8
TOTALE (W)					Pest vent. 0,0	Pest cnzd. 1.760,0

Potenza termica dovuta alle apparecchiature

Apparecchiature	P (W)	Rendim, (p.u.)	F carico (p.u.)	Ps (W)
UPS	225.000	0,95	0,80	9.000
Quadri	P (W)	Rendim, (p.u.)	F carico (p.u.)	Ps (W)
Q_BT	1.440.000	0,997	0,95	4.104
Q_CA	183.000	0,997	1,00	549

Altri valori

Armadì rack				Ps (W)
Illuminazione e ausiliari				135

Valori noti				
-------------	--	--	--	--

TOTALE (W)				Ps (W)
				13.788

Totali

Totali (W)	13.788	15.548
Coefficiente di maggiorazione (%)	5	5
Totale maggiorato (W)	14.477	16.325

Potenza termica da garantire periodo invernale

Potenza termica dovuta alle condizioni climatiche esterne

Apporti per trasmissione	S (mq)	Orientamento	Coeff espos.	U (W/mq*K)	ti (°C)	te (°C)	Pinv (W)
Vetri esterni	0,0		1,00		15,0	2,0	0,0
Pareti esterne	27,0	E	1,15	3,40	15,0	2,0	1.372,4
Soffitto esterno	27,0		1,00	3,40	15,0	2,0	1.193,4
Pavimento su terra	27,0		1,00	2,00	15,0	5,0	540,0
Solaio	0,0		1,00		15,0	10,0	0,0
Incidenza ponti termici (%)	10,0						310,6

Apporti per ricambi naturali	Volume (mc)	Ricambi (Vol/h)	Carico s (kJ/mc)	Pinv (W)
	81,00	0,5	15,907	179,0

TOTALE (W)		Pinv. 3.595,3
------------	--	------------------

Potenza termica dovuta alle apparecchiature

TOTALE (W)	-	13.788
------------	---	--------

Total

Totale (W)	-	Pinv. 10.193
Coefficiente di maggiorazione (%)		5

Totale maggiorato (W)

Climatizzazione con condizionatore in pompa di calore

Percentuale garantita da ogni condizionatore	55
Potenza sensibile frigorifera richiesta* (W)	8.979
Potenza di riscaldamento richiesta* (W)	0
Potenza sensibile frigorifera resa** (W)	9.075
Potenza di riscaldamento resa*** (W)	10.700
Potenza elettrica assorbita max (W)	5.800
Tensione/numero di fasi	230/1
Tipologia	condizionatore autonomo
Marca	Daikin
Modello	FHQ125B+RZQ125D

*alle condizioni di progetto (vedi dati iniziali)

**aria interna 26°C 50% aria esterna 35°C

***aria interna 20°C aria esterna -5°C

Ventilazione locali contenenti batterie ai fini della diluizione dell'idrogeno - Norma CEI EN 50272-2 (2002-08)

	UPS1	UPS2	UPS3	UPS4	UPS5	UPS6	UPS7	UPS8	UPS9
Fattore di sicurezza	5	5	5	5	5	5	5	5	5
Diluizione necessaria Idrogeno	24,00	24,00	24,00	24,00	24,00	24,00	24,00	24,00	24,00
Produzione di Idrogeno (mc/Ah)	0,00042	0,00042	0,00042	0,00042	0,00042	0,00042	0,00042	0,00042	0,00042
Parametro relativo alla batteria (A/Ah)	0,001	0,000	0	0	0	0	0	0	0
Numeri elementi di batteria	750	0	0	0	0	0	0	0	0
Capacità nominale di ciascuna batteria (Ah)	200	0	0	0	0	0	0	0	0
Portata aria di ventilazione (mc/h)	7,56	0,00	0,00	0,00	0,00	0,00	0,00	0,00	0,00
Portata aria totale (mc/h)	7,56								
Velocità aria ventilazione naturale (m/s)	0,10								

Aperture nette ventilazione naturale (cmq) (**)

210

Superficie linda griglie di ventilazione (cmq)

300

(**) prevedere due aperture: una a filo soffitto ed una in basso e preferibilmente sulla parete opposta

Dati iniziali

Dati climatici esterni

	inv.	est. per vent.	est. per cndz.
Temperatura (°C)	2,0	34	34
Umidità assoluta (g/kg)	3,00	13,35	13,35
Entalpia (kJ/kg)	9,5	68,2	68,2

Dati climatici interni

	inv.	est. per vent.	est. per cndz.
Temperatura (°C)	15,0	39	26
Umidità assoluta (g/kg)	3,00	13,35	13,35
Entalpia (kJ/kg)	22,6	73,4	60,0

Dati geometrici

Superficie locale (mq)	42,25
Altezza locale (m)	3,00
Volume (mc)	126,75

Potenza termica da smaltire periodo estivo

Potenza termica dovuta alle condizioni climatiche esterne (annulate se potenze negative)

Apporti per irraggiamento	S (mq)	Orientamento	Radiazione (W/mq)	Coef. Cor.	Pest vent. (W)	Pest cndz. (W)
Strutture vetrate	0,0 S		125	1,00	0,0	0,0
Strutture vetrate	0,0 SO		162	1,00	0,0	0,0
Strutture vetrate	0,0 E		183	1,00	0,0	0,0
Strutture vetrate	0,0 N		106	1,00	0,0	0,0
Apporti per trasmissione	S (mq)	U (W/mq*K)	ti vent. (°C)	te vent. (°C)	ti cndz. (°C)	te cndz. (°C)
Vetri esterni	0,0	0,00	39,0	34,0	26,0	34,0
Pareti esterne	39,0	3,40	39,0	34,0	26,0	34,0
Soffitto esterno	42,3	3,40	39,0	34,0	26,0	34,0
Pavimento su terra	42,3	2,00	39,0	10,0	26,0	10,0
Solaio	0,0	0,00	39,0	15,0	26,0	15,0
Incidenza ponti termici (%)	5,0					
Apporti per ricambi naturali	Volume (mc)	Ricambi (Vol/h)	Carico s. vent. (kJ/mc)	Carico s. cond. (kJ/mc)	Pest vent. (W)	Pest cndz. (W)
	126,75	0,5	-6,050	9,679	0,0	170,4
TOTALE (W)					Pest vent. (W)	Pest cndz. (W)
					0,0	2.490,9

Potenza termica dovuta alle apparecchiature

Trasformatori	PFe (W)	PCu (W)	F carico (p.u.)	Ps (W)
Trasformatore 800 kVA	1.300	7.200	0,55	3.478
Quadri	P (W)	Rendim. (p.u.)	F carico (p.u.)	Valore noto (W)
Q_IL	175.000	0,997	1,00	-
Q_SA	93.000	0,997	1,00	-
Q_VE	386.000	0,997	1,00	-
Q_CV	100.000	0,997	1,00	-
Altri valori				Ps (W)
Armadi rack				
Illuminazione e ausiliari				
Valori noti				211
TOTALE (W)				5.951
Total				5.951
Total (W)				8.442
Coefficiente di maggiorazione (%)				5
Total maggiornato (W)				6.249
				8.864

Potenza termica da garantire periodo invernale

Potenza termica dovuta alle condizioni climatiche esterne

Apporti per trasmissione	S (mq)	Orientamento	Coeff espos.	U (W/mq*K)	ti (°C)	te (°C)	Pinv (W)
Vetri esterni	0,0		1,00		15,0	2,0	0,0
Pareti esterne	39,0	E	1,15	3,40	15,0	2,0	1.982,4
Soffitto esterno	42,3		1,00	3,40	15,0	2,0	1.867,5
Pavimento su terra	42,3		1,00	2,00	15,0	5,0	845,0
Solaio	0,0		1,00		15,0	10,0	0,0
Incidenza ponti termici (%)	10,0						469,5

Apporti per ricambi naturali

Volume (mc)	Ricambi (Vol/h)	Carico s (kJ/mc)
126,75	0,5	15,907

Pinv.
(W)
280,0

TOTALE (W)

Pinv.
5.444,3

Potenza termica dovuta alle apparecchiature

TOTALE (W)

- 5.951

Totale

Totale (W)

Pinv.
507

Coefficiente di maggiorazione (%)

5

Totale maggiorato (W)

-

Climatizzazione con condizionatore in pompa di calore

Percentuale garantita da ogni condizionatore	80
Potenza sensibile frigorifera richiesta* (W)	7.091
Potenza di riscaldamento richiesta* (W)	0
Potenza sensibile frigorifera resa** (W)	7.265
Potenza di riscaldamento resa*** (W)	8.640
Potenza elettrica assorbita max (W)	4.600
Tensione/numero di fasi	230/1
Tipologia	condizionatore autonomo
Marca	Daikin
Modello	FHQ7100B+RZQ100D

*alle condizioni di progetto (vedi dati iniziali)

**aria interna 26°C 50% aria esterna 35°C

***aria interna 20°C aria esterna -5°C

Dati iniziali

Dati climatici esterni

	inv.	est. per vent.	est. per cndz.
Temperatura (°C)	2,0	34	34
Umidità assoluta (g/kg)	3,00	13,35	13,35
Entalpia (kJ/kg)	9,5	68,2	68,2

Dati climatici interni

	inv.	est. per vent.	est. per cndz.
Temperatura (°C)	15,0	39	26
Umidità assoluta (g/kg)	3,00	13,35	13,35
Entalpia (kJ/kg)	22,6	73,4	60,0

Dati geometrici

Superficie locale (mq)	42,25
Altezza locale (m)	3,00
Volume (mc)	126,75

Potenza termica da smaltire periodo estivo

Potenza termica dovuta alle condizioni climatiche esterne (annulate se potenze negative)

Apporti per irraggiamento	S (mq)	Orientamento	Radiazione (W/mq)	Coef. Cor.	Pest vent. (W)	Pest cndz. (W)
Strutture vetrate	0,0 S		125	1,00	0,0	0,0
Strutture vetrate	0,0 SO		162	1,00	0,0	0,0
Strutture vetrate	0,0 E		183	1,00	0,0	0,0
Strutture vetrate	0,0 N		106	1,00	0,0	0,0

Apporti per trasmissione

Vetri esterni	S (mq)	U (W/mq*K)	ti vent. (°C)	te vent. (°C)	ti cndz. (°C)	te cndz. (°C)	Pest vent. (W)	Pest cndz. (W)
Pareti esterne	39,0	3,40	39,0	34,0	26,0	34,0	0,0	1.060,8
Soffitto esterno	42,3	3,40	39,0	34,0	26,0	34,0	0,0	1.149,2
Pavimento su terra	42,3	2,00	39,0	10,0	26,0	10,0	0,0	0,0
Solaio	0,0	0,00	39,0	15,0	26,0	15,0	0,0	0,0
Incidenza ponti termici (%)	5,0						0,0	110,5

Apporti per ricambi naturali

Volume (mc)	Ricambi (Vol/h)	Carico s vent. (kJ/mc)	Carico s cond. (kJ/mc)	Pest vent. (W)	Pest cndz. (W)
126,75	0,5	-6,050	9,679	0,0	170,4

TOTALE (W)

Pest vent. Pest cndz.
0,0 2.490,9

Potenza termica dovuta alle apparecchiature

Trasformatori	PFe (W)	PCu (W)	F carico (p.u.)	Ps (W)
Trasformatore 800 kVA	1.300	7.200	0,87	6.750
Quadri	P (W)	Rendim. (p.u.)	F carico (p.u.)	Valore noto (W)
Q_IL	175.000	0,997	1,00	-
Q_SA	93.000	0,997	1,00	-
Q_VE	623.000	0,997	1,00	-
Q_CV	100.000	0,997	1,00	-

Altri valori

Armadi rack			Ps (W)
Illuminazione e ausiliari			
Valori noti			211

TOTALE (W)

9.934

Totali

Totali (W)	9.934	12.425
Coefficiente di maggiorazione (%)	5	5
Totale maggiorato (W)	10.431	13.046

Potenza termica da garantire periodo invernale

Potenza termica dovuta alle condizioni climatiche esterne

Apporti per trasmissione	S (mq)	Orientamento	Coeff espos.	U (W/mq*K)	ti (°C)	te (°C)	Pinv (W)
Vetri esterni	0,0		1,00		15,0	2,0	0,0
Pareti esterne	39,0	E	1,15	3,40	15,0	2,0	1.982,4
Soffitto esterno	42,3		1,00	3,40	15,0	2,0	1.867,5
Pavimento su terra	42,3		1,00	2,00	15,0	5,0	845,0
Solaio	0,0		1,00		15,0	10,0	0,0
Incidenza ponti termici (%)	10,0						469,5

Apporti per ricambi naturali

Volume (mc)	Ricambi (Vol/h)	Carico s (kJ/mc)
126,75	0,5	15,907

Pinv
(W)
280,0

TOTALE (W)

Pinv.
5.444,3

Potenza termica dovuta alle apparecchiature

TOTALE (W)	-	9.934
Totale		
Totale (W)	-	4.490
Coefficiente di maggiorazione (%)		5
Totale maggiorato (W)	-	-

Raffreddamento con sola ventilazione con aria esterna

Calcolo portata d'aria di ventilazione

Temperatura media (°C)	36,5
Densità dell'aria (kg/mc)	1,14
Calore specifico dell'aria (kJ/kg K)	1,03
Portata aria di ventilazione (mc/s)	1,78
Volume locale (mc)	126,75
Numero ricambi (vol/h)	51

Ventilazione forzata

Numero di ventilatori in funzione	2
Portata aria ventilatore (mc/h)	3.207
Perdita di carico bocchetta aspirazione (Pa)	25,0
Perdita di carico bocchetta espulsione (Pa)	35,0
Metri di canale (m)	0,0
Perdita di carico lineare canale (Pa/m)	0,0
Perdite di carico concentrate (Pa)	15,0
Prevalenza ventilatore (Pa)	75,0
Marca	Systemair
Modello	KVE-DK 410 M4
Accessori	Regolatore di velocità, serranda di sovrappressione

Dati iniziali

Dati climatici esterni

	inv.	est. per vent.	est. per cndz.
Temperatura (°C)	2,0	34	34
Umidità assoluta (g/kg)	3,00	13,35	13,35
Entalpia (kJ/kg)	9,5	68,2	68,2

Dati climatici interni

	inv.	est. per vent.	est. per cndz.
Temperatura (°C)	20,0	39	26
Umidità assoluta (g/kg)	3,00	13,35	13,35
Entalpia (kJ/kg)	27,7	73,4	60,0

Dati geometrici

Superficie locale (mq)	26,00
Altezza locale (m)	3,00
Volume (mc)	78,00

Potenza termica da smaltire periodo estivo

Potenza termica dovuta alle condizioni climatiche esterne (annulate se potenze negative)

Apporti per irraggiamento	S (mq)	Orientamento	Radiazione (W/mq)	Coef. Cor.	Pest vent. (W)	Pest cndz. (W)
Strutture vetrate	0,0 S		125	1,00	0,0	0,0
Strutture vetrate	0,0 SO		162	1,00	0,0	0,0
Strutture vetrate	0,0 E		183	1,00	0,0	0,0
Strutture vetrate	0,0 N		106	1,00	0,0	0,0
Apporti per trasmissione	S (mq)	U (W/mq*K)	ti vent. (°C)	te vent. (°C)	ti cndz. (°C)	te cndz. (°C)
Vetri esterni	0,0	0,00	39,0	34,0	26,0	34,0
Pareti esterne	24,0	3,40	39,0	34,0	26,0	34,0
Soffitto esterno	26,0	3,40	39,0	34,0	26,0	34,0
Pavimento su terra	26,0	2,00	39,0	10,0	26,0	10,0
Solaio	0,0	0,00	39,0	15,0	26,0	15,0
Incidenza ponti termici (%)	5,0					
Apporti per ricambi naturali	Volume (mc)	Ricambi (Vol/h)	Carico s vent. (kJ/mc)	Carico s cond. (kJ/mc)	Pest vent. (W)	Pest cndz. (W)
	78,00	1,0	-6,050	9,679	0,0	209,7
TOTALE (W)					Pest vent. (W)	Pest cndz. (W)
					0,0	1.637,7

Potenza termica dovuta alle apparecchiature

Apparecchiature	P (W)	Rendim, (p.u.)	F carico (p.u.)	Ps (W)
Regolatore	58.500	0,98	1,00	1.170
Regolatore	58.500	0,98	1,00	1.170
Regolatore	4.000	0,98	1,00	80
Regolatore	4.000	0,98	1,00	80

Altri valori

Armadì rack	4.000	Ps (W)
Illuminazione e ausiliari	130	
Valori noti	100	

TOTALE (W)	6.730	Ps (W)
------------	-------	-----------

Totale

Total (W)	6.730	8.368
Coefficiente di maggiorazione (%)	5	5
Totale maggiorato (W)	7.067	8.786

Potenza termica da garantire periodo invernale

Potenza termica dovuta alle condizioni climatiche esterne

Apporti per trasmissione	S (mq)	Orientamento	Coeff espos.	U (W/mq*K)	ti (°C)	te (°C)	Pinv (W)
Vetri esterni	0,0		1,00		20,0	2,0	0,0
Pareti esterne	24,0 E		1,15	3,40	20,0	2,0	1.689,1
Soffitto esterno	26,0		1,00	3,40	20,0	2,0	1.591,2
Pavimento su terra	26,0		1,00	2,00	20,0	5,0	780,0
Solaio	0,0		1,00		20,0	10,0	0,0
Incidenza ponti termici (%)	10,0						406,0

Apporti per ricambi naturali	Volume (mc)	Ricambi (Vol/h)	Carico s (kJ/mc)	Pinv (W)
	78,00	0,5	22,025	238,6

TOTALE (W)		Pinv. 4.705,0
------------	--	------------------

Potenza termica dovuta alle apparecchiature

TOTALE (W)	-	6.730
------------	---	-------

Totale

Totale (W)	-	Pinv. 2.025
Coefficiente di maggiorazione (%)		5

Totale maggiorato (W)

Climatizzazione con condizionatore in pompa di calore

Percentuale garantita da ogni condizionatore	80
Potenza sensibile frigorifera richiesta* (W)	7.029
Potenza di riscaldamento richiesta* (W)	0
Potenza sensibile frigorifera resa** (W)	7.265
Potenza di riscaldamento resa*** (W)	8.640
Potenza elettrica assorbita max (W)	4.600
Tensione/numero di fasi	230/1
Tipologia	condizionatore autonomo
Marca	Daikin
Modello	FHQ7100B+RZQ100D

*alle condizioni di progetto (vedi dati iniziali)

**aria interna 26°C 50% aria esterna 35°C

***aria interna 20°C aria esterna -5°C

Ventilazione locali contenenti batterie ai fini della diluizione dell'idrogeno - Norma CEI EN 50272-2 (2002-08)

	UPS1	UPS2	UPS3	UPS4	UPS5	UPS6	UPS7	UPS8	UPS9
Fattore di sicurezza	5	5	5	5	5	5	5	5	5
Diluizione necessaria Idrogeno	24,00	24,00	24,00	24,00	24,00	24,00	24,00	24,00	24,00
Produzione di Idrogeno (mc/Ah)	0,00042	0,00042	0,00042	0,00042	0,00042	0,00042	0,00042	0,00042	0,00042
Parametro relativo alla batteria (A/Ah)	0,001	0	0	0	0	0	0	0	0
Numeri elementi di batteria	24	0	0	0	0	0	0	0	0
Capacità nominale di ciascuna batteria (Ah)	200	0	0	0	0	0	0	0	0
Portata aria di ventilazione (mc/h)	0,24	0,00	0,00	0,00	0,00	0,00	0,00	0,00	0,00
Portata aria totale (mc/h)	0,24								
Velocità aria ventilazione naturale (m/s)	0,10								

Aperture nette ventilazione naturale (cmq) (**)

7

Superficie linda griglie di ventilazione (cmq)

8

(**) prevedere due aperture: una a filo soffitto ed una in basso e preferibilmente sulla parete opposta

Dati iniziali

Dati climatici esterni

	inv.	est. per vent.	est. per cndz.
Temperatura (°C)	2,0	34	34
Umidità assoluta (g/kg)	3,00	13,35	13,35
Entalpia (kJ/kg)	9,5	68,2	68,2

Dati climatici interni

	inv.	est. per vent.	est. per cndz.
Temperatura (°C)	10,0	39	26
Umidità assoluta (g/kg)	3,00	13,35	13,35
Entalpia (kJ/kg)	17,6	73,4	60,0

Dati geometrici

Superficie locale (mq)	29,25
Altezza locale (m)	3,00
Volume (mc)	87,75

Potenza termica da smaltire periodo estivo

Potenza termica dovuta alle condizioni climatiche esterne (annulate se potenze negative)

Apporti per irraggiamento	S (mq)	Orientamento	Radiazione (W/mq)	Coef. Cor.	Pest vent. (W)	Pest cndz. (W)		
Strutture vetrate	0,0 S		125	1,00	0,0	0,0		
Strutture vetrate	0,0 SO		162	1,00	0,0	0,0		
Strutture vetrate	0,0 E		183	1,00	0,0	0,0		
Strutture vetrate	0,0 N		106	1,00	0,0	0,0		
Apporti per trasmissione	S (mq)	U (W/mq*K)	ti vent. (°C)	te vent. (°C)	ti cndz. (°C)	te cndz. (°C)	Pest vent. (W)	Pest cndz. (W)
Vetri esterni	0,0	0,00	39,0	34,0	26,0	34,0	0,0	0,0
Pareti esterne	27,0	3,40	39,0	34,0	26,0	34,0	0,0	734,4
Soffitto esterno	29,3	3,40	39,0	34,0	26,0	34,0	0,0	795,6
Pavimento su terra	29,3	2,00	39,0	10,0	26,0	10,0	0,0	0,0
Solaio	0,0	0,00	39,0	15,0	26,0	15,0	0,0	0,0
Incidenza ponti termici (%)	5,0						0,0	76,5
Apporti per ricambi naturali	Volume (mc)	Ricambi (Vol/h)	Carico s vent. (kJ/mc)	Carico s cond. (kJ/mc)	Pest vent. (W)	Pest cndz. (W)		
	87,75	1,0	-6,050	9,679	0,0	235,9		
TOTALE (W)					0,0	1.842,4		

Potenza termica dovuta alle apparecchiature

Altri valori	Ps (W)
Armati rack	-
Illuminazione e ausiliari	146
Valori noti	1.400

TOTALE (W)

1.546

Total

Total (W)	1.546	3.389
Coefficiente di maggiorazione (%)	-	-
Totale maggiorato (W)	1.546	3.389

Potenza termica da garantire periodo invernale

Potenza termica dovuta alle condizioni climatiche esterne

Apporti per trasmissione	S (mq)	Orientamento	Coeff espos.	U (W/mq*K)	ti (°C)	te (°C)	Pinv (W)
Vetri esterni	0,0		1,00		10,0	2,0	0,0
Pareti esterne	27,0	E	1,15	3,40	10,0	2,0	844,6
Soffitto esterno	29,3		1,00	3,40	10,0	2,0	795,6
Pavimento su terra	29,3		1,00	2,00	10,0	5,0	292,5
Solaio	0,0		1,00		10,0	10,0	0,0
Incidenza ponti termici (%)	10,0						193,3

Apporti per ricambi naturali	Volume (mc)	Ricambi (Vol/h)	Carico s (kJ/mc)	Pinv (W)
	87,75	0,5	9,789	119,3

TOTALE (W)		Pinv. 2.245,2
------------	--	------------------

Potenza termica dovuta alle apparecchiature

TOTALE (W)	-	Pinv. 1.546
Totale		
Totalle (W)		Pinv. 699
Coefficiente di maggiorazione (%)		5
Totalle maggiorato (W)		734

Raffreddamento con sola ventilazione con aria esterna

Calcolo portata d'aria di ventilazione

Temperatura media (°C)	36,5
Densità dell'aria (kg/mc)	1,14
Calore specifico dell'aria (kJ/kg K)	1,03
Portata aria di ventilazione (mc/s)	0,26
Volume locale (mc)	87,75
Numero ricambi (vol/h)	11

Ventilazione forzata

Numero di ventilatori in funzione	1
Portata aria ventilatore (mc/h)	951
Perdita di carico bocchetta aspirazione (Pa)	10,0
Perdita di carico bocchetta espulsione (Pa)	20,0
Metri di canale (m)	0,0
Perdita di carico lineare canale (Pa/m)	0,0
Perdite di carico concentrate (Pa)	10,0
Prevalenza ventilatore (Pa)	40,0
Marca	Systemair
Modello	KVE-DK 310 M4
Accessori	Regolatore di velocità, serranda di sovrappressione